



FACULTAD DE INGENIERIA
DEPARTAMENTO DE ELECTRONICA

Proyecto de fin de carrera:

**Implementación de lógica de control de UEC en
motores de combustión Interna mediante una CIAA.**

Alumno: Federico Marcelo Carnevale

Director:
Dra. Luciana De Micco
Co-Director:
Dr. Martin Caldera



RINFI se desarrolla en forma conjunta entre el INTEMA y la Biblioteca de la Facultad de Ingeniería de la Universidad Nacional de Mar del Plata.

Tiene como objetivo recopilar, organizar, gestionar, difundir y preservar documentos digitales en Ingeniería, Ciencia y Tecnología de Materiales y Ciencias Afines.

A través del Acceso Abierto, se pretende aumentar la visibilidad y el impacto de los resultados de la investigación, asumiendo las políticas y cumpliendo con los protocolos y estándares internacionales para la interoperabilidad entre repositorios



Esta obra está bajo una [Licencia Creative Commons Atribución-
NoComercial-CompartirIgual 4.0 Internacional](https://creativecommons.org/licenses/by-nc-sa/4.0/).

Agradecimientos

Quiero agradecer a los profesores de la UNMDP, la Dra. Luciana De Micco del departamento de Electrónica y al Dr. Martin Caldera del departamento de Mecánica por el continuo asesoramiento y apoyo durante el desarrollo de todo el trabajo. También quiero hacer especial agradecimiento y mención al señor Luciano Di Tonto por su gran participación y ayuda durante los ensayos en el LABORATORIO DE MÁQUINAS TÉRMICAS de la UNMDP. También quiero hacer más que especial agradecimiento, enorme agradecimiento a mi toda mi familia por su apoyo incondicional durante el transcurso de toda la carrera, que permitieron y lograron que nunca baje los brazos y siga hasta llegar al momento de escribir esto, que permitieron que llegue este momento.

Resumen

El presente trabajo describe el desarrollo y la implementación de una unidad electrónica de control (UEC) orientada a la inyección de combustible para un motor de combustión interna de ignición por chispa. El objetivo es desarrollar una UEC nacional de programación abierta, para controlar el caudal de combustible y así lograr una relación estequiométrica entre el aire y el combustible de modo de obtener consumo óptimo y también disminuir las emisiones contaminantes de los motores. El proyecto se centra en el análisis del comportamiento de un motor de combustión interna desde el punto de vista del control de dosado de combustible y el desarrollo de la lógica del sistema utilizando la Computadora Industrial Abierta Argentina (CIAA) programada en OSEK RTOS, el sistema operativo que se utiliza en la industria automotriz.

El trabajo fue desarrollado en base a un único modelo de motor comercial en donde se hicieron las pruebas y los análisis necesarios para llegar a su fin.

Como banco de prueba se utilizó un motor de cuatro tiempos, marca **Renault** modelo clio de 1.149 litros 74 kW.

Índice general

Agradecimientos	III
Resumen	V
Lista de figuras	XI
Lista de símbolos y abreviaturas	XI
1. Introducción	1
1.1. Origen del problema	1
1.2. Objetivos	1
1.2.1. Objetivo general	1
1.2.2. Objetivos específicos	2
1.3. Dificultades	2
1.4. Organización de la tesis	3
2. Funcionamiento de motor	5
2.1. Introducción	5
2.2. Funcionamiento de motor de ciclo Otto	5
2.2.1. Ciclos termodinámicas	6
2.2.2. Ciclo 4 tiempos	7
2.3. Gestión de motor	11
2.3.1. Sensores	11
2.3.2. Actuadores	16
3. Modelo matemático de motor	21
3.1. Introducción	21
3.2. Antecedentes de modelos matemáticos	21
3.2.1. Sistema de aire	21
3.2.2. Válvula de mariposa	22
3.2.3. Válvula de admisión	23
3.2.4. Ecuación de estado del colector de admisión	24

3.3.	Admisión de la mezcla	24
3.3.1.	Expulsión de los gases de escape	24
3.3.2.	Transporte de los gases de escape	25
3.4.	Retardo total	25
3.5.	Dinámica del sistema	26
3.5.1.	Combustión y generación de par motor	26
3.6.	Balance dinámico	26
4.	Control de flujo de combustible	29
4.1.	Introducción	29
4.2.	Flujo de combustible	29
4.3.	Esquema de control	29
4.4.	Control Feedforward	30
4.4.1.	Carga o caudal de aire	31
4.4.2.	Tiempo de inyección FeedForward	32
4.5.	Control Feedback	32
4.5.1.	Aproximación de función transferencia de motor	33
4.6.	Controlador FB	34
4.6.1.	Valores Kp y Ki	35
5.	CIAA y OSEK RTOS	47
5.1.	Introducción	47
5.2.	Placa CIAA NXP	47
5.2.1.	Características de hardware	48
5.3.	OSEK	51
5.3.1.	Sistema operativo ESTATICO vs DINAMICO	52
5.3.2.	Tareas	53
6.	Implementación de UEC sobre CIAA	57
6.1.	Introducción	57
6.2.	Acondicionamiento de señal	57
6.2.1.	Interfaz gráfica o HMI	64
6.2.2.	Descripción de las tareas	66
7.	Resultados experimentales	67
7.1.	Medición de sonda EGO bajo el control de ECU SIM 32	67
7.2.	Medición de sonda EGO bajo el control de CIAA	68
8.	Conclusiones y trabajo futuro	75
8.1.	Conclusiones	75
8.2.	Trabajo futuro	76

ÍNDICE GENERAL

IX

A. Código de programa	79
A.1. Código fuente OSEK OS	79
A.1.1. Código OIL OSEK Implementation Language	112

Lista de simbolos y abreviaturas

Simbolo	Descripción	Unidades
P o P_{adm}	Presión de múltiple de admisión	Kpa
P_{esc}	Presión de múltiple de escape	Kpa
T_{adm}	Temperatura de aire de admisión	$^{\circ}C$
T_{esc}	Temperatura de gases de escape	$^{\circ}C$
t	Tiempo	S
λ	Factor lambda	
AFR	Relación aire combustible	
AFR_e	Relación aire combustible esperada	
m_a	Masa de aire	g
m_c	Masa de combustible	g
N	Torque	Nm
V	Cilindrada	Litros
R	Constante de gases	$\frac{Kj}{Kg}$
G_i	Ganancia de inyector	$\frac{g}{seg}$
t_i	Tiempo de inyección total	ms
t_{iff}	Tiempo de inyección feedforward	ms
t_{ifb}	Tiempo de inyección feedback	ms
n	Régimen del motor	RPM
η_{vol}	Rendimiento volumétrico	
Abreviatura	Termino	
CIAA	Computadora industrial abierta argentina	
GPIO	General Purpose Input/Output	
HMI	Human Machine Interface	
MCI	Motor de combustión Interna	
OSEK	Traducción:Sistemas abiertos y sus interfaces para la electrónica en automóviles	
PMI	Punto muerto inferior	
PMS	Punto muerto superior	
UEC	Unidad electrónica de control	

Capítulo 1

Introducción

1.1. Origen del problema

La inyección de combustible es un sistema de alimentación de motores de combustión interna (MCI), que se utiliza para reemplazar al antiguo carburador. Hoy en día, está presente en prácticamente todos los automóviles debido a la obligación de reducir las emisiones contaminantes de escape y además para que sea eficiente el uso del catalizador de gases a través de un ajuste óptimo del factor lambda.

La UEC comanda desde el sistema de alimentación de combustible y formación de la mezcla hasta el sistema de encendido de chispa en los motores Otto, que es el que se encarga de desencadenar la combustión de la mezcla aire/combustible.

La inyección posee una aplicación de mando electrónico, por medio de un calculador o UEC, que utiliza la información de diversos sensores colocados sobre el motor para manejar las distintas fases de funcionamiento, siempre obedeciendo las solicitudes del conductor en primer lugar y las normas de anticontaminación en un segundo lugar. Se consigue una mejor dosificación del combustible.

1.2. Objetivos

1.2.1. Objetivo general

Desarrollar e implementar la lógica de una UEC de inyección de combustible nacional, de bajo costo, basada en una placa CIAA. La misma será de programación abierta, permitiendo así que los usuarios intervengan en las acciones de gestión que la misma realice bajo ciertas circunstancias de funcionamiento del motor.

1.2.2. Objetivos específicos

- Programar la CIAA mediante OSEK RTOS, para implementar un sistema de inyección y control de A/C. Adquirir los conocimientos necesarios para la programación de la CIAA. Capacitación en programación OSEK:
 - Entorno de desarrollo IDE Eclipse.
 - Introducción a OSEK.
 - Utilización de servicios POSIX.
- Diseño y programación del corazón de la UEC.
- Puesta en servicio. Ensayos de laboratorio.
- Conclusiones

1.3. Dificultades

Un MCI (motor de combustión interna) tiene características desde el punto de vista de un sistema dinámico, las cuales plantean una serie de problemas para el diseño del controlador de la mezcla A/C. Estas dificultades son enumeradas a continuación.

1. Planta compleja

- El fenómeno de la formación de la mezcla de aire y combustible es muy complejo, gobernado por numerosas leyes físicas en las que intervienen muchas variables.
- El orden del sistema es desconocido.
- La dinámica depende del punto de funcionamiento del motor, representado por el grado de carga y régimen de giro. Pueden variar muy rápidamente en lo que se refiere a la carga de motor, y algo menos en régimen, por la propia inercia mecánica del conjunto motor más coche.
- El propio ciclo termodinámico en el que se basa el funcionamiento de un MCI implica una discontinuidad en los procesos.

2. Presencia de importantes retardos en el lazo de realimentación

- **Retardo por régimen:** Desde el momento en el que se inyecta el combustible, hay un retardo propio que depende de régimen de giro hasta que los gases de esa inyección son expulsados del cilindro al colector de admisión.

- **Retardo por transporte de gases:** Luego de la expulsión de los gases residuales del cilindro, es necesario que el colector de escape sea llenado por completo y así obtener información sobre el estado de la mezcla, para eso es necesario tener en cuenta el tiempo de transporte desde la valvula de escape hasta la ubicación del sensor de gases.
3. **Dinámica del combustible:** El combustible pulverizado por el inyector no va a parar directamente al cilindro, sino que siempre hay una porción de combustible líquido depositado sobre el colector de admisión, a modo de depósito. Parte de este líquido vuelve a evaporarse y entra al cilindro junto con la fracción de vapor , o bien lo hace directamente, pero con un retardo mayor.

1.4. Organización de la tesis

El presente trabajo contiene un total de 7 capítulos. En el Capítulo 2 se da una explicación detallada del funcionamiento de un motor de ciclo Otto, los ciclos térmicos en los que el combustible se transforma en trabajo mecánico, y por último se nombran los sensores y actuadores que intervienen en su funcionamiento. El Capítulo 3 trata sobre los modelos matemáticos que describen el comportamiento de las variables mecánicas, como el aire y el torque. En el Capítulo 4 se ahonda sobre los temas de control de combustión y desde los parámetros de entrada hasta los ciclos de realimentación. En el Capítulo 5 se da una introducción del funcionamiento de la CIAA tanto en software como en hardware. En el Capítulo 6 se hace la unión entre el motor, el hardware y el software propuestos. El Capítulo 7 muestra el comportamiento del control bajo distintos parámetros.

Capítulo 2

Funcionamiento de motor

2.1. Introducción

En este capítulo se hace un recorrido sobre el funcionamiento de un motor de combustión interna de encendido a chispa, comenzando por los ciclos térmicos y terminado por los sensores que intervienen en la gestión.

2.2. Funcionamiento de motor de ciclo Otto

El ciclo Otto es el ciclo termodinámico que se aplica en los motores de combustión interna de encendido provocado (motores de gasolina). Existen en funcionamiento dos tipos de motores que se rigen por el ciclo de Otto, por un lado están los motores de dos tiempos que tienen la característica en la que una vuelta de motor es igual a un ciclo completo, y por otro lado están los motores de cuatro tiempos los cuales dos vueltas de motor es equivalente a un ciclo de motor. [01, 2016].

La figura (2.1) muestra un diagrama simplificado de MCI, en el cual se muestra la entrada de aire, en la parte superior de la imagen se encuentra una válvula llamada **válvula mariposa** que cumple la función de limitar el aire que ingresa al múltiple de admisión y luego al cilindro.

El aire es mezclado con el combustible por medio de la inyección electrónica monopunto (un inyector alimenta todos cilindros) o multipunto (cada cilindro tiene su propio inyector), luego la mezcla es encendida por medio de una chispa de bujía y comienza un ciclo termodinámico. Por último, los gases de la combustión pasan por un convertidor catalítico o catalizador para el control y reducción de los gases nocivos expulsados al medio ambiente.

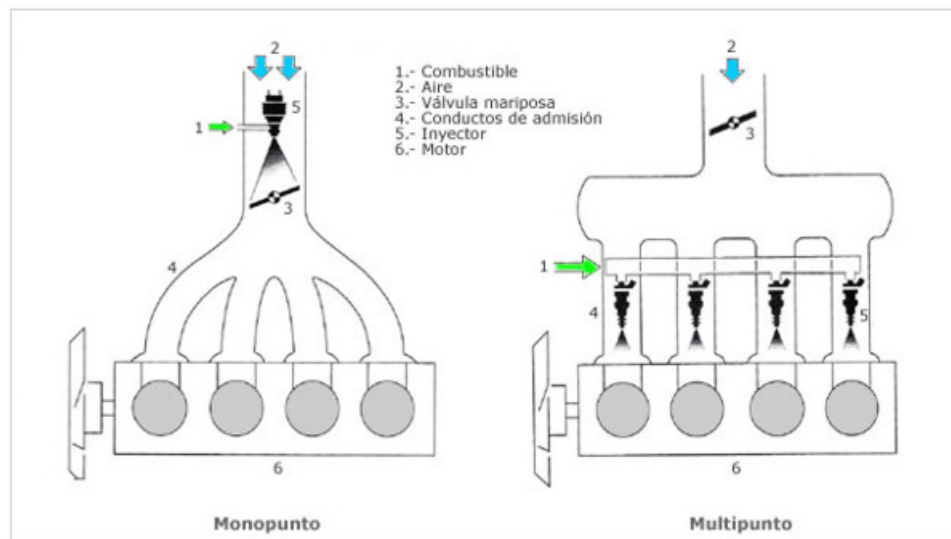


Figura 2.1: Diagrama motor con inyección monopunto-multipunto.

2.2.1. Ciclos termodinámicas

El ciclo Otto consta de seis procesos, dos de los cuales (E-A y A-E) no participan en el ciclo termodinámico del fluido operante pero son fundamentales para la renovación de la carga del mismo. La figura (2.2) muestra la evolución del ciclo termodinámico:

1. E-A: Admisión a presión constante (renovación de la carga).
2. A-B: Compresión de los gases e isoentrópica.
3. B-C: Combustión, aporte de calor a volumen constante. La presión se eleva rápidamente antes de comenzar el tiempo útil.
4. C-D: Fuerza, expansión isoentrópica o parte del ciclo que entrega trabajo.
5. D-A: Escape, cesión del calor residual al ambiente a volumen constante.
6. A-E: Escape, vaciado de la cámara a presión constante (renovación de la carga.) (isobárico).

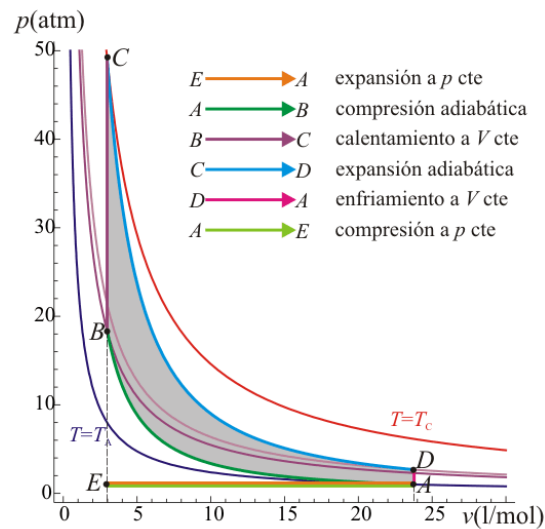


Figura 2.2: Diagrama P vs V de ciclo Otto.

2.2.2. Ciclo 4 tiempos

1. Durante la primera fase, el pistón se desplaza hasta el PMI (Punto Muerto Inferior) y la válvula de admisión permanece abierta, permitiendo que se aspire la mezcla de combustible y aire hacia dentro del cilindro (esto no significa que entre de forma gaseosa).
2. Durante la segunda fase las válvulas permanecen cerradas y el pistón se mueve hacia el PMS (Punto Muerto Superior), comprimiendo la mezcla de aire y combustible. Cuando el pistón llega al final de esta fase, una chispa en la bujía enciende la mezcla.
3. Durante la tercera fase, se produce la combustión de la mezcla, liberando energía que provoca la expansión de los gases y el movimiento del pistón hacia el PMI. Se produce la transformación de la energía química contenida en el combustible en energía mecánica transmitida al pistón, que se transmite a la biela, y la biela la trasmite al cigüeñal, de donde se toma para su utilización.
4. En la cuarta fase se abre la válvula de escape y el pistón se mueve hacia el PMS, expulsando los gases producidos durante la combustión y quedando preparado para empezar un nuevo ciclo (renovación de la carga).

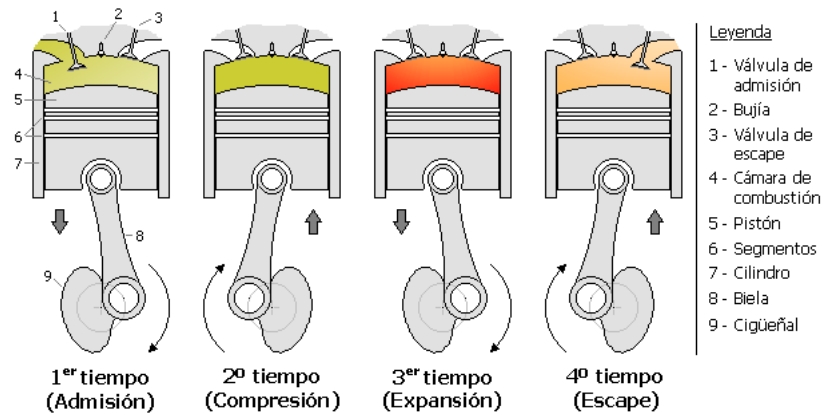


Figura 2.3: Diagrama ciclo 4 tiempos.

Normalmente, los motores constan de más de un cilindro. En el caso más habitual, que es el de cuatro cilindros en línea, las bielas van unidas a un cigüeñal común, de forma que los ciclos de trabajo están desfasados 180° (un ciclo es de 720° o de dos vueltas de cigüeñal) y se realiza en el orden 1-3-4-2, con el objetivo de conseguir ofrecer un par lo más regular posible, y una dinámica de cigüeñal equilibrada. La combustión en un motor es una reacción exotérmica, en la que parte de ese calor de reacción se transforma en trabajo mecánico. Para ello es necesario lograr una mezcla de un combustible (la gasolina, formada por un conjunto de hidrocarburos) y un carburante (el oxígeno, contenido en el aire atmosférico) de tal calidad que proporcione una combustión correcta. Independientemente de la tecnología utilizada y del objetivo, esta mezcla ha de cumplir una serie de requerimientos:

- Que sea **combustible**, por lo cual la mezcla debe contener todos los reactivos.
- Que sea **gaseosa en el momento del encendido**, por lo que el combustible debe estar perfectamente vaporizado dentro de la cámara de combustión.
- Que sea **homogénea**. Esto implica que la mezcla que llega a la cámara de combustión debe tener iguales características en todos los puntos del espacio. Como consecuencia, debe repartirse por igual entre todos los cilindros.
- Que sea correctamente **dosificada**. En este punto es donde entra en tema el control de inyección por medio de la UEC.

A lo largo del trabajo se da por supuesto las tres primeras condiciones y queda por entender e implementar el término “correctamente dosificada”, esto se va a tratar a continuación.

Se entiende por **dosado** o **relación aire-combustible** (air–fuel ratio: **AFR**) al cociente entre la masa de aire y la masa de combustible existente en la mezcla. En los combustibles comerciales utilizados en automoción, el valor para el cual la relación de combustión es teóricamente completa sin que sobre ninguno de los reactivos, se sitúa entre 14 y 15. Esto es lo que se denomina dosado **estequiométrico**. Si se normaliza el dosado respecto al dosado estequiométrico dividiéndolo por la relación deseada ($AFR_e = 14,7$), se obtiene la variable denominada con la letra griega **lambda** (λ). En relación al valor estequiométrico, se define como **mezcla rica** a aquella que tiene un exceso de combustible ($\lambda < 1$), mientras que una **mezcla pobre** tiene exceso de aire, o lo que es lo mismo, una falta de combustible ($\lambda > 1$)

$$AFR = \frac{m_a}{m_c} \quad (2.1)$$

$$\lambda = \frac{AFR}{AFR_e} = \frac{1}{AFR_e} \times \frac{m_a}{m_c} \quad (2.2)$$

El dosado requerido por un motor dependerá del objetivo buscado, siempre y cuando se sitúe dentro de los límites de la mezcla $\lambda \cong [0,5 \div 1,5]$.

El dosado de la mezcla tiene gran influencia en las emisiones contaminantes, la combustión completa de hidrocarburo debería proporcionar dióxido de carbono (CO_2) y agua (H_2O). Lo que sucede es que, o bien la combustión no es completa, o bien resulta que las altas presiones y temperaturas reinantes en la cámara de combustión hacen que estos productos reaccionen entre sí, dando lugar a otros productos contaminantes resultante de estas reacciones secundarias. El contenido total de contaminantes en los gases resultantes es aproximadamente el 1 % del volumen de los gases totales emitidos, y en un motor Otto, se agrupan en tres categorías:

- **Monóxido de carbono (CO):** Aparece como consecuencia de una oxidación parcial. Es altamente tóxico, porque impide la aportación de oxígeno por la sangre a los tejidos del cuerpo.
- **Hidrocarburos (HC):** Proceden de la propia gasolina y del aceite sin quemar o quemado parcialmente. Son muy irritantes para los seres vivos.
- **Óxidos de nitrógeno (NO_x):** Consiste en una mezcla de diferentes óxidos de nitrógeno, producida por la oxidación del nitrógeno atmosférico como consecuencia de las altas temperaturas y presiones existentes en la cámara de combustión, lo cual favorece ese tipo de reacción.

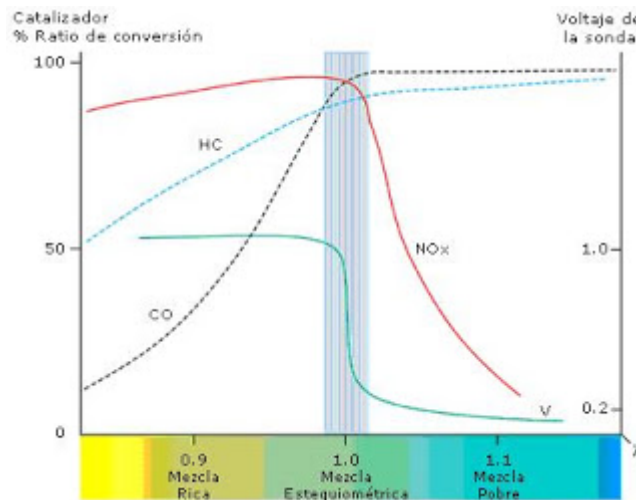


Figura 2.4: Eficiencia de conversión del catalizador en función de λ

En la figura (2.4) se muestra la eficiencia de conversión de cada uno de los gases (NO_x , HC y CO) dentro del catalizador de escape en función al factor λ y se observa que el punto de mayor eficiencia se da cuando $\lambda = 1$. Si se trabaja con $\lambda < 1$ la eficiencia de conversión de los Hidrocarburos y del monóxido de carbono bajan considerablemente. Por otro lado, si se trabaja con $\lambda > 1$ la eficiencia de conversión de los óxidos de nitrógeno cae bruscamente.

La **eficiencia de conversión** de un contaminante se define como la diferencia entre las concentraciones de entrada y de salida del catalizador, respecto a la concentración de entrada al mismo.

La tolerancia en el valor de λ que se admite para el rendimiento mínimo de conversión del 80% entre los tres contaminantes simultáneamente se denomina **ventana**, y es un valor muy pequeño, centrado justamente en el valor estequiométrico. El tamaño de la ventana suele ser del orden del $\pm 0,3\%$, aunque varía según el tipo de catalizador y su estado. El desgaste por uso y envejecimiento del catalizador hace que la ventana sea mas estrecha que la de un catalizador nuevo.

El catalizador tiene partículas de **Ce**, las cuales le dan la capacidad de almacenar oxígeno químicamente en forma de CeO_2 . Esto significa que ligeras excursiones fuera de la ventana no sólo no son perjudiciales, sino incluso beneficiosas, siempre y cuando estas sean del lado rico y pobre alternativamente [Falk and Mooney, 1980] y [Katashiba et al., 1991]. Cuando la mezcla rica llega al catalizador, se libera el oxígeno que previamente, por efecto de la mezcla pobre, se había almacenado, el cual se utiliza para la reacción de oxidación.

2.3. Gestión de motor

La UEC requiere de señales de entrada y actuadores para poder gestionar y calcular los valores de salida a controlar. En la figura(2.5) se representa un diagrama en donde se listan todas las señales que necesita una UEC como entrada, y todos los actuadores que controla.

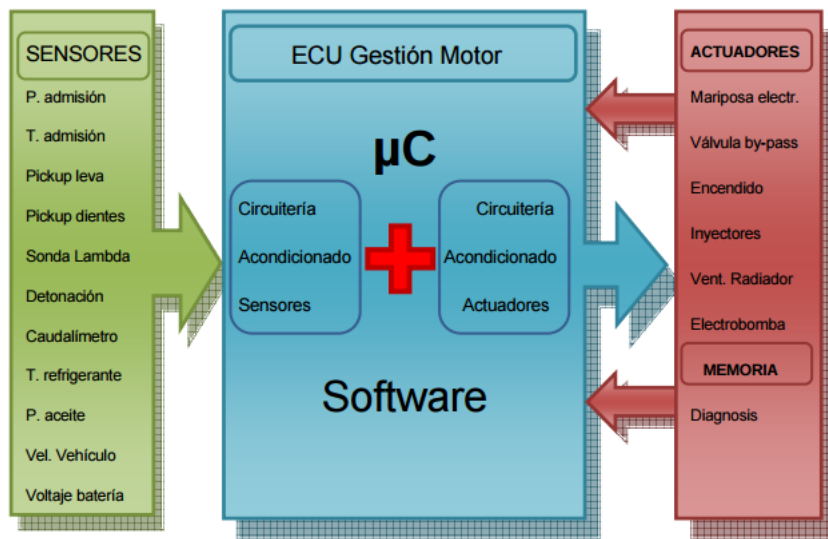


Figura 2.5: Arquitectura genérica de UEC para gestión de motor.

2.3.1. Sensores

Sensor pickup dientes

También llamado sensor **CKP**, se utiliza para medir la velocidad de giro de motor (RPM) y también la posición del cigüeñal para así poder sincronizar la inyección y el encendido en la correcta posición de pistón. Existen dos tipos de sensores, por un lado está el sensor inductivo que es de imán permanente, por lo que no necesita alimentación. Por otro lado está el sensor de reluctancia variable, el cual necesita alimentación. En el presente trabajo se utiliza el sensor del primer tipo.

El sensor inductivo está colocado en la rueda fónica solidaria al volante del motor y el cable de salida de la señal esta apantallado para evitar interferencias electromagnéticas. La rueda fónica tiene $60 - 2 = 58$ dientes. El hueco por dientes faltantes es especialmente grande y su función es de referencia y está asignado a

una posición definida del cigüeñal. Sirve para la sincronización de la unidad de control, en la figura (2.6) se muestra la disposición del sensor sobre la rueda fónica.

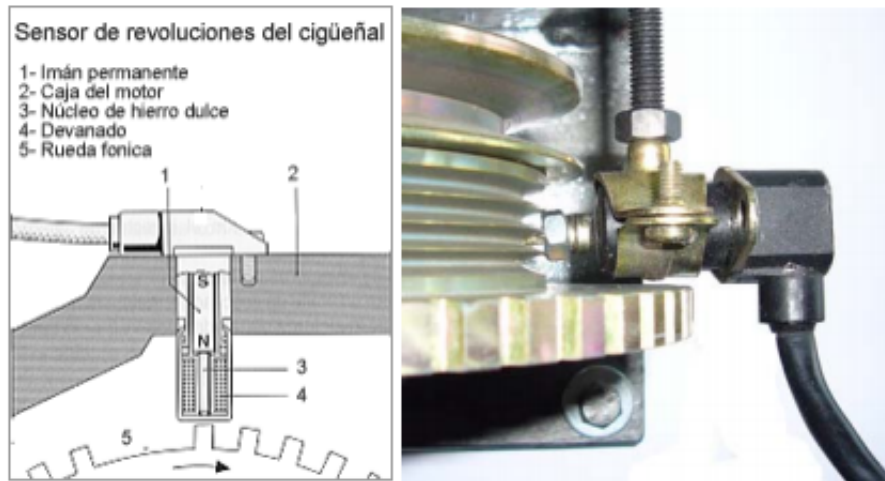


Figura 2.6: Sensor inductivo

La señal de salida obtenida por este tipo de sensor tiene una amplitud variable que depende de las revoluciones del motor, a mayor revolución mayor amplitud de señal y mayor frecuencia. En la figura(2.7) se representa la señal de salida en régimen de mínimas revoluciones (ralentí).

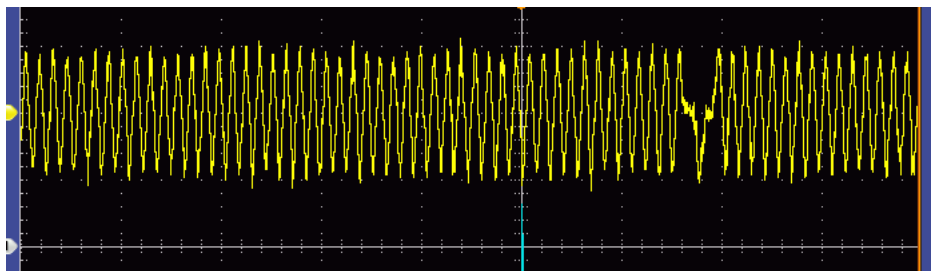


Figura 2.7: Señal de sensor inductivo

Sensor de presión de admisión (MAP)

El sensor de presión llamado en inglés Manifold Absolute Pressure (MAP), mide la presión del aire en la admisión. Es el primer sensor micromecanizado utilizado en la automoción. Está compuesto por un chip de silicio con dos partes,

un transductor de presión (membrana) y la electrónica de acondicionamiento. La membrana del sensor tiene resistencias que varían cuando se las somete a un esfuerzo. La señal de salida del puente, es del orden de los 100 mV, se la hace pasar por un amplificador de ganancia elevada y la señal de salida es del tipo analógica con rango de 0,5V a 4,5V como se muestra en la figura(2.8).

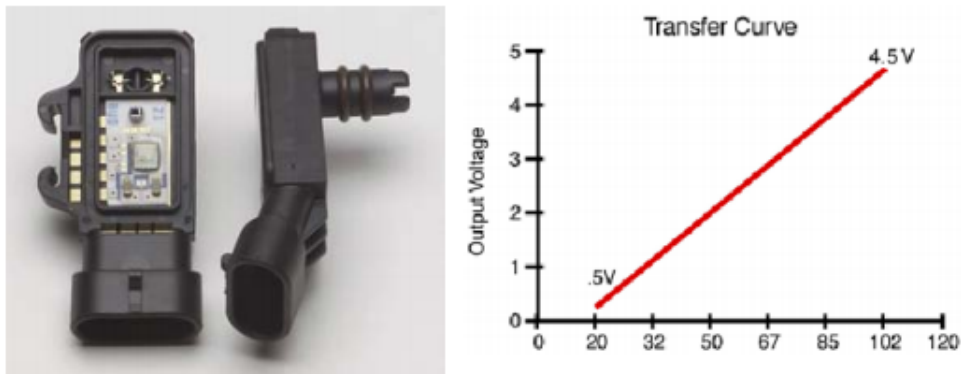


Figura 2.8: Sensor MAP (izquierda) Curva de transferencia del sensor (derecha)
Tensión [V] vs Presión [Kpa]

Sensor de temperatura

Los sensores de temperatura se utilizan para medir la temperatura del refrigerante, aceite, aire de admisión, etc. En el caso del Renault Clio, posee dos sensores resistivos llamados **termistores**, y se utilizan para medir la temperatura del líquido refrigerante del motor y del aire de admisión. Estos sensores son del tipo **NTC** llamado así por sus siglas en inglés Negative Temperature Coefficient (Fig.2.9). Este sensor varía su resistencia de forma no lineal, inversamente a la variación de la temperatura, y de ahí sale el nombre de coeficiente negativo.



Figura 2.9: Termistor tipo NTC

Sensor de gases de escape

El sensor de **gases de escape**, o **sonda lambda** (λ) realiza la medición de los gases de escape, es el componente principal a la hora de cerrar el lazo de control.

Su salida se la compara con el valor de referencia de la UEC, en base a esto se ajusta el caudal de combustible con el fin de obtener una combustión completa.

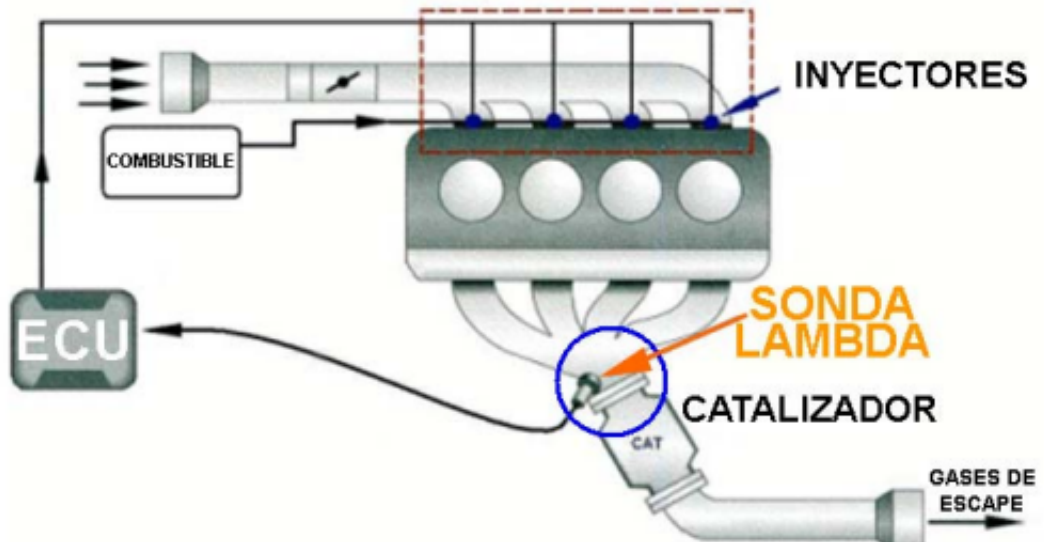


Figura 2.10: Ubicación de la sonda lambda en el lazo cerrado

En la fig.2.10 se observa la localización de dicha sonda y como la UEC toma la señal y controla los inyectores en base a la medición.

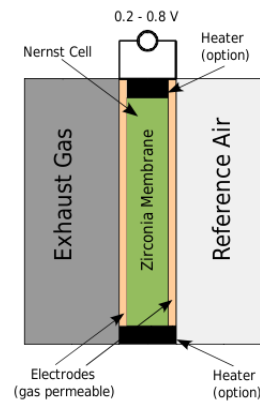


Figura 2.11: Composición de la sonda EGO

La sonda lambda capta los excesos o defectos de oxígeno de los gases de escape, dicha sonda está constituida por una parte **cerámica** y unos electrodos de **circonio** o **titanio**, figura(2.11). Los gases de escape están en contacto con la sonda y esta toma información de la proporción de dióxigeno residual tras la combustión.

En temperaturas superiores a 300°C la cerámica de la sonda, compuesta de dióxido de circonio y de itrio, se vuelve conductora de iones negativos de oxígeno. La diferencia de concentración da lugar a una difusión de iones del gas evacuado. Los átomos de oxígeno pueden moverse en la cerámica como iones de carga negativa doble. Los electrones necesarios para la ionización de los átomos de oxígeno son suministrados por los electrodos, que son conductores electrónicos. De esta forma puede tomarse el voltaje de la sonda entre los electrodos de platino situados dentro y fuera. Esta información se transmite por medio del cableado a la ECU del motor.

Existen básicamente dos tipos de sonda lambda, las de escalón o binarias y las sondas proporcionales. Las de escalón llamadas **EGO** (Exhaust Gas Oxygen sensor) ,figura(2.12), proporcionan un valor de lambda del tipo binaria o signo del error ,figura:(2.13). Para $\lambda > 1$ (mezcla pobre, falta de combustible o exceso de aire) toma un valor entre 0 y 200 mV. Para $\lambda < 1$ (mezcla rica), exceso de combustible o falta de aire) toma un valor entre 800 y 1000 mV.



Figura 2.12: Sonda lambda EGO

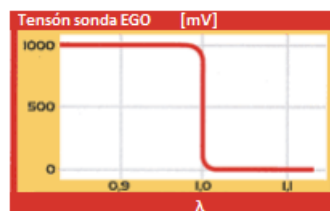


Figura 2.13: Curva de sonda EGO

La sonda proporcional **UEGO** (Universal EGO) o también llamado sensor de “**banda ancha**” se caracteriza por dar una señal analógica, como su nombre lo indica, proporcional al contenido de O_2 de los gases de escape. Este tipo de sonda es muy similar a las EGO pero también incorpora electrónica auxiliar en la que se utiliza una bomba de gas electroquímico, figura(2.14). Un circuito electrónico que contiene una retroalimentación de bucle controla la corriente de la bomba de gas

para mantener la salida de la constante de celda electroquímica, de manera que la corriente de la bomba indica directamente el contenido de oxígeno del gas de escape.

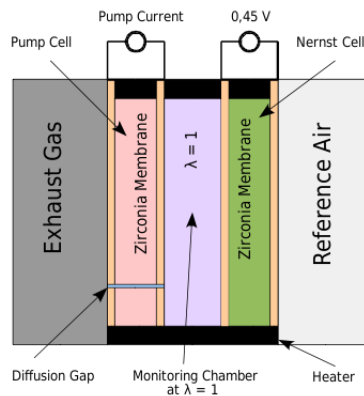


Figura 2.14: Composición de sonda UEGO

2.3.2. Actuadores

Acelerador electrónico y Mariposa Motorizada

El acelerador electrónico es un dispositivo que reemplaza la antigua conexión mecánica que existía entre el pedal del acelerador y la mariposa del colector de admisión en los vehículos equipados con motores de gasolina. Quedando sustituida por una conexión eléctrica a través de la central electrónica UEC.

En la figura(2.15) se observa como el accionar del pedal de aceleración modifica la tensión del potenciómetro de éste y así le indica a la UEC la necesidad de aceleración o desaceleración por parte del usuario. En base a la medición de posición de pedal, la UEC es la encargada de modificar la posición de la mariposa en forma controlada. Por motivos de seguridad el pedal de aceleración y la mariposa motorizada tienen dos potenciómetros cada uno para indicarle a la UEC la posición de los mismos evitando errores. La mariposa motorizada puede estar controlada por un motor paso a paso o por un motor de corriente continua (CC). En el caso del motor de CC éste puede ser de un único sentido de giro y por lo tanto la mariposa retorna a su posición de reposo mediante un muelle. De esta forma, no es necesario la utilización de un puente de transistores para que el motor pueda girar en ambas direcciones.

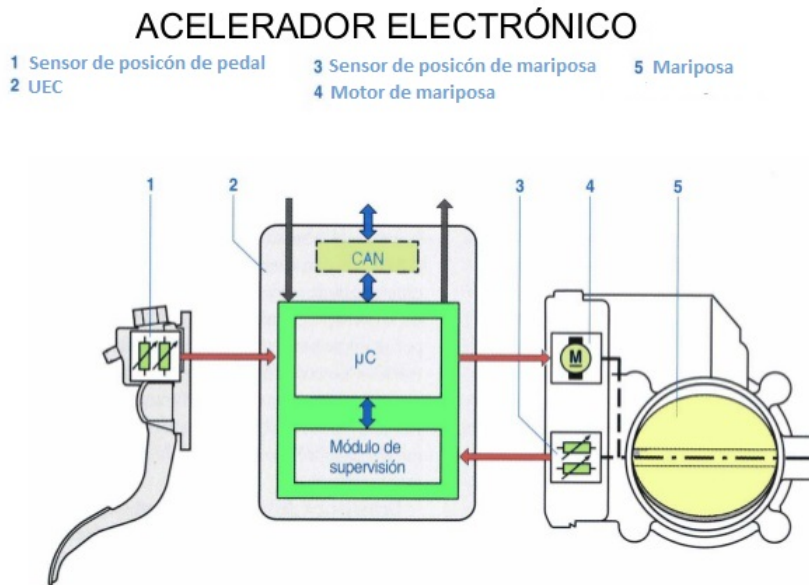


Figura 2.15: Diagrama de sistema de acelerador electrónico

Inyectores

El inyector cumple la función de introducir una determinada cantidad de combustible en el colector de admisión, sobre la válvula de admisión de la cámara combustión en forma pulverizada, distribuyéndolo lo más homogéneamente posible dentro del aire contenido en la cámara.

El funcionamiento básico de un inyector consiste en un solenoide que al hacerle pasar una determinada cantidad de corriente durante un tiempo controlado generará un campo magnético el cual moverá la aguja del inyector figura(2.16).

En la parte superior del inyector se encuentra la alimentación de combustible a una presión constante de entre 2,5 - 3,5 bar suministrada por una bomba eléctrica situada a la salida del depósito de combustible o dentro del mismo. Para suministrar combustible, el inyector debe recibir una señal a la entrada tipo pulso de duración finita suministrado por la UEC, y además el momento o avance de inyección también es comandado por la la misma en base a la información captada por el sensor de posición de cigüeñal y su respectiva velocidad, la masa de combustible suministrada es directamente proporcional al tiempo de inyección. En la figura (2.17) se muestra cómo es la conexión del inyector, y en la figura

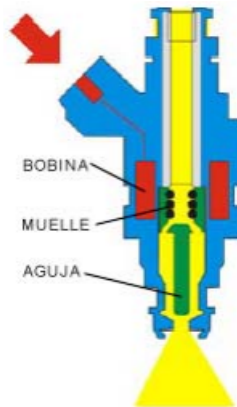


Figura 2.16: Electroinyector

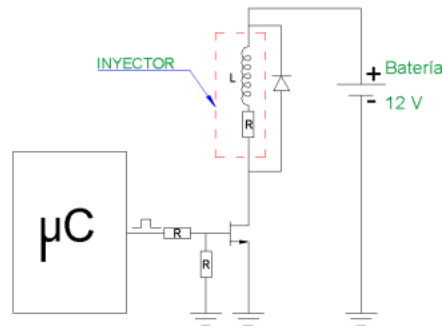


Figura 2.17: Diagrama del electroinyector

(2.18) se muestra la señal de entrada del inyector tomada desde un osciloscopio configurado con una base de tiempo de 10 ms/div y escala en tensión de 20 V/div.

Sistema de ignición

El encendido del motor es un sistema de producción y distribución de la chispa de alta tensión necesaria en la bujía para producir el encendido provocado en los motores de ciclo Otto.

Funcionamiento:

En la figura (2.19) se observan dos esquemas de encendido: **A** encendido clásico por ruptor, **B** encendido electrónico. En las figuras **L_p** es el bobinado primario, **L_s** es el bobinado secundario, **S** es el ruptor, **C** es el condensador, y por último **T** es el transistor de mando del primario.

A continuación se enumeran los componentes del sistema de ignición:

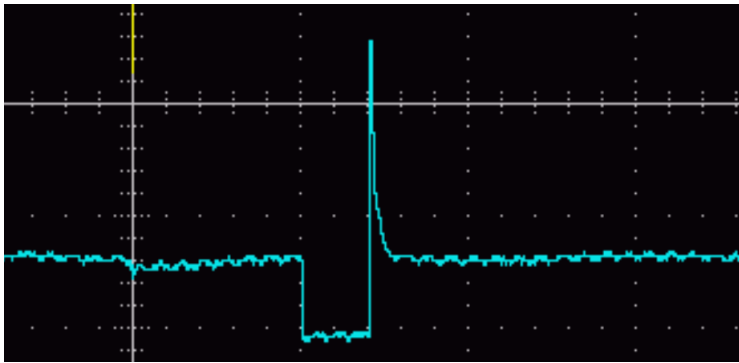


Figura 2.18: Señal de entrada al electroinyector

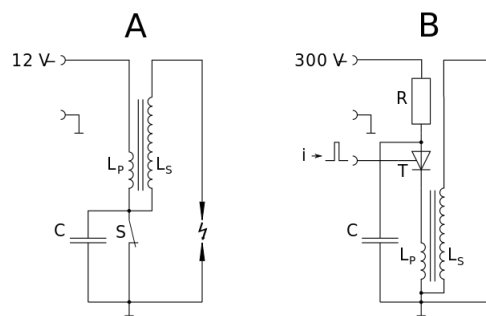


Figura 2.19: Diagrama de sistema de ignición

- Bobina: es un transformador inductivo con núcleo de hierro y dos devanados, uno de pocas espiras alimentado con el voltaje de batería (12V) desde el contacto o primario (L_p), y otro paralelo con 1000 veces más espiras, llamado secundario (L_s). Cuando en el circuito primario se interrumpe bruscamente la corriente, en el devanado secundario se genera una corriente de alta tensión, en este caso de 12.000V.
- Dispositivo de interrupción del primario: antiguamente mecánico, los llamados platinos o ruptor figura (2.19 A), fue sustituido por el encendido electrónico figura (2.19 B). Básicamente el encendido electrónico utiliza transistores de potencia con sincronización electrónica comandado por la UEC.
- Dispositivo de distribución de la corriente de alta a las bujías: se hacía antiguamente de forma mecánica mediante el Distribuidor. Hoy en día se hace de forma electrónica, ya que se agrupan las bujías por parejas en los cilin-

dros cuyos pistones trabajan paralelos, es decir la bujía del cilindro 1 con la del cilindro 4 y la bujía del cilindro 2 con la del cilindro 3 (dos Lp y dos Ls). Últimamente, inclusive se acopla una bobina por bujía (cuatro Lp y cuatro Ls), distribuyéndose únicamente la función de corte de cada bobinado primario desde la unidad electrónica de control de forma completamente independiente.

- Entre los electrodos de las bujías, dentro de la cámara de combustión, se produce un arco de plasma de unos 2 ms de duración. Este arco enciende la mezcla de combustible y aire, previamente comprimida. De esta forma se genera un aumento de presión considerable que produce la carrera útil de trabajo del pistón. [Wikipedia, 2016].

Capítulo 3

Modelo matemático de motor

3.1. Introducción

En el capítulo anterior se vio el funcionamiento del MCI junto con los sensores y actuadores que lo gestionan. El diseño de control de mezcla de aire/combustible requiere un modelo en el que pueda basarse y así lograr un control óptimo. En este capítulo se definen las ecuaciones del modelo matemático de un MCI aplicando la modelización de valor medio.

3.2. Antecedentes de modelos matemáticos

3.2.1. Sistema de aire

Existen diferentes autores que modelan el comportamiento del aire que circula dentro del colector de admisión e ingresa al cilindro, están los que modelan según las fluctuaciones de presión dentro del colector de admisión, y están los que mantienen constante el flujo de aire dentro del cilindro asimilándola a una máquina rotativa en lugar de una máquina alternativa.

El modelo adoptado para esta práctica es el de flujo de aire constante del autor Aquino [Aquino, 1981], donde se considera el colector de admisión como un depósito de volumen finito, al cual entra el aire por la válvula de mariposa, y sale a través de la válvula de admisión de cada uno de los cilindros. El aire es bombeado por los propios cilindros durante la carrera de admisión, y la válvula de mariposa actúa como pérdida de carga variable. Entonces se aplica la **ecuación de continuidad de la masa** de aire del colector de admisión. La figura (3.1) representa el sistema de aire, en donde la entrada es el flujo de aire que pasa por la válvula mariposa, y la salida es el flujo de aire que entra en los cilindros. La ecuación (3.1) modela el comportamiento de la masa de aire dentro del múltiple de admisión.

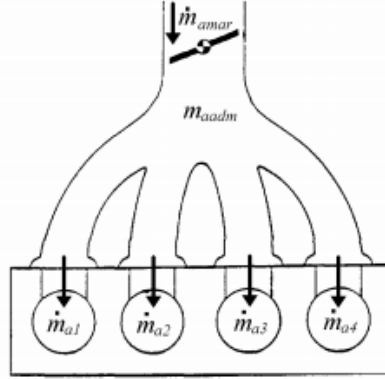


Figura 3.1: Diagrama de mariposa y colector de admisión.

$$\frac{dm_{aadm}}{dt} = \dot{m}_{amar} - \sum_{i=1}^{N_{cil}} \dot{m}_{ai} \quad (3.1)$$

Donde m_{aadm} es la masa de aire dentro del múltiple, \dot{m}_{amar} es el flujo de aire que pasa por la válvula mariposa, y \dot{m}_{ai} es el flujo de aire que entra en el cilindro i .

3.2.2. Válvula de mariposa

El flujo de aire que pasa por la válvula mariposa se trata como un fluido compresible que atraviesa un conducto, impulsado por una diferencia de presiones, en el que se produce una reducción de sección, debida a la mariposa [Taylor, 1966].

$$\dot{m}_{amar}(\alpha, \Phi) = \dot{m}_{amar}^{max} C_d f_1(\alpha) f_2(\Phi) + \dot{m}_{amar}^0 \quad (3.2)$$

donde:

$$\dot{m}_{amar}^{max} = \frac{\pi D_{mar}^2}{4} \cdot \frac{P_{adm}}{\sqrt{R \cdot T_{adm}}} \quad (3.3)$$

Siendo \dot{m}_{amar}^{max} el caudal de aire máximo posible, C_d el coeficiente de descarga, D_{mar} diámetro de la válvula de mariposa, P_{adm} la presión de admisión, T_{adm} la temperatura de admisión, $f_1(\alpha)$ el coeficiente de sección en función al ángulo de la mariposa, $f_2(\Phi)$ es una función por tramos que depende de la relación entre la presión ambiente y la presión de admisión y representa el factor de presión, el término \dot{m}_{amar}^0 representa el flujo de aire en estado ralenti .

$$\Phi = \frac{P_{adm}}{P_{amb}} \quad (3.4)$$

La función $f_2(\Phi)$ se encuentra dividido en dos tramos, uno para el flujo sónico, donde el flujo de aire alcanza la velocidad del sonido y otro para el flujo subsónico, este limite esta dado para Φ^* y se llama presión crítica de Laval:

$$\Phi^* = \left(\frac{2}{k+1}\right)^{\frac{k}{k-1}} \quad (3.5)$$

Donde k es el cociente de calores específicos a presión y volumen constantes. Si se trata al aire como un gas ideal entonces $k = 1,4$, se obtiene $\Phi^* = 0,528$.

$$f_2(x) = \begin{cases} \sqrt{\frac{2k}{k-1}(\Phi^{\frac{2}{k}} - \Phi^{\frac{k+1}{k}})} & \text{si } \Phi^* \leq \Phi \leq 1 \\ \sqrt{k}\left(\frac{2}{k+1}\right)^{\frac{k+1}{2(k-1)}} = 0,684 & \text{si } \Phi \leq \Phi^* \end{cases} \quad (3.6)$$

La función $f_1(\alpha)$ representa la sección de paso de la válvula de mariposa, que depende del ángulo α . Para el caso de un tubo cilíndrico, con mariposa circular articulada por su diámetro:

$$f_1(\alpha) \simeq \left(1 - \frac{\cos(\alpha)}{\cos(\alpha_0)}\right) \quad (3.7)$$

Siendo α el ángulo de posición de la mariposa, y α_0 el ángulo de la mariposa en posición en régimen ralenti. La expresión 3.2 no se cumple para ángulos grandes y velocidades de motor bajas, donde se produce un efecto de saturación debido a que la pérdida de carga lineal en todo el conducto de admisión deja de ser despreciable respecto a la creada por la mariposa. En tal caso el flujo de aire depende fuertemente de las revoluciones del motor (n) y de dos constantes a y b que dependen del motor.

$$\dot{m}_{amar}(n) = a + b.n \quad (3.8)$$

3.2.3. Válvula de admisión

A la hora de calcular el aire que atraviesa la válvula de admisión, a diferencia de la válvula de mariposa en donde se trabaja con el coeficiente de descarga según la apertura de la misma, es preferible trabajar con lo que se llama **rendimiento volumétrico**, el cual equivale a un valor promediado para todo el ciclo, y depende de la presión de admisión y la temperatura de aire de admisión, asumiendo que el aire es un gas ideal:

$$\dot{m}_a = \frac{1}{2}.n.V.\rho_{adm}.\eta_{vol} = \frac{1}{2}.n.V.\frac{P_{adm}}{R.T_{adm}}.\eta_{vol} \quad (3.9)$$

donde V es la cilindrada. El factor $\frac{1}{2}$ procede del hecho que, en un motor de cuatro tiempos, se produce una renovación de carga cada dos vueltas, n son las revoluciones por minuto, P_{adm} es la presión dentro del múltiple de admisión, R es la constante universal de los gases ideales, T_{adm} es la temperatura del aire dentro del múltiple de admisión [K], y η_{vol} es la eficiencia volumétrica que es una función que depende de n y de P_{adm} .

3.2.4. Ecuación de estado del colector de admisión

Partiendo de la ecuación 3.1, y suponiendo que el aire es un gas ideal, se obtiene la expresión de la variación de la presión en el colector de admisión. Considerando que la temperatura no varía o lo hace muy lentamente, y que el volumen del colector es constante:

$$\dot{P}_{adm} = \frac{R \cdot T_{adm}}{V_{adm}} \cdot (\dot{m}_{amar} - \sum_1^{N_{cil}} \dot{m}_a) \quad (3.10)$$

Si ahora se sustituye la expresión 3.9 en la anterior, se obtiene la ecuación de estado del colector de admisión.

$$\dot{P}_{adm} = \frac{R \cdot T_{adm}}{V_{adm}} \cdot \dot{m}_{amar} - \frac{1}{2} \cdot n \cdot V \cdot \frac{P_{adm}}{V_{adm}} \cdot \eta_{vol} \quad (3.11)$$

3.3. Admisión de la mezcla

Al cerrarse la válvula de admisión, el dosado de la mezcla permanece constante hasta que la inyección se repita para el mismo cilindro. Sin embargo, hasta que se obtenga información sobre λ , suceden una serie de fenómenos:

1. Expulsión de los gases de escape.
2. Transporte de los gases hasta la posición de la sonda.
3. Medición a cargo de la sonda.

3.3.1. Expulsión de los gases de escape

Luego de la inyección comienzan los ciclos del motor y pasa un tiempo hasta que los gases de escape lleguen a la sonda. En primera instancia surgen los primero 3 tiempos o fases de motor (admisión, compresión y combustión), y tan pronto como se presenta la fase de escape en la cual la válvula de escape comienza a abrirse, los gases quemados del cilindro son expulsados hacia el colector de escape. El primer proceso antes de la apertura de la válvula de escape tiene un tiempo

de ejecución que depende sólo del régimen del motor (RPM). Por tanto, si se define θ_{esc} como el ángulo de cigüeñal comprendido entre el instante de la inyección y la apertura de las válvulas de escape en el mismo cilindro, y n es el régimen en RPM, el retardo de ciclo en un motor de 4 tiempos es equivalente a:

$$t_{cic} = \frac{\theta_{esc}(\circ/360)}{n(RPM/60)} \quad (3.12)$$

3.3.2. Transporte de los gases de escape

Una vez finalizado el proceso de escape, los gases van ocupando el volumen existente en el colector y tubo de escape, hasta llegar a la posición donde está situada la sonda de medición. Este tiempo se llama tiempo de transporte t_r el cual se puede hallar mediante la formula siguiente:

$$t_r = \frac{2}{V} \cdot \frac{1}{n \cdot \eta_{vol}} \cdot \frac{1}{1 - X_r} \cdot \frac{P_{esc}}{P_{adm}} \cdot \frac{T_{adm}}{T_{esc}} \quad (3.13)$$

Donde X_r es la fracción de gases residuales respecto a la mezcla admitida, V es la cilindrada total y η_{vol} es el rendimiento volumétrico.

Puede verse que el retardo de transporte tiene una fuerte dependencia del punto de funcionamiento del motor. En efecto, además de la intervención directa de n , hay una dependencia implícita del régimen, de la carga en el rendimiento volumétrico, las fracciones residuales, las presiones y temperaturas de escape.

3.4. Retardo total

Según los resultados experimentales de laboratorio hechas por Cercós Javier [Cercós, 2001], el retardo puede quedar representado solamente por el régimen de funcionamiento y el ángulo α de la mariposa del colector de admisión quedando el retardo representado de la siguiente forma:

$$T_d = t_\lambda = t_{cic} + t_r = \frac{C_1}{n} + C_2 \cdot e^{C_3 \cdot \alpha} \quad (3.14)$$

C_i son contantes que dependen del motor, dando como resultado:

$$C_1 = 180, C_2 = 0,319, C_3 = -0,17$$

$$T_d = \frac{180}{n} + 0,319 \cdot e^{-0,17 \cdot \alpha} \quad (3.15)$$

3.5. Dinámica del sistema

En condiciones de funcionamiento normal del coche, la potencia mecánica generada por el motor se utiliza en parte para vencer las resistencias pasivas del motor y del vehículo, y la potencia todavía disponible permite acelerar el motor, que esta rígidamente unido mediante un embrague a la caja de cambios y luego las ruedas.

3.5.1. Combustión y generación de par motor

Dado un caudal de combustible \dot{m}_f , la potencia mecánica teórica disponible es:

$$N = \dot{m}_f \cdot H_f \cdot \eta_t(P, \lambda, n) = \frac{\dot{m}_a}{\lambda \cdot \lambda_e} \cdot H_f \cdot \eta_t(P_{adm}, \lambda, n) \quad (3.16)$$

Donde H_f es el poder calorífico inferior del combustible, y η_t es el rendimiento térmico. La entrada de potencia se considera instantánea, y si el ángulo de encendido es óptimo, esto sucede aproximadamente cuando el pistón está 60° después del PMS, y si se supone que la inyección se produce 60° antes del PMS del pistón, en el tiempo de escape, se tiene un retardo de θ_{comb} de aproximadamente 480° . Esto significa que hay un retardo entre la inyección y la generación de par motor de:

$$t_{comb} = \frac{\theta_{comb}}{360} \cdot \frac{1}{n(RPM/60)} = \frac{\theta_{comb}}{60n} \quad (3.17)$$

El rendimiento térmico es la fracción de la energía de la gasolina que se aprovecha para producir trabajo mecánico, respecto a la teóricamente disponible a partir de la reacción de combustión perfecta. Esto evita tener que modelar las pérdidas de energía térmica por los gases de escape y el refrigerante. Por el momento no es posible hallar un modelo que determine el valor del rendimiento, pero sí se conoce su dependencia respecto a variables como el régimen, presión de admisión y el dosado de la mezcla. No se tiene en cuenta el encendido porque se supone óptimo.

3.6. Balance dinámico

Las ecuaciones que gobiernan la dinámica del sistema se obtienen de aplicar la segunda ley de Newton en el volante de motor. La potencia obtenida de la combustión de la mezcla genera un par indicado, el cual permite vencer las resistencias pasivas del motor, las resistencias de avance del vehículo y si queda par disponible, acelerar el conjunto **transmisión-vehículo**, caracterizado por su

inercia equivalente. El régimen se calcula por integración. Como hipótesis, se supone que no hay deslizamiento de las ruedas motrices ni del embriague, y que la carretera es llana, así:

$$M_{neto} = \dot{n}I_{eq} = \frac{N(Kw \cdot 10^3)}{n(RPM \cdot 2\pi/60)} - M_f(n) - M_l(v) = \frac{3 \cdot 10^4 N}{\pi} \frac{1}{n} - M_f(n) - M_l(v) \quad (3.18)$$

Las pérdidas del motor $M_f(n)$ son las que representan por un lado el rozamiento interno del tren mecánico y la distribución, y por otro lado los periféricos, como la bomba de aceite, alternador, compresor de aire acondicionado, etc y depende de las revoluciones del motor y no de la velocidad del vehículo. Hay autores que representan $M_f(n)$ como un modelo polinomial de segundo orden quedando expresado de la siguiente forma:

$$M_f(n) = M_{f_0} + M_{f_1}n + M_{f_2}n^2 \quad (3.19)$$

El par $M_l(v)$ es producto del avance del vehículo y es función de la velocidad, además depende del radio del neumático (R_r), el rendimiento global de la transmisión (η_{tr}), y la relación de transmisión de cada marcha ($RT(i)$):

$$M_l(v) = \frac{R_r}{RT(i) \cdot \eta_{tr}} \cdot (F_{l_0} + F_{l_1} \cdot v + F_{l_2} \cdot v^2) \quad (3.20)$$

La expresión $F_{l_0} + F_{l_1} \cdot v + F_{l_2} \cdot v^2$ representa la resistencia al avance del vehículo sobre las ruedas que procede de la fuerza aerodinámica y de la rodadura de los neumáticos.

La inercia equivalente (I_{eq}) incluye el momento de inercia del volante y el cigüeñal del motor más el eje primario de la transmisión (I_{mot}), las ruedas (R_r, I_r) y la masa del vehículo (M_v), todo reducido al volante del motor y teniendo en cuenta la relación de transmisión de cada marcha, $RT(i)$:

$$I_{eq} = I_{mot} + \frac{M_v \cdot R_r^2 + 4I_r}{RT(i)} \quad (3.21)$$

Capítulo 4

Control de flujo de combustible

4.1. Introducción

Como se vio en el Capítulo 3, la forma de suministrar y controlar el flujo de combustible en los cilindros se logra por medio de los inyectores actuando directamente sobre el tiempo de apertura de los mismo (ancho de pulso), y así se obtiene el dosado que el motor necesita para su correcto funcionamiento (eficiencia y reducción de gases contaminantes). Este ancho de pulso o tiempo de inyección tiene que estar basado en un esquema de control dependiendo de los parámetros de entrada (temperatura, presión, RPM, etc) y la realimentación de la sonda lambda.

4.2. Flujo de combustible

Como se mencionó en capítulos anteriores, en un motor de 4 tiempos, un ciclo de motor corresponde a 2 vueltas de motor, entonces por cilindro hay una inyección cada 2 vueltas. Al trabajar sobre un motor de 4 cilindros en los que se inyecta sobre 2 cilindros en la primer vuelta y 2 en la segunda, el flujo másico de combustible queda representado por la siguiente ecuación:

$$\dot{m}_c[g/min] = 2 \cdot t_i \cdot G_i \cdot n \quad (4.1)$$

donde t_i [s] es el tiempo de apertura del inyector, G_i [g/s] es la ganancia del inyector, y n son las revoluciones o régimen.

4.3. Esquema de control

Un esquema convencional de control de inyección de combustible es del tipo **feedforward+feedback**, donde el control feedforward (FF) es un componente

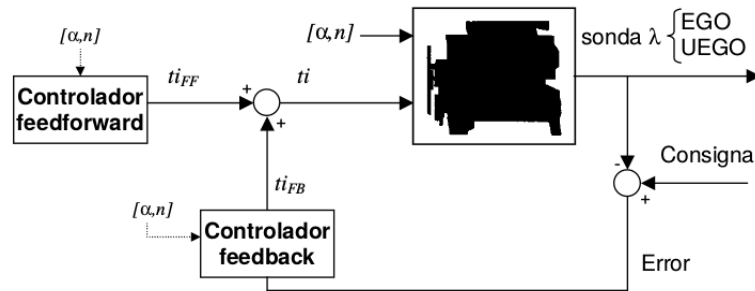


Figura 4.1: Diagrama control de inyección

anticipativo, en lazo abierto, y el control feedback (FB) es del tipo correctivo, en lazo cerrado. Entonces la ECU toma los parámetros de entrada y gestiona primero el control feedforward y luego tomando la realimentación por medio de la sonda lambda se hace una corrección del flujo de combustible.

En la figura (4.1) se ve un diagrama de cómo opera este tipo de control. Comienza el control FF tomando únicamente parámetros de entrada y ninguno de salida, y calcula un tiempo de inyección base. El control FB sólo toma el estado de la salida (rica o pobre) y se encarga de aumentar o disminuir el tiempo de inyección calculado por el otro controlador.

Al utilizar el esquema de control FF + FB, se obtiene un tiempo de inyección FF (ti_{FF}) el cual se utiliza para tener una aproximación inicial del dosado necesario para mantener una relación estequiométrica entre el aire que ingresa y el combustible que se inyecta. Una vez estabilizado el motor, se ejecuta el control feedback el cual compara la salida con la referencia o consigna ($\lambda_{ref} = 1$) dando como resultado un tiempo de corrección (ti_{FB}), que luego se suma al tiempo inicial para obtener un valor de tiempo total ($ti = ti_{FF} + ti_{FB}$).

4.4. Control Feedforward

La ecuación 2.2 demuestra que para mantener un $\lambda = 1$, es necesario tener un $AFR = 14,7$ (ec. 2.1), en donde el numerador del cociente es la masa de aire ingresado y el denominador es la masa de combustible inyectada. Entonces el control feedforward, de manera robusta, usa como principal parámetro de entrada el **grado de carga** o la **masa de aire** que ingresa y así calcula la masa de combustible necesaria para mantener una $\lambda = 1$.

4.4.1. Carga o caudal de aire

Existen dos formas de obtener el grado de carga de un motor, una es la forma **directa** en el que el vehículo tiene un sensor de caudal másico y así se obtiene de forma directa la masa de aire. Por otro lado existe la forma **indirecta** en el que se estima el caudal de aire en base de los parámetros de RPM, presión de admisión, temperatura, ángulo de la mariposa.

Cuando el vehículo no cuenta con un sensor de caudal másico, se utiliza la estimación, por lo tanto se estaría cometiendo un error mayor que en los métodos directos. La ecuación (4.2) representa el flujo de la masa de aire en función de las **RPM**, la temperatura del aire de admisión [kelvin], la cilindrada del motor **V** [litros], y la constante **R** ($\frac{Kj}{Kg}$) de los gases ideales y el rendimiento o eficiencia volumétrica.

$$\dot{m}_a[g/min] = \frac{1}{2} \cdot \frac{V \cdot \eta_{vol} \cdot P_{adm} \cdot n}{R \cdot T_{adm}} \cdot 1000 \quad (4.2)$$

Los parámetros a medir son la presión de admisión, las RPM y la temperatura del aire que ingresa por el colector de admisión. Por otro lado η_{vol} depende del punto de funcionamiento del motor y puede tomar valores que están tabulados en una tabla o mapa de rendimiento volumétrico, que depende de la presión de admisión y de las revoluciones. En este proyecto se empleó una tabla genérica para motores de características similares al empleado.

		$P_{adm}[Kpa]$									
		10,3	19,9	29,9	39,8	50,2	60,1	70,1	80,0	90,0	RPM
$\eta_{vol} =$		75,5	75,0	74,5	74,5	74,0	70,5	70,0	71,5	71,5	750
		75,0	75,5	78,9	75,0	74,0	73,5	72,5	71,5	71,5	1000
		77,0	77,5	79,0	76,5	75,5	74,5	74,0	73,0	73,0	1125
		77,5	79,5	81,0	77,5	76,5	75,5	74,0	73,0	73,0	1250
		80,0	84,0	84,0	79,0	77,5	76,0	74,0	73,0	74,5	1500
		80,0	83,0	82,0	80,0	78,0	77,0	75,5	74,5	74,5	1750
		79,5	82,0	84,0	83,0	81,0	79,5	79,0	78,0	80,5	2000
		78,5	82,0	86,0	87,0	85,0	84,0	82,0	81,0	81,0	2260
		78,0	82,0	88,5	88,0	86,5	85,5	83,0	82,0	81,0	2500
		77,5	82,0	89,5	88,0	89,0	83,5	81,5	80,0	72,5	2750
		75,5	81,5	89,0	87,0	91,5	81,0	79,0	79,0	75,0	3000
		68,0	79,5	90,5	90,0	91,5	85,0	84,0	81,5	76,0	3500
		66,0	78,0	90,0	92,0	92,0	89,0	86,5	83,5	80,0	4000
		73,5	77,5	85,5	90,0	91,0	88,5	87,0	84,0	80,0	4500
		77,5	78,5	85,5	89,5	91,0	88,0	85,0	81,0	78,0	5000
		84,0	83,5	84,5	88,0	91,0	87,0	83,0	79,5	76,5	5500
	84,0	83,5	84,5	87,5	91,0	87,0	84,0	79,0	76,5	6000	
	84,0	83,5	84,5	87,5	91,0	87,5	84,5	79,5	76,5	6500	

4.4.2. Tiempo de inyección FeedForward

El objetivo principal del control de inyección es mantener la relación estequiométrica alrededor de 14,6. lo que significa que cada 14,7 miligramos de aire que ingresa al cilindro tiene que haber 1 miligramo de combustible. Entonces para obtener el **tiempo de inyección Feedforward** ($t_{i_{FF}}$) hay que hacer el cociente entre la ecuación 4.2 y 4.1 e igualarlos a 14,7 y despejando se obtiene $t_{i_{FF}}$:

$$t_{i_{FF}}[s] = \frac{1}{2} \cdot \frac{1000 \cdot V \cdot \eta_{vol} \cdot P_{adm} \cdot n}{R \cdot T_{adm}} \cdot \frac{1}{14,6} \cdot \frac{1}{2 \cdot G_i \cdot n} \quad (4.3)$$

cancelando n entre el numerador y denominador:

$$t_{i_{FF}}[s] = \frac{1}{2} \cdot \frac{1000 \cdot V \cdot \eta_{vol} \cdot P_{adm}}{R \cdot T_{adm}} \cdot \frac{1}{14,6} \cdot \frac{1}{2 \cdot G_i} \quad (4.4)$$

Se puede observar que la cantidad de combustible ha inyectar no depende directamente de las RPM, pero sí depende de manera directa de la presión de admisión P_{adm} .

4.5. Control Feedback

El control feedback consiste en medir los gases de escape por medio de una sonda EGO (binaria) y establecer una estrategia de corrección de flujo de combustible. La estrategia de control tradicional es del tipo controlador **P**, **I**, o **PI**. Es importante destacar que no se puede utilizar el control derivativo **D** a una sonda EGO debido a su forma de actuar del tipo binaria o relay, al derivar este tipo de sonda, en los flancos de subida o bajada durante los cambios de estado de la mezcla generarían un comportamiento divergente saturando al sistema de forma alternada.

Debido a los importantes retardos del sistema es necesario establecer como condición necesaria que el motor se encuentre en un estado estacionario, es decir que las variaciones de RPM y las variaciones de la presión del colector de admisión sean nulas o dentro de un rango limitado.

La figura (4.2) representa el diagrama en bloque del sistema de control para la relación estequiométrica λ . Esta figura muestra como el factor λ es controlado por la suma de dos variables que se suman. La variable que sale del controlador FB adopta el nombre de **tiempo de inyección feedback** ($t_{i_{fb}}$) el cual se suma al tiempo feedforward ($t_{i_{ff}}$) para obtener un tiempo total (t_i), al multiplicar el tiempo t_i por el bloque ganancia de inyector se obtiene la masa total de combustible que entra al motor para luego realizar una combustión lo mas completa posible. En el caso de este proyecto se trabajó con un inyector marca **Magneti Marelli**

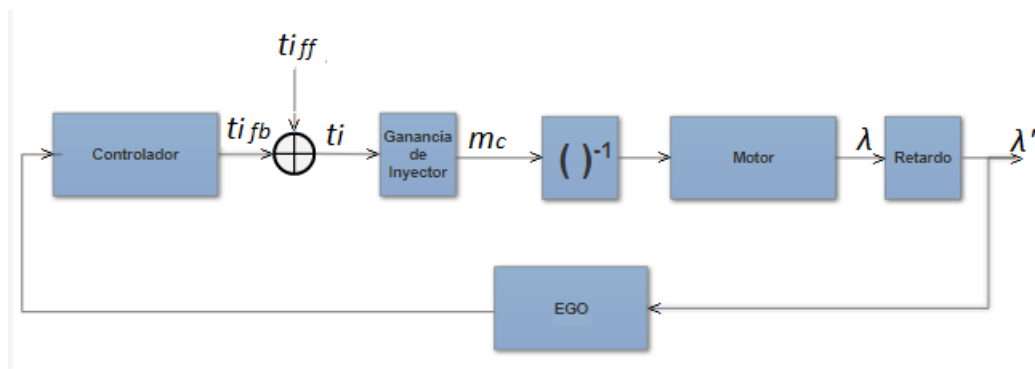


Figura 4.2: Sistema A/C

modelo iwp 143 que según los datos del fabricante posee una ganancia de 2.333 mg/ms a una presión de 3 bar.

Como λ es el cociente entre la masa de aire (m_a) y la masa de combustible (m_c) es importante notar que la variable que entra al motor es $\frac{1}{m_c}$ (inversa de la masa de combustible) y es por esto que aparece un bloque $()^{-1}$ posterior a m_c y previo a la planta que representa el bloque **Motor**.

Por último hay que tener en cuenta que la salida medida es luego del **Retardo** donde es λ' y no λ . Cabe destacar que este retardo quedó plasmado en la ecuación (3.15) y depende del ángulo de mariposa, el régimen de funcionamiento y el tipo de motor.

4.5.1. Aproximación de función transferencia de motor

Como se mencionó en el Capítulo 1, una de las dificultades a la hora de plantear el control de λ es la función transferencia de la planta cuyo orden es desconocido. Los fenómenos de formación de mezcla son muy complejos, la dinámica depende del punto de funcionamiento y el proceso es discontinuo. Por estas razones se adopta un modelo genérico para la función transferencia $G(s)$ y así se logra un control más robusto.

$$G(s) = \frac{G_p}{1 + sT_0} \cdot e^{-sT_d} \quad (4.5)$$

Donde G_p es la ganancia de la planta $G(s)$, y representa la masa de aire dividido AFR (Recordar que $\lambda = \frac{m_a}{m_c \cdot AFR}$), $T_0 = 0,5$ es un polo que simplifica el comportamiento dinámico del combustible y la evolución de los gases, y T_d es el retardo de λ . Estos valores de la ecuación (4.5) dependen fuertemente del punto de funcionamiento y es por esto que el análisis se centra solamente bajo condiciones de

ralentí ($RPM = 750 \pm 100$, $\alpha = 11\% = 10^\circ$) debido a sus grandes retardos que generan límites a la hora de obtener un control óptimo.

Ganancia de planta G_p :

$$G_p[g] = \frac{m_{a-cilindro}}{AFR}$$

$$G_p[g] = \frac{1}{4} \cdot \frac{V \cdot \eta_{vol} \cdot P_{adm}}{R \cdot T_{adm}} \cdot \frac{1000}{14,6}$$

$$G_p[g] = \frac{1}{4} \cdot \frac{1,149 \text{ l} \cdot 0,74 \cdot 39 \text{ KPa}}{287 \frac{\text{J}}{\text{Kg} \cdot \text{K}} \cdot 300 \text{ K}} \cdot \frac{1000}{14,6}$$

$$G_p[g] = 0,00659g$$

$$G_p[mg] = 6,59mg \quad (4.6)$$

Retardo:

$$T_d = \frac{180}{n} + 0,319 \cdot e^{-0,17 \cdot \alpha}$$

$$T_d = \frac{180}{750} + 0,319 \cdot e^{-0,17 \cdot 10^\circ}$$

$$T_d = 0,42s \quad (4.7)$$

4.6. Controlador FB

La forma de resolver el error cometido por el controlador FF sobre el valor de lambda es por medio de la realimentación por sonda EGO. Este proceso compara la presencia o ausencia de oxígeno en los gases de escape y en base a su respuesta se ejecuta una acción de control que busca asegurar una zona de trabajo. La transferencia de un control PI queda conformada por un valor proporcional K_p sumado a una integración con una constante K_i .

$$PI(S) = (K_p + \frac{K_i}{S}) \quad (4.8)$$

$$PI(S) = \frac{K_i}{S} \cdot (\frac{K_p}{K_i} S + 1) = \frac{K_i}{S} \cdot (z_1 S + 1) \quad (4.9)$$

Como se puede observar en la figura (4.3), la entrada al controlador PI es un escalón unitario positivo para el caso en que $\lambda > 1$ (mezcla pobre) y un escalón unitario negativo para el caso en que $\lambda < 1$ (mezcla rica). Entonces teniendo en cuenta este comportamiento de entrada se puede analizar la salida del controlador como la respuesta al escalón más las condiciones iniciales del mismo. Notar que

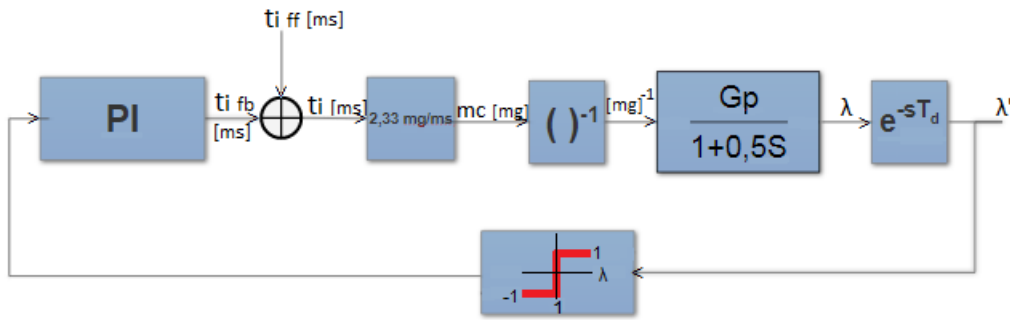


Figura 4.3: Sistema A/C

para el análisis de control hay que linealizar el bloque $(\)^{-1}$ dentro de un punto de trabajo.

- Primer caso: $\lambda > 1$ EGO = 1

$$ti_{fb}[ms] = ti_{fb0}[ms] + Kp[ms] + Ki[ms/s].t[s] \quad (4.10)$$

- Segundo caso $\lambda < 1$ EGO = -1

$$ti_{fb}[ms] = ti_{fb0}[ms] - Kp[ms] - Ki[ms/s].t[s] \quad (4.11)$$

Las ecuaciones (4.10) y (4.11) reflejan el comportamiento y la evolución temporal de la corrección del tiempo de inyección del control PI (ti_{fb}) y no el tiempo total de inyección (t_i), y es por esto que pueden tomar valores tanto positivos como negativos o incluso nulos. El termino ti_{fb0} representa la condición inicial de la corrección, que luego se modifica con un salto en escalón de Kp milisegundos y a medida que evoluciona la variable t , el escalón de entrada se integra en forma de rampa con pendiente Ki milisegundos/segundo.

En la imagen (4.4) se muestra de manera conceptual la respuesta del control integral, proporcional y proporcional-integral tomando a la sonda lambda como un ciclo límite con período $2.T_1$. Cuando el estado de la sonda EGO es rico entonces el tiempo de inyección baja y de manera inversa cuando el estado de la sonda EGO es pobre entonces el tiempo de inyección sube.

4.6.1. Valores Kp y Ki

Para obtener los valores de Kp y Ki se parte del análisis de respuesta temporal de λ al rededor de un punto de trabajo y se linealiza $(\)^{-1}$, luego se fijan los

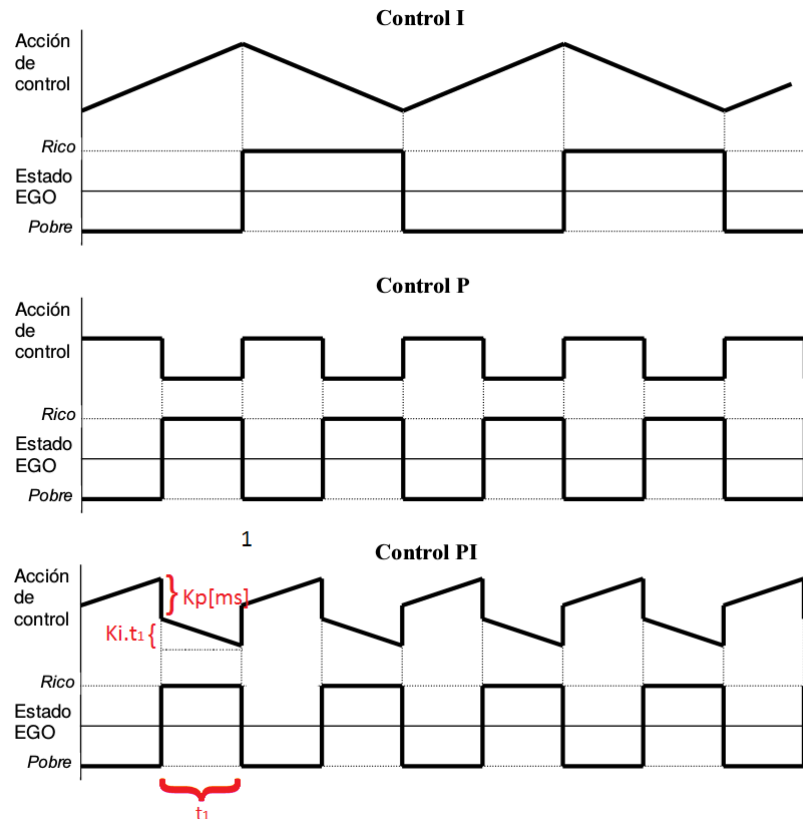


Figura 4.4: Control I, P, PI

límites de valores que λ puede tomar.

Punto de trabajo

El punto de trabajo se fija para valores de RPM de 700 ± 50 , temperatura de 300 K, presión de admisión entre 35 y 39 Kpa, y retardo de 420 ms. Como se vio en la ecuación (4.6) la ganancia de la planta es de $6,59[mg]$ por lo tanto para que λ dé lo más cercano posible a 1, la masa de combustible tiene que ser igual a la ganancia:

$$\frac{6,59 \text{ mg}}{m_c} = \lambda = 1$$

$$m_c = 6,59 \text{ mg}$$

Como la ganancia del inyector es de 2,333 mg/ms, entonces el tiempo de inyec-

ción t_i es:

$$m_c = G_i \cdot t_i$$

$$t_i = \frac{6,59}{2,33} \text{ ms}$$

$$t_i = 2,82 \text{ ms}$$

El siguiente paso es linealizar por Tylor la función $f(T_i) = \frac{1}{G_i \cdot t_i}$ alrededor del punto de trabajo $t_i = 2,82 \text{ ms}$:

$$f(t_i) = f(t_{i0}) + \left(\frac{\partial f(t_{i0})}{\partial t} \right) \cdot (t_i - t_{i0})$$

$$f(t_i) = \frac{1}{G_i t_{i0}} + \left(\frac{-1}{(G_i t_i)^2} \right) \cdot G_i (t_i - t_{i0})$$

$$f(t_i) \left[\frac{1}{mg} \right] = 0,151 - 0,0537 \cdot (t_i - 2,82)$$

Análisis de la respuesta temporal de λ en función de Kp y Ki

Para obtener la respuesta temporal de λ en función de Kp y Ki hay que hacer la transformada inversa de laplace de la respuesta al escalón del sistema realimentado y analizar el comportamiento junto con el retardo.

$$G'_p = 0,0537 \text{ mg}^{-1} \cdot \text{ms}^{-1} \cdot G_p \quad (4.12)$$

$$G'_p = 0,353 \text{ ms}^{-1} \quad (4.13)$$

$$\lambda(t) = \mathcal{L}^{-1} \left\{ \frac{1}{s} \left(Kp + \frac{Ki}{s} \right) \left(\frac{0,353}{1 + 0,5s} \right) \right\} \quad (4.14)$$

$$\lambda(t) = 0,353 \text{ ms}^{-1} \left[\frac{1}{2} (Ki - 2s^{-1} \cdot Kp) e^{-2t} + \frac{1}{2} (2Ki \cdot t - Ki + 2s^{-1} \cdot Kp) \right] \quad (4.15)$$

Reagrupando los términos y sacando factor común queda:

$$\lambda(t) = \frac{0,353 \text{ ms}^{-1}}{2} [(Ki - 2s^{-1} \cdot Kp) e^{-2t} + 2Ki \cdot t - (Ki - 2s^{-1} \cdot Kp)]$$

tomando $A = (Ki - 2s^{-1} \cdot Kp)$:

$$\lambda(t) = \frac{0,353 \text{ ms}^{-1}}{2} \cdot [A \cdot e^{-2t} + 2Ki \cdot t - A]$$

$$\lambda(t) = \frac{0,353 \text{ ms}^{-1}}{2} \cdot [A(e^{-2t} - 1) + 2Ki \cdot t]$$

Se pueden observar dos términos que dependen de la variable t . Uno es la función exponencial que representa la respuesta transitoria y el otro término es lineal que representa la respuesta permanente. Para obtener los valores de K_p y K_i es necesario limitar el valor de excursión de λ y a la vez asumir una relación entre K_p y K_i de modo de reducir el sistema a una sola incógnita. Notar que al hacer $K_i = 2s_{-1}ms^{-1}K_p$ el cero del controlador coincide con el polo de la planta, esto hace que $A = 0$ y deja solo el término lineal quedando el sistema completo solamente como un integrador.

$$\lambda(t) = 0,353ms^{-1} \cdot K_i \cdot t \quad (4.16)$$

Se considera que λ tiene una tolerancia de $1 \pm 0,05$, de modo que la amplitud del ciclo límite se tiene que mantener dentro de un rango $\lambda_{min} = 0,95$ a $\lambda_{max} = 1,05$.

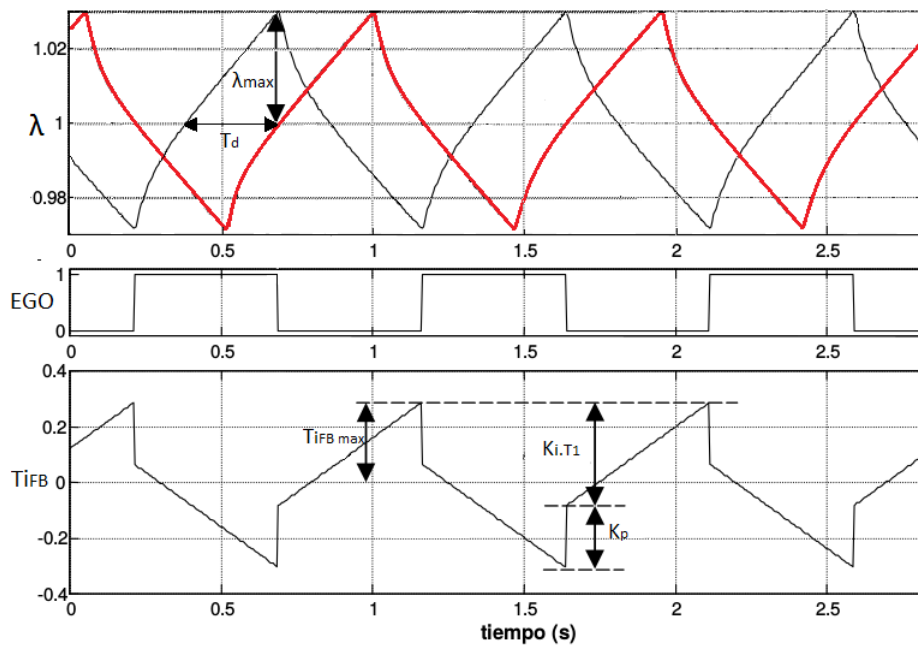


Figura 4.5: Respuesta del sistema al control PI

Para entender mejor el comportamiento temporal de λ con un control PI, la figura (4.5) no sólo ilustra el ciclo límite de lambda en línea negra, sino que también ilustra la misma señal en rojo retrasada un tiempo T_d la cual es la que detecta la sonda EGO.

Si tomamos como límites superior $\lambda_{max} = 1,05$, límite inferior $\lambda_{min} = 0,95$,

$Ki = 2s^{-1} \cdot Kp$, y $\lambda(t)$ se toma como la ecuación (4.16), se procede a obtener Ki partiendo de $\lambda = 1$ hasta λ_{max} ó λ_{min} :

$$0,353ms^{-1} \cdot Ki \cdot T_d \leq \lambda_{max} - 1$$

$$0,353ms^{-1} \cdot Ki \cdot 0,42[s] \leq 0,05$$

$$Ki \leq 0,338 \frac{ms}{s} \quad (4.17)$$

$$Kp = \frac{Ki}{2s^{-1}}$$

$$Kp \leq 0,169ms \quad (4.18)$$

Como conclusión del análisis de respuesta temporal del control PI, se destaca que al tomar como parámetro de diseño $Ki \cong 2s^{-1}ms \cdot Kp$, la función $\lambda(t)$ representa un ciclo límite triangular con periodo $4T_d$ con ripple pico-pico de $2 \cdot 0,353ms^{-1} \cdot Ki \cdot T_d$. El rango de $\lambda(t)$ es $1 \pm 0,353ms^{-1} \cdot Ki \cdot T_d$. Para bajar el modulo del ripple del ciclo límite, se tiene que disminuir Kp y ki manteniendo la relación $Ki = 2s^{-1} \cdot Kp$. Al disminuir estos valores en igual proporción, el ripple disminuye pero la frecuencia del ciclo límite no se ve afectada.

Análisis de plano de fase

A continuación se plantea un análisis de plano de fase del comportamiento del error de $\lambda(t)$ bajo el control PI visto previamente. En primera instancia, el análisis se toma como un sistema sin retardo y al luego se lo incluye.

Error de control:

$$e = \lambda_{ref} - \lambda$$

$$e = 1 - \lambda$$

Comportamiento de λ :

$$\lambda = ti_{FF} \cdot Gp' + ti_{FB} \cdot \frac{Gp'}{(T_0s + 1)}$$

$$\lambda_0 = ti_{FF} \cdot Gp'$$

$$\lambda = \lambda_0 + EGO(e) \cdot \frac{Ki}{s} \cdot (z_1 s + 1) \cdot \frac{Gp'}{(T_0 s + 1)}$$

Como $z_1 = T_0$, el polo de la planta y el cero del controlador se cancelan:

$$\lambda = \lambda_0 + EGO(e) \cdot \frac{Ki \cdot Gp'}{s}$$

$$EGO(e) = \begin{cases} +1 & \text{para } e < 0 \\ -1 & \text{para } e > 0 \end{cases} \quad (4.19)$$

Volviendo al error del control y reemplazando λ :

$$e = 1 - \lambda_0 - EGO(e) \cdot \frac{Ki \cdot Gp'}{s}$$

$1 - \lambda_0$ es la diferencia entre la consigna y el lambda inicial. Esta diferencia es el error inicial del control e_0 :

$$e_0 = 1 - \lambda_0$$

$$e \cdot s = e_0 \cdot s - EGO(e) \cdot Ki \cdot Gp'$$

e_0 es una constante por lo tanto la derivada queda:

$$e_0 \cdot s = 0$$

$$\dot{e} = -EGO(e) \cdot Ki \cdot Gp'$$

$$\dot{e} = \begin{cases} Ki \cdot Gp' & \text{para } e < 0 \\ -Ki \cdot Gp' & \text{para } e > 0 \end{cases} \quad (4.20)$$

El resultado obtenido de \dot{e} es para un sistema sin retardo. Al tomar en cuenta el retardo nos encontramos que la derivada del error no es única para valores

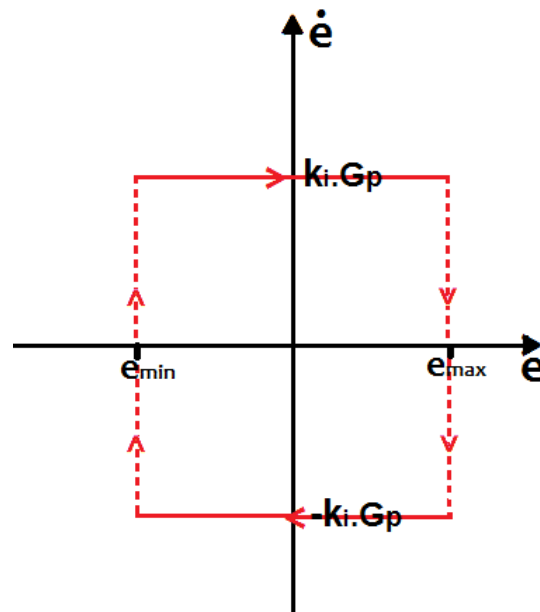


Figura 4.6: Plano de fase PI.

positivos o negativos de e , sino que gira en ese entorno alrededor de e_{max} y e_{min} con valores $\pm Ki.Gp'$ como se muestra en la figura (4.6). Es importante notar que no importa cuál sea el error inicial e_0 , el sistema siempre termina en un ciclo límite alrededor de $e=0$. En otras palabras e_{max} y e_{min} no dependen de e_0 ya que este último se elimina cuando se deriva el error inicial $e_{0.s} = 0$. Entonces los límites e_{max} y e_{min} sólo dependen de Ki , Gp y del retardo T_d

$$|e_{max}| = |e_{min}| = Ki.Gp'.T_d$$

Análisis de plano de fase con control P

A diferencia del control PI, el control P no posee término integral I, entonces la respuesta temporal $\lambda(t)$ y el plano de fase del control tiene algunas diferencias. Si se parte de la misma forma que el control PI, entonces:

Error de control:

$$\mathbf{e} = \lambda_{ref} - \lambda$$

$$\mathbf{e} = 1 - \lambda$$

Comportamiento de λ :

$$\lambda = ti_{FF} \cdot Gp' + ti_{FB} \cdot \frac{Gp'}{(T_0s + 1)}$$

$$\lambda_0 = ti_{FF} \cdot Gp'$$

$$\lambda = \lambda_0 + EGO(\mathbf{e}) \cdot Kp \cdot \frac{Gp'}{(T_0s + 1)}$$

$$EGO(\mathbf{e}) = \begin{cases} +1 & \text{para } e < 0 \\ -1 & \text{para } e > 0 \end{cases} \quad (4.21)$$

Volviendo al error del control y reemplazando λ :

$$\mathbf{e} = 1 - \lambda_0 - EGO(\mathbf{e}) \cdot Kp \cdot \frac{Gp'}{(T_0s + 1)}$$

$1 - \lambda_0$ es la diferencia entre la consigna y el lambda inicial. Esta diferencia es el error inicial del control e_0 :

$$e_0 = 1 - \lambda_0$$

Reemplazando:

$$\mathbf{e} = e_0 - EGO(\mathbf{e}) \cdot Kp \cdot \frac{Gp'}{(T_0s + 1)} \quad (4.22)$$

$$e \cdot (T_0s + 1) = e_0 \cdot (T_0s + 1) - EGO(e) \cdot Kp \cdot Gp'$$

$$e \cdot T_0 \cdot s + e = e_0 \cdot T_0 \cdot s + e_0 - EGO(e) \cdot Kp \cdot Gp'$$

$e_0 \cdot T_0$ es una constante por lo tanto la derivada queda:

$$e_0 \cdot T_0 \cdot s = 0$$

Reemplazando y agrupando nuevamente:

$$\dot{e} = \frac{e_0 - EGO(e) \cdot Kp \cdot Gp' - e}{T_0}$$

$$\dot{e} = \begin{cases} \frac{e_0 + Kp \cdot Gp' - e}{T_0} & \text{para } e < 0 \\ \frac{e_0 - Kp \cdot Gp' - e}{T_0} & \text{para } e > 0 \end{cases} \quad (4.23)$$

A diferencia del control PI, el plano de fase del control P no es una constante, y además depende del error inicial e_0 . Pero al igual que en el caso del control PI hay que tomar en cuenta los retardos que inicialmente no fueron tenidos en cuenta.

La figura (4.7) muestra dos posibles casos de ciclo límite de lambda y se muestra que depende necesariamente del error inicial. El lado izquierdo se observa un ciclo límite cuando el error inicial es nulo, y el lado derecho se muestra el ciclo límite cuando el módulo del error es menor a $|Kp \cdot Gp'|$. El error inicial tiene un impacto en cuanto al ciclo de trabajo de la sonda EGO, cuanto mas grande sea el error inicial, mas desequilibrado va a ser el tiempo de lambda que esté entre el estado rico y pobre de la mezcla.

Cuando el módulo del error inicial de lambda sea mayor que $|Kp \cdot Gp'|$, se anula por completo la posibilidad de existencia de un ciclo límite ya que lo único que se logra es reducir el error pero nunca cambiar de estado. La figura (4.8) ilustra de manera cualitativa lo que sucede cuando la corrección de combustible del control P no supera el error inicial cometido por el controlador FF. El plano de fase comienza con un error inicial e_0 desconocido, y termina con un error final e_f desconocido.

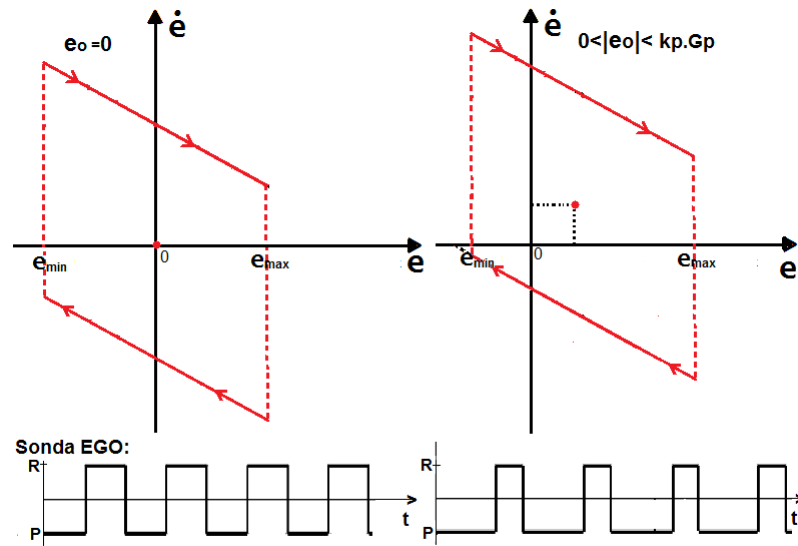


Figura 4.7: Plano de fase P con ciclo límite.

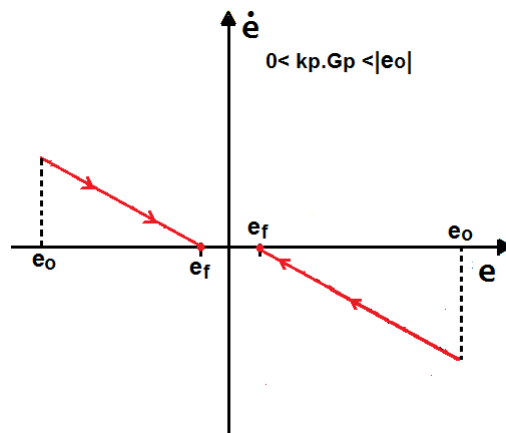


Figura 4.8: Plano de fase P sin ciclo límite.

Análisis de plano de fase con control I

El control I consta de un polo en el origen y no posee un término proporcional, a diferencia del control P o PI, el control I tiene un comienzo mucho más lento. Partiendo del mismo análisis de plano de fase del control P, pero reemplazando el término K_p por $\frac{K_i}{s}$ en la ecuación (4.22) queda de la siguiente manera:

$$\mathbf{e} = e_0 - EGO(\mathbf{e}) \cdot \frac{K_i}{s} \cdot \frac{Gp'}{(T_0s + 1)} \quad (4.24)$$

$$\mathbf{e} \cdot T_0 \cdot s^2 + \mathbf{e} \cdot s = e_0 \cdot T_0 \cdot s^2 + e_0 s - EGO(\mathbf{e}) \cdot K_i \cdot Gp'$$

$$\ddot{\mathbf{e}} \cdot T_0 + \dot{\mathbf{e}} = -EGO(\mathbf{e}) \cdot K_i \cdot Gp'$$

$$\ddot{\mathbf{e}} = \frac{\dot{\mathbf{e}} - EGO(\mathbf{e}) \cdot K_i \cdot Gp'}{T_0}$$

Reemplazando:

$$X_1 = \mathbf{e}$$

$$X_2 = \dot{X}_1 = \dot{\mathbf{e}}$$

$$\dot{X}_2 = \ddot{\mathbf{e}}$$

$$\begin{cases} \dot{X}_1 = X_2 \\ \dot{X}_2 = \frac{X_2 - EGO(X_1) \cdot K_i \cdot Gp'}{T_0} \end{cases} \quad (4.25)$$

$$EGO(X_1) = \begin{cases} +1 & \text{para } X_1 < 0 \\ -1 & \text{para } X_1 > 0 \end{cases} \quad (4.26)$$

Resolviendo la ecuación diferencial:

$$\frac{\dot{X}_1}{\dot{X}_2} = \frac{X_2 \cdot T_0}{X_2 - EGO(X_1) \cdot K_i \cdot Gp'}$$

$$\partial X_1 = \frac{X_2 \cdot T_0}{X_2 - EGO(X_1) \cdot K_i \cdot Gp'} \partial X_2$$

$$X_1 = -EGO(X_1) \cdot K_i \cdot Gp' \cdot T_0 \cdot \ln(|X_2 - EGO(X_1) \cdot K_i \cdot Gp'|) - T_0 \cdot X_2 \quad (4.27)$$

si $X_1 \geq 0$:

$$X_1 = K_i \cdot Gp' \cdot T_0 \cdot \ln(|X_2 + K_i \cdot Gp'|) - T_0 \cdot X_2$$

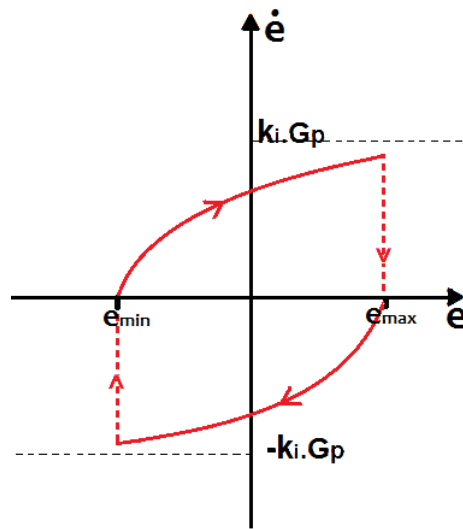


Figura 4.9: Plano de fase I.

si $X_1 \leq 0$:

$$X_1 = -Ki.Gp'.T_0.Ln(|X_2 - Ki.Gp'|) - T_0.X_2$$

Como conclusión de este análisis se puede destacar que, si el controlador FB posee un integrador entonces el error inicial e_0 desaparece del plano de fase y no tiene ninguna relación con el ciclo límite una vez que éste llegue a un régimen estabilizado. En cambio en un controlador que sólo sea proporcional, el ciclo límite queda sujeto al error inicial e_0 y el ciclo de trabajo de la sonda EGO puede quedar desbalanceado hacia el error inicial.

Capítulo 5

CIAA y OSEK RTOS

5.1. Introducción

La implementación de una UEC libre requiere un sistema que sea de **hardware libre** y **robusto**, para que soporte las condiciones hostiles en los ambientes que abunda ruido, vibraciones y temperaturas extremas. Para cumplir con estas condiciones es necesario que tenga implementadas las medidas de **seguridad y protección** y sobre toda las cosas, que cumpla con las **regulaciones**, y **certificaciones de seguridad y calidad**. Estos requerimientos están considerados en la CIAA ya que está creada como una plataforma industrial por lo cual dispone de mecanismos de protección eléctrica contra fallas o sobrecargas. De esta forma, brinda una base sólida para diseñar sistemas robustos y confiables de considerar cuestiones de disponibilidad, confiabilidad, verificación, validación y seguridad intrínseca, cumpliendo con las normas internacionales como las IEC 61131 y la IEC 61508. Toda la información recopilada en este Capítulo es citada de la página del Proyecto CIAA [ProyectoCIAA, 2016]. Este Capítulo hace un breve recorrido sobre los aspectos más importante a tener en cuenta a la hora de implementar una UEC sobre la mencionada plataforma.

5.2. Placa CIAA NXP

La CIAA-NXP es una computadora que reúne dos cualidades:

1. Ser **Industrial**, ya que su diseño está preparado para las exigencias de confiabilidad, temperatura, vibraciones, ruido electromagnético, tensiones, cortocircuitos, etc., que demandan los productos y procesos industriales.
2. Ser **Abierta**, ya que toda la información sobre su diseño de hardware, firmware, software, etc. está libremente disponible en internet bajo la Licencia

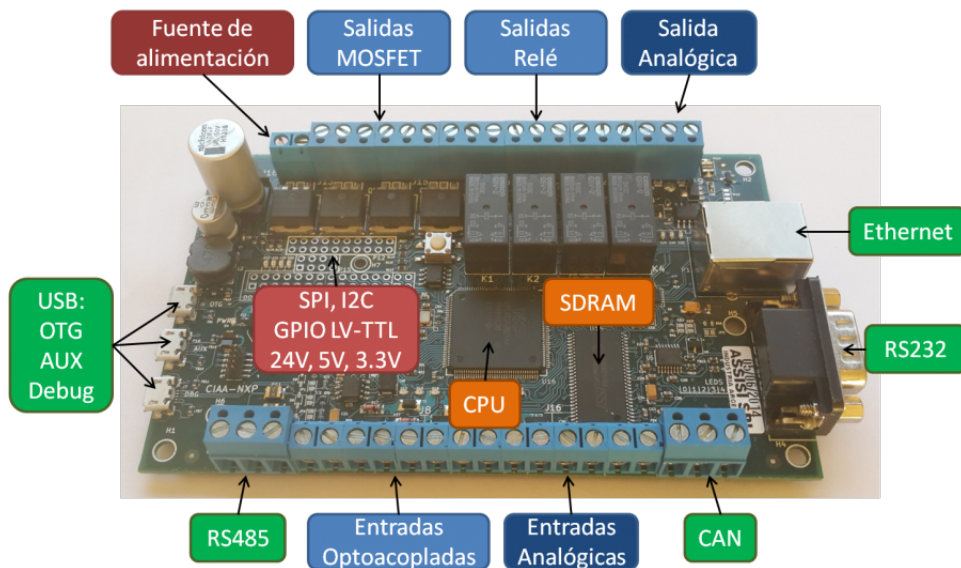


Figura 5.1: CIAA NXP.

BSD, para que cualquiera la utilice como quiera [ProyectoCIAA, 2016].

5.2.1. Características de hardware

El sistema se basa en la placa LPC4337. Cuenta con un microcontrolador ARM Cortex-M4 que incluye un coprocesador ARM Cortex-M0, 1 MB de memoria flash, 136 kB de SRAM, 16 kB de memoria EEPROM, periféricos como el timer de estado configurable (State Configurable Timer) (SCT) y el Serial General Purpose I/O (SGPIO) interface, dos controladores de alta velocidad USB, Ethernet, LCD, un controlador de memoria externa y múltiples entradas/salidas digitales y entradas analógicas. Opera a una frecuencia de reloj de más de 204 MHz.

El ARM Cortex-M4 es la próxima generación de cores de 32 bit que ofrece bajo consumo de energía, mejoras en las características de debug, y alto nivel para soportar integración de bloques. Incorpora un pipeline de 3 etapas, arquitectura Harvard con buses separados para datos e instrucciones y un tercer bus para periféricos. Incluye una unidad interna de prebúsqueda que soporta ejecución especulativa en bifurcaciones. Soporta procesamiento de señales en un ciclo e instrucciones SIMD (Single Instruction Múltiple Data). También, tiene integrado en el core hardware para procesamiento en punto flotante.

El coprocesador ARM Cortex-M0 es de uso eficiente de energía, de 32 bit compatible en código y herramientas con el Cortex-M4. El coprocesador Cortex-M0,

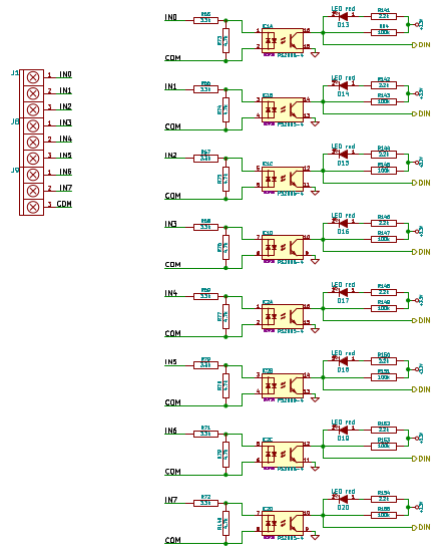


Figura 5.2: Entradas digitales.

está diseñado para reemplazar los microcontroladores existentes de 8/16-bit.

Entradas digitales

La CIAA posee 8 entradas digitales optoacopladas (PS2805-4), de este modo se combinan en un solo dispositivo semiconductor, un fotoemisor y un fotorreceptor cuya conexión entre ambos es óptica.

Entradas Analógicas

Debido a la gran cantidad de sensores analógicos utilizados en la industria y en la electrónica en general, la CIAA ha incorporado 4 entradas analógicas configurables. Estas tienen la capacidad de poder funcionar en lazo de corriente (4-20mA) o en tensión (0-10V) mediante la selección por medio de jumpers. Esta versatilidad convierte a las entradas analógicas de la CIAA en uno de sus fuertes para los procesos de automatización.

El circuito ha sido diseñado teniendo en cuenta las variaciones de temperatura, corriente inversa de las protecciones, tensión de offset del AO, etc. Por esto, tiene componentes de alta precisión y baja variación con la temperatura, minimizando la incertidumbre asociada a la medición. Características:

- 4 Entradas analógicas configurables por Corriente/Tensión.

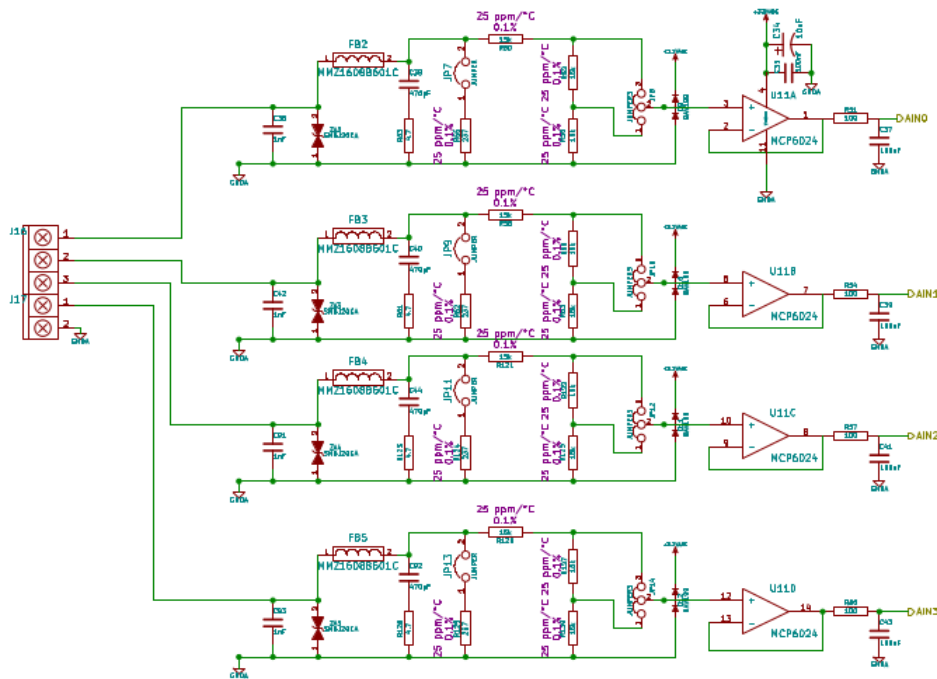


Figura 5.3: Entradas analógicas.

- Lazo de corriente 4-20mA (con rango extendido 0-22mA), impedancia de carga 237 Ohm.
- Control por tensión 0-10V, impedancia de entrada 45 KOhm.
- Protección contra transitorios.
- Protección por filtrado de alta frecuencia.
- Protección por diodos de enclavamiento.
- Amplificador-Buffer, estable y Rail-to-Rail

Salidas digitales de potencia

La CIAA-NXP posee 4 salidas digitales open-drain. Esto significa que en lugar de emitir una señal de una tensión o corriente específica, la señal de salida se aplica al GATE de un MOSFET interno cuyo DRAIN se encuentra abierto y está a disposición para su conexión.

En la figura (5.4) se muestra el diagrama esquemático de las salidas open-drain de los MOSFET FQT13N06L (60V LOGIC N-Channel MOSFET) que contiene la placa.

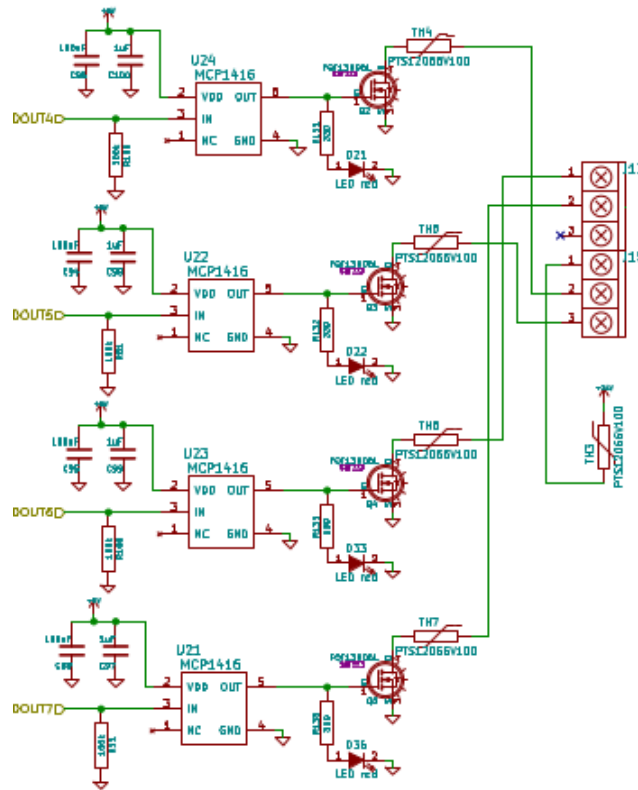


Figura 5.4: Salidas digitales open-drain.

Entre el microcontrolador y los MOSFET se encuentra un adaptador de nivel de tensión MCP1416 (high-speed power MOSFET driver) y sirve para poder adaptar los 3.3 V de salida del microcontrolador a los 5 V del MOSFET.

Características del MOSFET:

- Corriente: 2.8 A.
- Tensión drain-source: 60 V.
- $R_{DS(on)}$: 0,11 Ω

5.3. OSEK

OSEK-VDX es un comité de estandarización creado en 1994 por las automotrices europeas. OSEKVDX incluye varios estándares que se utilizan en la industria automotriz, entre ellos los más relevantes:

- OSEK OS
- OSEK COM
- OSEK NM
- OSEK Implementation Language (OIL)
- OSEK RTI
- OSEK Time Trigger Operating System

El estándar fue creado principalmente para poder reutilizar el SW de un proyecto a otro gracias a la definición de una interfaz estandarizada. Además al proveer un estándar se da la posibilidad a nuevas empresas de proveer SW compatible con el estándar y permitir la implementación de diversos sistemas OSEK compatibles. Esto último permite a la industria automotriz la posibilidad de elegir el proveedor dentro de una lista mayor de proveedores de SW ya que cualquiera puede implementar un OSEK-OS u otro estándar especificado por OSEK-VDX [Cerdeiro, 2015].

5.3.1. Sistema operativo ESTÁTICO vs DINAMICO

OSEK-OS, a diferencia de otros sistemas operativos como Linux y Windows, es un sistema operativo estático. Esto significa que las tareas, sus prioridades, cantidad de memoria que utilizan, etc. son definidos antes de compilar el código, en un proceso que se llama generación. En OSEK-VDX no es posible crear una tarea de forma dinámica, no es posible cambiar la prioridad a una tareas como estamos acostumbrados en Windows y Linux. Por ende, OSEKVDX sería un sistema impensable para una computadora o un celular donde constantemente estamos cargando nuevos programas, corriéndolos, cerrándolos etc. OSEK-OS está pensado para un sistema embebido que debe realizar una tarea específica en tiempo real y donde no se necesita cargar nuevas tareas de forma dinámica. El ser un sistema operativo estático trae grandes ventajas a su comportamiento en tiempo real. El sistema se comporta de forma totalmente determinística. No existe la posibilidad de que una tarea no pueda ser cargada por que no hay más memoria disponible como podría pasar en Linux/Windows. Las tareas tienen una prioridad asignada de ante mano, por ende, una tarea de alta prioridad debida a que realiza un control crítico de seguridad tendrá siempre esa misma prioridad. Esto es sobre todo importante en sistemas de control críticos con requerimientos SIL¹. Sobre todo para

¹Safety Integrity Level (Nivel de Integridad de Seguridad): Nivel relativo de reducción del riesgo que provee una función de seguridad, o bien para especificar el nivel objetivo para la reducción de riesgo.

el sistemas en donde los fallos no son aceptables o tienen un costo demasiado alto [Medina et al., 2016].

OSEK-OS puede optimizar los recursos gracias a que se trata de un sistema estático es su Scheduler. En la configuración del scheduler se indican distintos parámetros como la prioridad, tipo de scheduling, tamaño de la pila, cantidad de activaciones así como otros. Gracias a esto el Scheduler del sistema operativo podrá adaptarse a las necesidades del usuario. Conociendo la cantidad de tareas y sus prioridades se podrán generar las FIFOs para el scheduling. El Scheduler de OSEK utiliza una FIFO por prioridad. El largo de cada FIFO será la suma de las tareas con una prioridad determinada.

5.3.2. Tareas

A diferencia de otros sistemas operativos donde las tareas corren por un tiempo indeterminado hasta ser terminadas, en OSEK-VDX y por lo general en sistemas de tiempo real las taras realizan su cometido y terminan. No se utilizan estructuras como while(1) para mantener la tarea corriendo, ni sleeps para dormir entre activaciones. Sino que, la tarea se inicial, realiza su cometido y termina. Ya sea leer la temperatura de un sensor, recibir un paquete de comunicación, procesar datos de audio, sin importar lo que sea: se comienza, se procesa y se termina.

Para el control de tareas OSEK-OS ofrece las siguientes interfaces:

- **ActivateTask**: activa una tarea.
- **ChainTask**: realiza la combinación de ActivateTask seguido de TerminateTask .
- **TerminateTask**: termina una tarea.

Estado de las tareas

Cada tarea en OSEK-VDX se encuentra siempre en uno de los siguientes 4 estados:

- **running**: la tarea se encuentra corriendo, está utilizando los recursos del procesador en este mismo momento. En cada momento una única tarea puede encontrarse en este estado.
- **ready**: en este estado están todas las tareas que se encuentran esperando los recursos del procesador para poder correr. No se encuentran en el estado running porque una tarea de mayor prioridad se encuentra corriendo.

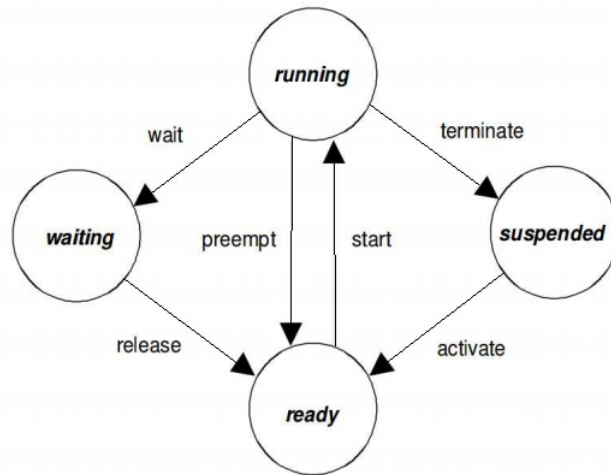


Figura 5.5: Estados de las tareas.

- **waiting:** la tarea se encontraba corriendo y decidió esperar la ocurrencia de un evento, hasta que el evento que espera ocurra la misma se encontrará en el estado waiting.
- **suspended:** es el estado por defecto de las tareas, la tarea esta momentáneamente desactivada.

En la figura (5.5) y (5.6) se muestra un diagrama de los posibles estados en los que se encuentre una tarea del sistema operativo junto con sus transiciones.

En los casos en donde una tarea realmente debe esperar y no puede terminar OSEK-OS provee la utilización de eventos a través del llamado de la interfaz WAITEVENT. Debido a esto, la tareas se pueden clasificar en dos grupos:

1. BASIC: son aquellas tareas que no tengan eventos y por ende carezcan del estado waiting.
2. EXTENDED: son aquellas tareas que tienen eventos y por ende pueden esperar hasta que uno o más eventos ocurran.

Por otro lado en OSEK-OS existen tareas que pueden ser interrumpidas (SCHEDULE = FULL) y otras que no (SCHEDULE = NON).

1. NON PREEMPTIVE: son tareas que no interrumpidas por aquellas de mayor prioridad, salvo que la misma tarea llame a Schedule, pase al estado waiting llamando a WaitEvent o terminen.
2. PREEMTIVE: son tareas que pueden ser interrumpida en cualquier momento cuando se encuentre una tarea de mayor prioridad en la lista ready.

Transición	Estado anterior	Estado futuro	Descripción
activate	suspended	ready	Una nueva tarea es activada y puesta en la lista de ready para correr. Esta transición se puede realizar por ejemplo con las siguientes interfaces: <ul style="list-style-type: none"> • ActivateTask • ChainTask
start	ready	running	Una tarea es llevada al estado running de forma automática cuando es la tarea de mayor prioridad en la lista de <i>ready</i> .
wait	running	waiting	La tarea es llevada a este estado para esperar la ocurrencia de un evento. Esto se puede lograr con la siguiente interfaz: <ul style="list-style-type: none"> • WaitEvent
release	waiting	ready	Al ocurrir el evento que una tarea esperaba la misma es llevada de nuevo al estado <i>ready</i> . Esto se puede realizar con la siguiente interfaz: <ul style="list-style-type: none"> • SetEvent
preempt	running	ready	Una tarea que estaba corriendo es desactivada, esto ocurre cuando una tarea de mayor prioridad se encuentra en la lista de <i>ready</i> y la tarea actual tiene una scheduling police FULL o llama a la siguiente interfaz: <ul style="list-style-type: none"> • Schedule
terminate	running	suspended	La tarea termina su ejecución, esto lo puede llevar a cabo con las siguientes interfaces: <ul style="list-style-type: none"> • ChainTask • TerminateTask

Figura 5.6: Descripción de transiciones.

Capítulo 6

Implementación de UEC sobre CIAA

6.1. Introducción

En los capítulos anteriores se hizo una explicación detallada tanto del funcionamiento de un MCI como de las principales características de la CIAA. Este capítulo pretende hacer una unión entre ambas partes, partiendo de las salidas y entradas de un sistema MCI (sensores de variables físicas e inyectores como actuadores) con las entradas y salidas de la CIAA, por medio del sistema operativo OSEK a ejecutar para lograr el objetivo como implementación de UEC de inyección de combustible.

6.2. Acondicionamiento de señal

En general, a una señal de salida de un sensor de un sistema de medición se la debe procesar de forma adecuada para la siguiente etapa de operación. Por ejemplo, la señal puede ser demasiado pequeña, y en ese caso es necesario amplificarla; podría contener interferencias que se deben eliminar; ser no lineal y requerir su linealización; ser analógica y requerir su digitalización; ser digital y requerir su conversión en analógica; ser un cambio en el valor de la resistencia, y convertirla a un cambio en corriente o tensión; consistir en un cambio de voltaje y convertirla en un cambio de corriente de magnitud adecuada, etcétera.

Adecuación de señal del sensor de rotación

Como hemos visto en el Capítulo 2, la señal de un sensor inductivo (pickup diente o CKP) se utiliza para medir **RPM** y para detectar la posición de los pis-

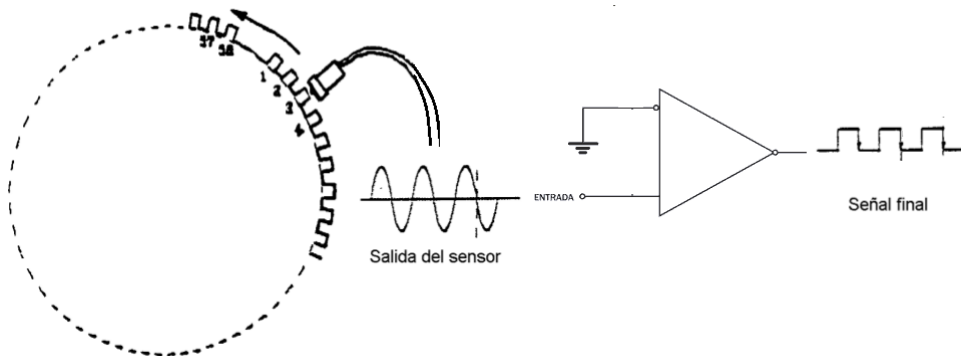


Figura 6.1: Adecuador por comparador.

tones dentro de los cilindros, y así poder sincronizar la inyección en el momento correcto. Esta señal analógica es necesario transformarla en una señal cuadrada para luego utilizarla como entrada digital de interrupción por flanco.

Para transformar la señal del sensor CKP en una señal cuadrada se utiliza un comparador de cruce por cero con realimentación positiva para generar histéresis, también denominado Schmitt Trigger, y evitar que el ruido superpuesto a la señal original causara falsos cambios de estado y arruinara la medición. La parte superior de la figura (6.2) muestra un circuito esquemático de un comparador con histéresis.

Adecuación de señal EGO

La señal de una sonda EGO puede utilizarse a través de una entrada de ADC y ser analizada según su rango de valores (200 mV a 800 mV) o, ya que es una señal de dos estados, puede ser usada como entrada digital luego de haber pasado por un comparador de tensión. A diferencia del comparador de cruce por cero que se utiliza para adecuar la señal CKP, el comparador para la señal EGO necesita una tensión de referencia que se ubique en el valor medio entre 200 mV y los 800 mV de la tensión de salida de la sonda.

$$V_{ref} = \frac{200 + 800}{2} = 500\text{mv} \quad (6.1)$$

Las principales desventajas de usar la sonda EGO como entrada digital son:

- La ECU no podrá detectar una falla (desconexión, o rotura de sonda) debido a que la salida del comparador toma sólo dos valores, y en cambio la señal analógica posee un rango de valores que puede ser analizado.

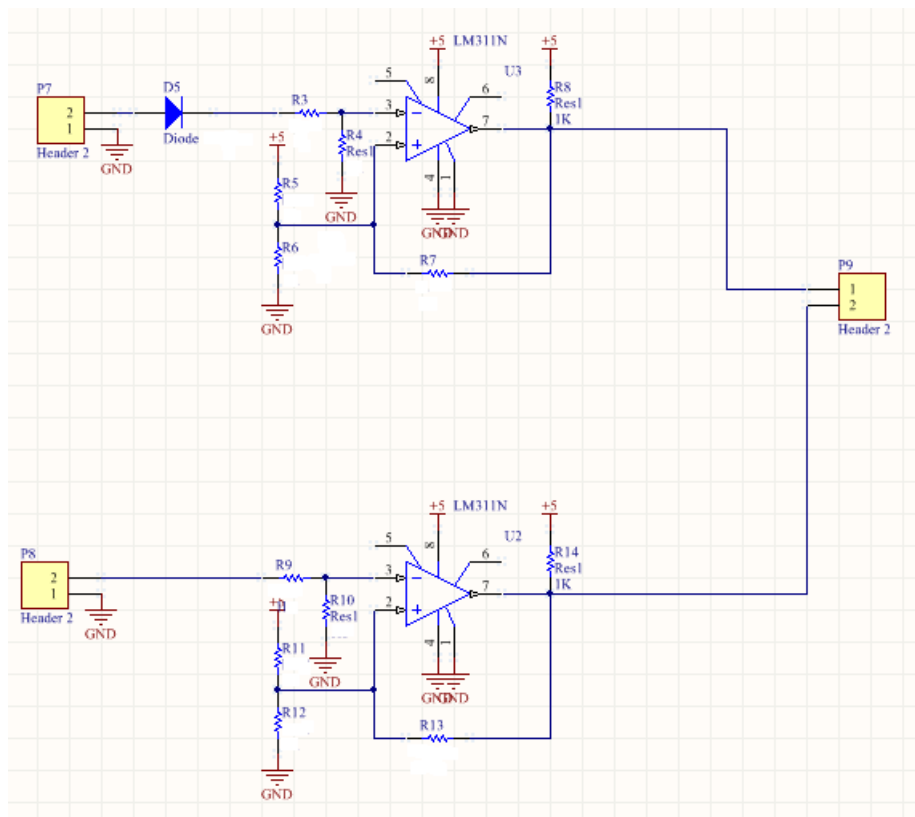


Figura 6.2: Arriba: Adecuador señal CKP.
Abajo: Adecuador señal EGO.

- Si bien la sonda se considera de dos estados, igual posee un comportamiento dinámico lento para pasar de un estado a otro por lo tanto hay presente un importante retardo desde que comienza el cambio de estado hasta que pasa por V_{ref} .

A continuación se enumeran todos los componentes utilizados para los adecuadores de señal:

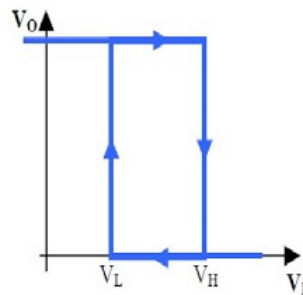


Figura 6.3: Histéresis.

Nombre	Valor
D5	1n5819
R3	39 Ω
R4	10 K Ω
R5	100 K Ω
R6	2,2 K Ω
R7	68 K Ω
R8	1 K Ω
R9	100 Ω
R10	100 K Ω
R11	10 K Ω
R12	1 K Ω
R13	100 K Ω
R14	1 K Ω
A.O.	LM 311 N

Comportamiento de los comparadores

Como se mencionó previamente, los comparadores son circuitos no lineales que sirven para comparar dos señales, una de las cuales generalmente es una tensión de referencia, y así determinar si la tensión de entrada es mayor o menor. A continuación se hace un análisis de las configuraciones de las mallas resistivas de la entrada de tensión de referencia, y de este modo poder determinar el nivel de señal de referencia junto con el rango de histéresis (V_L y V_H) que se muestran en la figura 6.3. La configuración depende sólo del estado de la salida del comparador.

Comparador de señal CKP:

En primer lugar, para obtener los valores de V_H y V_L de la histéresis del ade-

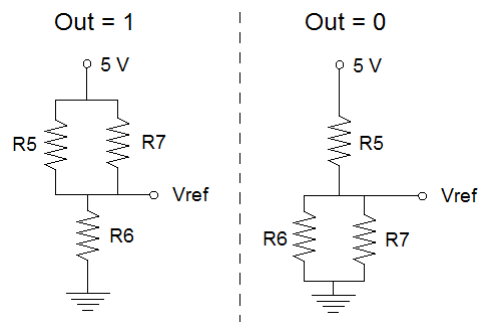


Figura 6.4: Malla resistiva según el estado de salida del comparador de señal CKP.

cuador de señal CKP hay que separar el análisis dependiendo del estado de la salida del comparador. En la figura (6.4) se muestra cómo se configura la malla resistiva que genera la tensión de referencia (V_{ref}) dependiendo de la salida del comparador.

$$\begin{aligned}
 Out = 1 &\Rightarrow V_{ref} = V_H \\
 V_H &= \frac{R_6}{R_6 + R_5 // R_7} \cdot 5V \\
 V_H &= 258mV
 \end{aligned}$$

$$\begin{aligned}
 Out = 0 &\Rightarrow V_{ref} = V_L \\
 V_L &= \frac{R_6 // R_7}{R_6 // R_7 + R_5} \cdot 5V \\
 V_L &= 104mV
 \end{aligned}$$

Comparador de señal de sonda lambda:

El análisis para obtener los valores de V_H y V_L del adecuador de señal de sonda lambda es el mismo que se hizo para el adecuador de señal CKP.

$$\begin{aligned}
 Out = 1 &\Rightarrow V_{ref} = V_H \\
 V_H &= \frac{R_{12}}{R_{12} + R_{11} // R_{13}} \cdot 5V \\
 V_H &= 496mV
 \end{aligned}$$

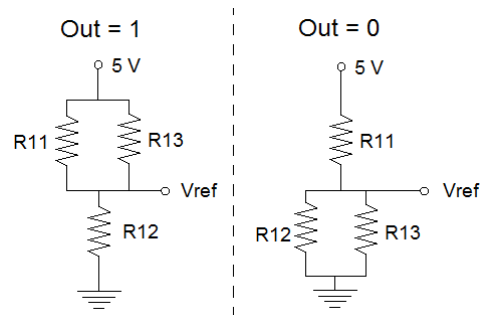


Figura 6.5: Malla resistiva según el estado de salida del comparador de sonda lambda.

$$\begin{aligned}
 \text{Out} = 0 &\Rightarrow V_{ref} = VL \\
 VL &= \frac{R12//R13}{R12//R13 + R11} \cdot 5V \\
 VL &= 450mV
 \end{aligned}$$

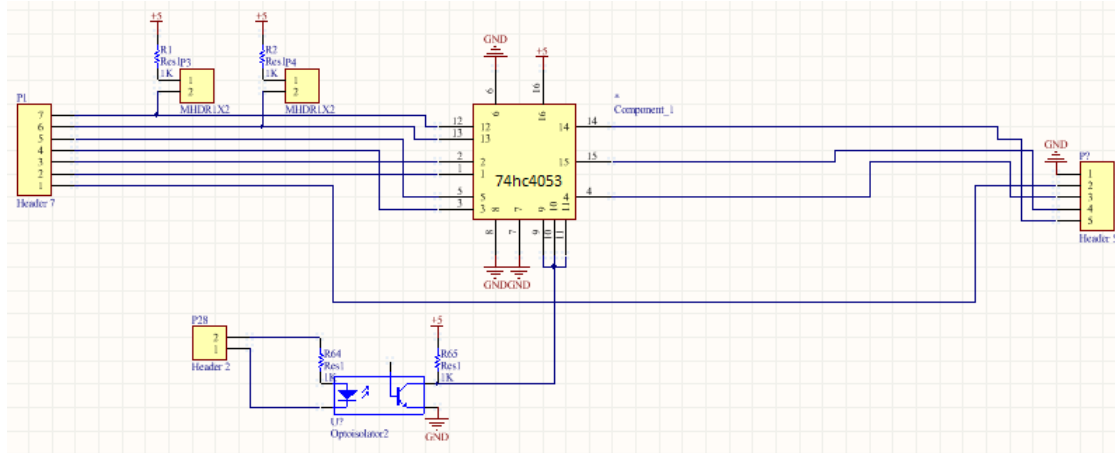


Figura 6.6: Multiplexor de entradas analógicas.

Señales analógicas

En el Capítulo 3 se nombraron todos los sensores que intervienen en el cálculo del control de inyección. A continuación, se enumeran nuevamente detallando los rangos de tensión y cantidad, de forma de saber cuantas entradas analógicas se necesitan.

Señal	Cantidad	Rango de tension
Presión de múltiple de admisión	1	0 a 5 V
Temperatura de aire de admisión	1	0 a 5 V
Temperatura de líquido refrigerante	1	0 a 5 V
Posición de mariposa	2	0 a 5 V
Posición del pedal de acelerador	2	0 a 5 V
Total:	7	

El número total de señales necesarias por el sistema, que deben ser digitalizadas es 7 en este caso, y esto presenta un problema si uno tiene en cuenta que la CIAA posee solo 4 canales de entrada analógica. Por esta razón se ve la necesidad de expandir la cantidad de entradas mediante un multiplexor. Se opta por el multiplexor 74hc4053 (Triple 2-channel analog multiplexer/demultiplexer) que posee 3 canales multiplexados en 2 canales cada uno, y que ingresan a los canales de entrada CH0, CH1 y CH2 de la CIAA, y dejando CH3 como entrada directa de la señal de presión del múltiple de admisión.

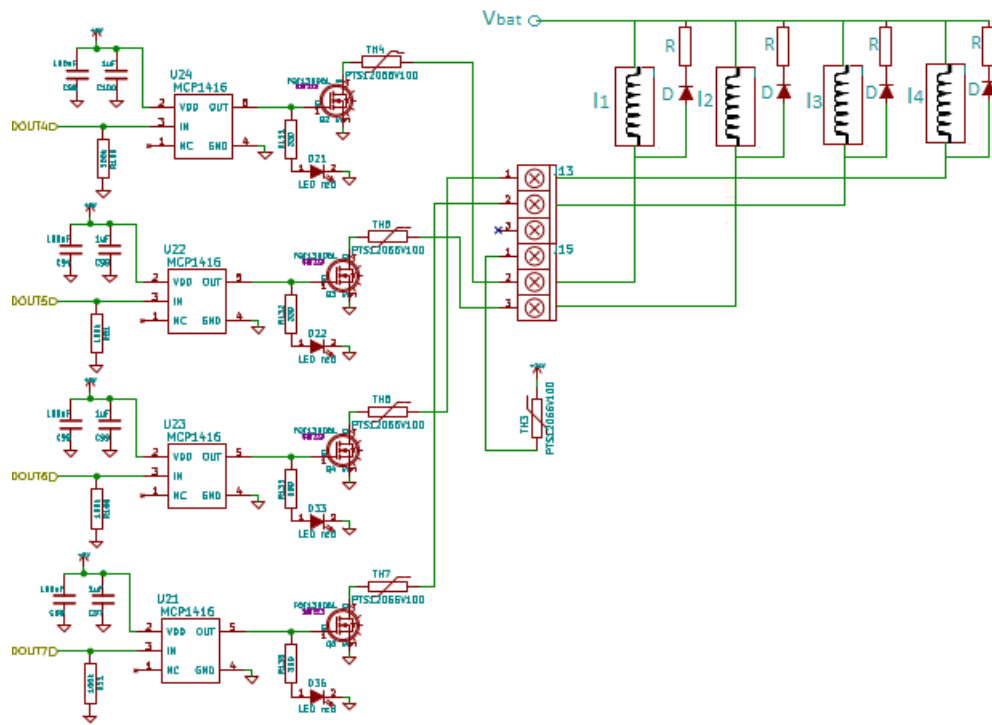


Figura 6.7: Conexión de los Inyectores.

Conexión de inyectores

Dentro de las características del HW de la CIAA, se nombró que posee 4 salidas digitales open-drain compuestas por MOSFET de canal N (FQT13N06L) que pueden soportar hasta 2.5 A de corriente de drain (Corriente de inyector $\approx 1A$) y hasta 60 V de tensión drain-source. Estas características son suficientes para que los MOSFET puedan ser utilizados para activar los inyectores y así controlar el flujo de combustible. La figura (6.7) muestra la conexión esquemática de los inyectores al DRAIN de los MOSFET.

Cabe destacar que es necesario conectar en paralelo a los inyectores un diodo en serie con una resistencia. Esta conexión cumple la función de desenergizar la bobina del inyector cuando el MOSFET pasa al estado off, y así reducir al mínimo el tiempo que tarda en cerrarse el inyector.

6.2.1. Interfaz gráfica o HMI

El principal uso de una interfaz gráfica, consiste en proporcionar un entorno visual sencillo para permitir la comunicación con el sistema operativo de una máquina, en este caso la comunicación con la CIAA. Es importante contar con

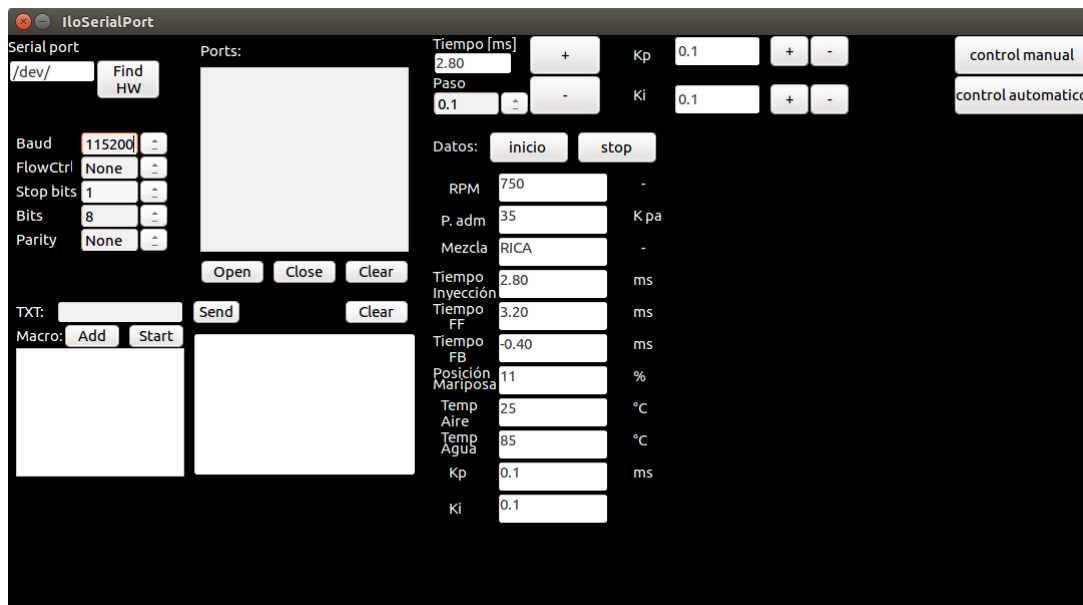


Figura 6.8: Interfaz gráfica.

una HMI para poder leer e interpretar las variables físicas del motor como RPM, temperatura, tiempo de inyección (total, FF, FB), lectura de sonda (mezcla rica o mezcla pobre), etc y además poder modificar parámetros de entrada tales como las constantes del controlador PI o modificar de forma manual las salidas de la CIAA. El diseño de la HMI se desarrolló en lenguaje visual de linux llamado **GAMBAS**. Gambas es un lenguaje de programación libre derivado de BASIC (de ahí que Gambas quiere decir Gambas Almost Means Basic). Se distribuye con licencia GNU GPL. Cabe destacar que presenta ciertas similitudes con Java ya que en la ejecución de cualquier aplicación, se requiere un conjunto de librerías intérprete previamente instaladas (Gambas Runtime) que entiendan el bytecode de las aplicaciones desarrolladas y lo conviertan en código ejecutable por el computador. La interfaz diseñada no sólo permite mostrar al usuario los puntos de trabajo del motor (RPM, temperatura, presión, tiempo de inyección) sino que también permite modificar y ajustar los valores de Kp y Ki, y además permite un control manual del caudal de combustible para realizar pruebas y mejorar el comportamiento del mismo sistema.

6.2.2. Descripción de las tareas

A continuación se muestra una tabla con los nombres de las tareas, sus prioridades y una descripción general de la función que cumple y como se activa.

Tarea	Prioridad	Descripción
InitTask	2	Primer tarea que se ejecuta. Inicializa los dispositivos de la CIAA (ADC, entradas digitales, etc.)
SerialEchoTask	1	Queda a la espera de entrada de algún carácter del bus serie. Activada desde el inicio.
WriteTask	2	Envía datos al bus serie. Se activa periódicamente si el usuario lo solicita.
SensoresTask	7	Lee y obtiene los valores de los sensores analógicos utilizando ADC. Se activa periódicamente.
ContadorTask	10	Sincroniza la CIAA con el motor. Calcula la posición de los pistones y las RPM. Se activa por interrupción generada por el sensor CKP.
AvanceInyeccTask	10	Calcula el momento en el que la inyección debe comenzar en cada uno de los cilindros. Se activa por ContadorTask.
Inyeccion_1Task	9	Activa y desactiva el inyector $N^{\circ}1$ Se activa por AvanceInyeccTask y se desactiva por timer0.
Inyeccion_2Task	9	Activa y desactiva el inyector $N^{\circ}2$ Se activa por AvanceInyeccTask y se desactiva por timer1.
Inyeccion_3Task	9	Activa y desactiva el inyector $N^{\circ}3$ Se activa por AvanceInyeccTask y se desactiva por timer2.
Inyeccion_4Task	9	Activa y desactiva el inyector $N^{\circ}4$ Se activa por AvanceInyeccTask y se desactiva por timer3.
Controlador_FeedforwardTask	5	Calcula de forma anticipativa el tiempo de inyección. Se activa periódicamente por alarma
Controlador_FeedbackTask	5	Corrige el tiempo de inyección en base al estado de la sonda lambda Se activa periódicamente siempre y cuando la tarea Controlador_FeedforwardTask no requiera modificar el tiempo de inyección.

Capítulo 7

Resultados experimentales

En este Capítulo se muestran las mediciones realizadas sobre la señal de la sonda EGO bajo diferentes configuraciones de K_p y K_i , y un posterior análisis. El osciloscopio fue configurado en 200 mV/div y una base de tiempo de 5 s/div.

7.1. Medición de sonda EGO bajo el control de ECU SIM 32

La medición que se muestra en la figura (7.1) corresponde a la señal de la sonda lambda cuando la inyección se encuentra bajo el control de la ECU que viene de fábrica (marca **siemens** modelo **sim 32**). En esta medición se determina que el tiempo en el que la mezcla permanece en estado rico es casi el mismo tiempo en el que la mezcla permanece en estado pobre.

El objetivo de esta medición es obtener una muestra del comportamiento de la mezcla, y así tener un parámetro para comparar con el sistema de control adoptado.

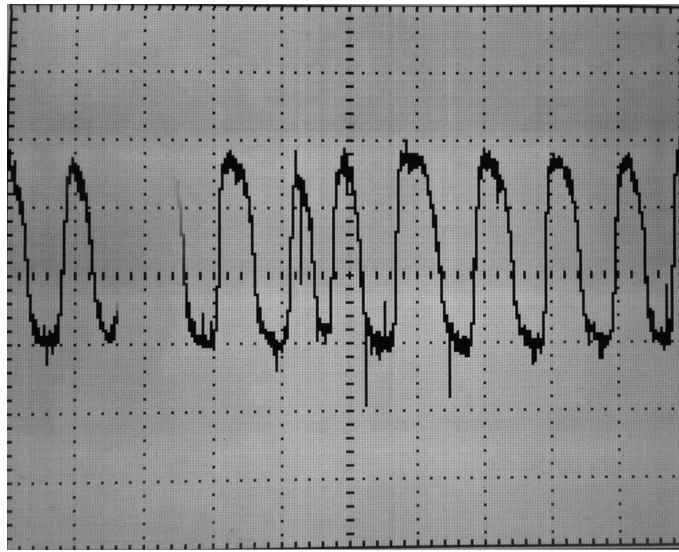


Figura 7.1: Medición de sonda EGO.

Mezcla	Tiempo mínimo	Tiempo máximo	Promedio
Rica	1,5 seg	3 seg	2,31 seg
Pobre	1,5 seg	3 seg	2,28 seg

7.2. Medición de sonda EGO bajo el control de CIAA

En esta sección se muestran las pruebas del control de inyección desarrollado en los capítulos anteriores. Todos estos ensayos se hacen implementando distintas constantes de control K_p y K_i , y lo que se busca es determinar las constantes más adecuadas desde el punto de vista tanto del control de dosado, como del correcto funcionamiento del motor. Hay que recordar que un mal funcionamiento del control de mezcla no solo perjudica el rendimiento del catalizador, sino que también puede generar importantes variaciones de potencia ocasionando un comportamiento irregular o inestable del régimen de giro del motor.

En cada uno de los ensayos se pueden determinar los ciclos en los que la mezcla permanece en estado rico o en estado pobre, y así poder determinar los tiempos de cada estado y si se llega a un equilibrio entra cada uno.

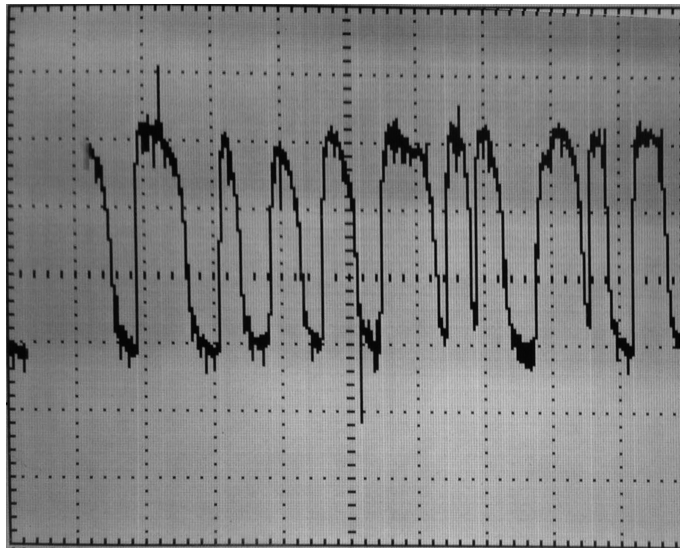


Figura 7.2: Medición de sonda EGO.

Mezcla	Tiempo mínimo	Tiempo máximo	Promedio
Rica	1,2 seg	4 seg	2,5 seg
Pobre	0,5 seg	2,5 seg	1,56 seg

Kp :	0,1
Ki :	0,1

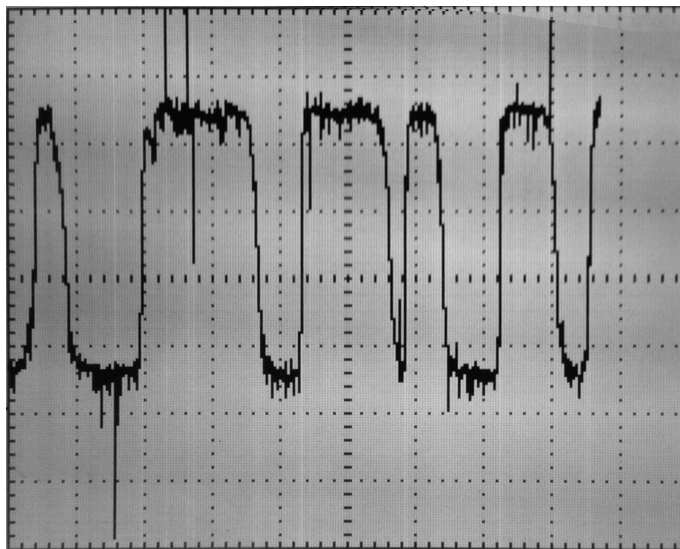


Figura 7.3: Medición de sonda EGO.

Mezcla	Tiempo mínimo	Tiempo máximo	Promedio
Rica	2,1 seg	8,1 seg	4,9 seg
Pobre	1 seg	5,5 seg	3,26 seg

Kp :	0,1
Ki :	0,02

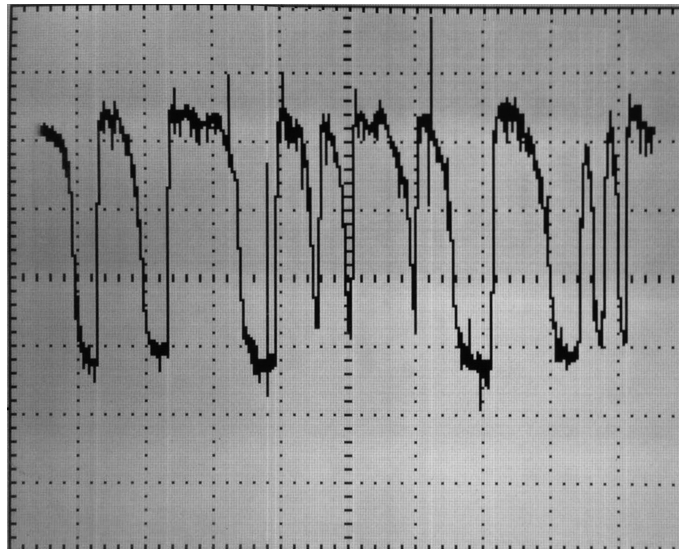


Figura 7.4: Medición de sonda EGO.

Mezcla	Tiempo mínimo	Tiempo máximo	Promedio
Rica	1 seg	5,2 seg	2,77 seg
Pobre	0,5 seg	3 seg	1,45 seg

Kp :	0,5
Ki :	0,11

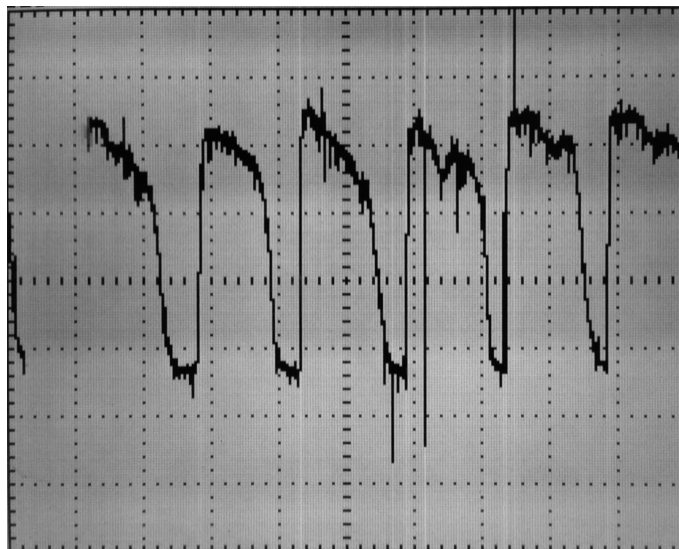


Figura 7.5: Medición de sonda EGO.

Mezcla	Tiempo mínimo	Tiempo máximo	Promedio
Rica	5,1 seg	5,7 seg	5,45 seg
Pobre	1,5 seg	3 seg	2,52 seg

Kp :	0,05
Ki :	0,15

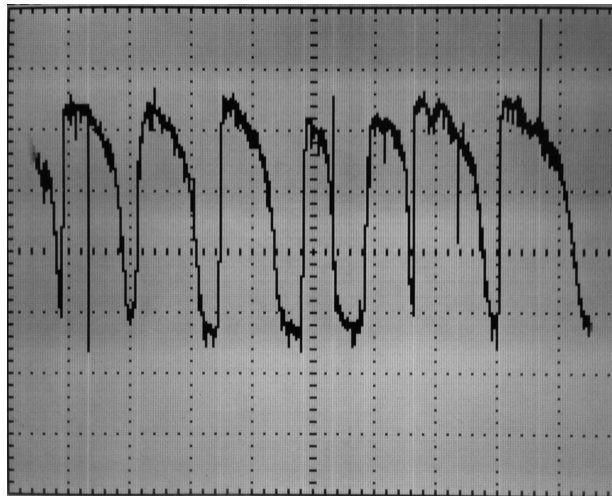


Figura 7.6: Medición de sonda EGO.

Mezcla	Tiempo mínimo	Tiempo máximo	Promedio	Kp	Ki
Rica	2,5 seg	5,7 seg	4,22 seg	0,05	0,1
Pobre	0,5 seg	2,3 seg	1,58 seg		

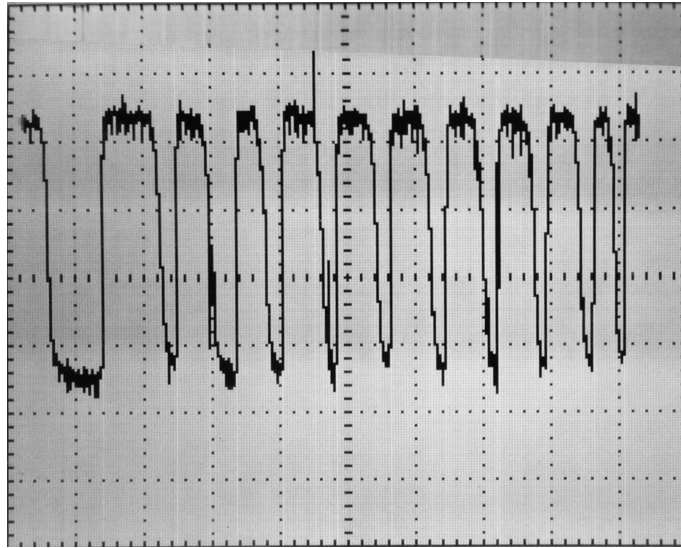


Figura 7.7: Medición de sonda EGO.

Mezcla	Tiempo mínimo	Tiempo máximo	Promedio	Kp	Ki
Rica	2 seg	4,1 seg	2,9	0	0,1
Pobre	1 seg	4 seg	1,37 seg		

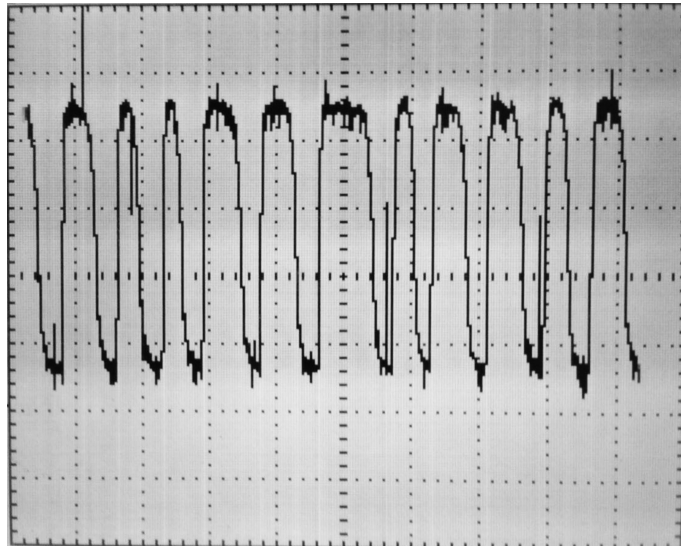


Figura 7.8: Medición de sonda EGO.

Mezcla	Tiempo mínimo	Tiempo máximo	Promedio	Kp	Ki
Rica	2 seg	2,8 seg	2,37 seg	0	0,02
Pobre	1,5 seg	2 seg	1,62 seg		

En cada uno de los ensayos se puede observar como es el comportamiento de la mezcla, y el transitorio del control hasta que queda oscilando dentro de un entorno estable o hasta que llega al punto en el que la cantidad de combustible sea insuficiente para mantener el régimen de giro.

La insuficiencia de combustible tiene consecuencias dependiendo si esta es leve o grave. En el caso que sea leve sólo se produce variaciones no muy significativas en el régimen de giro generando fluctuaciones en la presión de admisión, estas fluctuaciones de la presión modifican directamente la salida del controlador FF y todo el ciclo de corrección de inyección vuelve a comenzar. Si la falta de combustible es grave se podría llegar al punto en el cual la energía liberada en la combustión sea insuficiente para mantener el motor funcionando (caso menos deseado).

En base a los distintos ensayos se puede observar que los resultados más parecidos entre la UEC desarrollada y la UEC original se logran con valores de $Kp = 0$ y $Ki \leq 0,1$.

Capítulo 8

Conclusiones y trabajo futuro

8.1. Conclusiones

El desarrollo de una UEC de inyección comienza con la comprensión del funcionamiento de un motor de combustión interna. Esta comprensión no solo involucra el funcionamiento mecánico, sino que hay que relacionarlo con un modelo matemático que lo describa en todo aspecto.

Otro punto que ha tener en cuenta en el desarrollo es la importancia de mantener una relación estequiométrica en la mezcla, ya que está relacionado directamente con el consumo y el rendimiento del combustible. Por otro lado está la importancia del impacto ambiental que éste genera y las leyes que lo regula.

Para la implementación del sistema se optó por utilizar un control del tipo feedforward + feedback. El control feedforward es un control anticipativo que sólo tiene en cuenta variables de entrada, en cambio el control feedback es del tipo correctivo que sólo tiene en cuenta la salida, y juntos se complementan en un solo sistema anticipativo y correctivo a la vez.

El principio de funcionamiento del control feedforward consta en estimar el caudal de aire que ingresa al motor y luego calcular la cantidad de combustible necesaria. Debido a la complejidad de modelar un motor de combustión interna sumado a los importantes retardos y la alinealidad en la realimentación, se consideró que el controlador más adecuado para el sistema feedback fue el algoritmo PID con resultados positivos.

Uno de los objetivos planteados fue que la UEC sea nacional y abierta, es por esto que la CIAA cumple con el requisito debido a su procedencia nacional, de bajo costo y además la escasa necesidad de agregar electrónica adicional para su implementación. La CIAA cumple con estándares de seguridad en software con su

sistema operativo diseñado principalmente para la industria automotriz.

El sistema desarrollado fue ensayado y puesto a prueba sobre un motor en marcha bajo condiciones reales, y los resultados obtenidos fueron buenos pero con la necesidad de complementarlo para llegar a un producto que se pueda insertar en el mercado automotriz.

8.2. Trabajo futuro

En este apartado se enuncia un serie de temas que pueden complementar o mejorar el trabajo que se realizó hasta este punto.

A continuación se enumeran algunas propuestas de las mejoras que pueden contribuir al el sistema de inyección basado en la CIAA, y así poder lograr una UEC abierta que pueda reemplazar a las ya existentes en el mercado.

- Extender el sistema de control de inyección a múltiples puntos de funcionamiento. Para lograr este objetivo es necesario trabajar sobre un banco de pruebas en el que se pueda introducir carga al motor en forma de torque y así poder lograr un análisis bajo distintos puntos de trabajo. El principal objetivo es conseguir un mapa o tabla estática que contenga las constantes de control K_p y K_i óptimas en función al grado de carga.
- Mejorar la precisión del controlador feedforward planteado, y por otro lado diseñarlo para que sea a prueba de fallas.
- Proponer y desarrollar un sistema de control de inyección distinto al planteado.
- Complementar las funciones que faltan para que la CIAA funcione como una UEC:
 - Desarrollar el sistema de ignición de la mezcla controlando el avance de encendido de las bujías.
 - Controlar la mariposa motorizada en función a la posición del pedal de aceleración.
 - Desarrollar un sistema de comunicación CAN para el control de dispositivos del automóvil (climatizador, cierre centralizado, techo solar, asientos eléctricos, etc).

- Desarrollar una HMI que permita realizar gráficos de los diferentes parámetros de funcionamiento del motor:
 - RPM.
 - Presión.
 - Temperatura.
 - Tiempo de inyección.
 - Posición de mariposa.
 - Posición de pedal de aceleración.

- Realizar un sistema de auto guardado en memoria de códigos de fallas.

Apéndice A

Código de programa

A.1. Código fuente OSEK OS

```
1
2 /*===== [inclusions
   ]=====*/
3 #include "chip.h"
4 #include "os.h" /* <= operating system header
   */
5 #include "ciaaPOSIX_stdio.h" /* <= device handler header
   */
6 #include "ciaaPOSIX_stdlib.h"
7 #include "ciaaPOSIX_string.h" /* <= string header */
8 #include "ciaak.h" /* <= ciaa kernel header */
9 #include "ciaaGPIOINT.h"
10 #include "inyeccion4.h" /* <= own header */
11
12
13 /** \brief File descriptor for digital output ports
14 *
15 * Device path /dev/dio/out/0
16 */
17 static int32_t fd_out;
18 static int32_t fd_in;
19 static int32_t fd_adc_0, fd_adc_1;
20 uint8_t outputs=0;
21 uint16_t salida;
22 TaskStateType TaskStatel1;
23 /** \brief File descriptor of the USB uart
```



```

24  *
25  * Device path /dev/serial/uart/1
26  */
27      static int32_t fd_uart1;
28  /*===== [ variables de TASK(ContdorTask)
29      ]=====*/
29  volatile uint32_t * DWT_CTRL = (uint32_t *)0xE0001000;
30  volatile uint32_t * DWT_CYCCNT = (uint32_t *)0xE0001004;
31  uint32_t Ciclos;           //ciclos entre diente y
32  uint8_t N_diente=0;       //Numero de diente: de 1 a
33  58
33  float T_diente=0;         //Tiempo de un
34  diente
34  float T_vuelta;          //Tiempo de una vuelta
35  float RPM=750;           //Revoluciones por minuto
36  del motor
36  /*===== [ constantes del micro
37      ]=====*/
37  const float F_clok=204000; // Frecuencia del klok en KHz
38  const uint16_t NADC=1023; // Cantidad de Valores
39  posibles del adc
39  uint8_t Vref=10;         //tension de referencia del
40  ADC (10V en un divisor resistivo de 15K ==3.3v)
40  /*===== [ variables de TASK(SensoresTask)
41      ]=====*/
41  float Pos_Mar;           //Posicion de la mariposa: de 0 a
42  90
42  float Pr_Ad=50;         // Presion de admision en
43  Kpa
43  float T_aireK=300; // Temperatura del aire de admision
44  kelvin
44  float T_aire=15; // Temperatura del aire de admision C
45  float T_agua=90;        // Temperatura de
46  agua de radiador
46  uint8_t Pos1_pedal, Pos2_pedal;
47  uint8_t Pos1_mariposa, Pos2_mariposa;
48
49  /*===== [ variable of task(Deteccion_faseTask)
50      ]=====*/
50  uint8_t Fase=2;         //Fase del Motor 0 o 1
51  /*===== [ constantes fisicas
52      ]=====*/

```

```

52 const float Vol=1.149; // volumen cilindrada [litros]
53 const float G_i=0.002333; // ganancia de inyector en [kg/
    s]
54 const uint32_t R=287; // R constante de gas ideal [kJ/kg]
55 const float AFR=14.6; // Relacion aire combustible
    deseada
56 const uint32_t RPM_corte=6000; //Revoluciones maximas
    permitidas
57 const uint32_t RPM_on=5000; // Revolucion de activacion de
    inyeccion luego de corte
58
59 /* Presion de admision [Kpa] %
    10,3|19,9|29,9|39,8|50,2|60,1|70,1|80.0|90.0 RPM*/
60 const float Rend[18][9]= {
61 {75.5,75.0,74.5,74.5,74.0,70.5,70.0,71.5,71.5}, //750
62 {75.0,75.5,78.9,75.0,74.0,73.5,72.5,71.5,71.5}, //1000
63 {77.0,77.5,79.0,76.5,75.5,74.5,74.0,73.0,73.0}, //1125
64 {77.5,79.5,81.0,77.5,76.5,75.5,74.0,73.0,73.0}, //1250
65 {80.0,84.0,84.0,79.0,77.5,76.0,74.0,73.0,74.5}, //1500
66 {80.0,83.0,82.0,80.0,78.0,77.0,75.5,74.5,74.5}, //1750
67 {79.5,82.0,84.0,83.0,81.0,79.5,79.0,78.0,80.5}, //2000
68 {78.5,82.0,86.0,87.0,85.0,84.0,82.0,81.0,81.0}, //2260
69 {78.0,82.0,88.5,88.0,86.5,85.5,83.0,82.0,81.0}, //2500
70 {77.5,82.0,89.5,88.0,89.0,83.5,81.5,80.0,72.5}, //2750
71 {75.5,81.5,89.0,87.0,91.5,81.0,79.0,79.0,75.0}, //3000
72 {68.0,79.5,90.5,90.0,91.5,85.0,84.0,81.5,76.0}, //3500
73 {66.0,78.0,90.0,92.0,92.0,89.0,86.5,83.5,80.0}, //4000
74 {73.5,77.5,85.5,90.0,91.0,88.5,87.0,84.0,80.0}, //4500
75 {77.5,78.5,85.5,89.5,91.0,88.0,85.0,81.0,78.0}, //5000
76 {84.0,83.5,84.5,88.0,91.0,87.0,83.0,79.5,76.5}, //5500
77 {84.0,83.5,84.5,87.5,91.0,87.0,84.0,79.0,76.5}, //6000
78 {84.0,83.5,84.5,87.5,91.0,87.5,84.5,79.5,76.5}}; //6500*/
79 /*===== [ variables de conrol FF: TASK(
    Controlador_FeedforwardTask)
    ]=====*/
80 float Ti_FF=2; //Tiempo de inyeccion Feedforward [
    ms];
81 /*===== [ variables de conrol FB: TASK(
    Controlador_FeedbackTask)
    ]=====*/
82 float Ti_FB=0; //Tiempo de inyeccion Feedback [ms
    ];
83 float K_I=0.1;

```

```

84 float Ki=0.001;
85 float K_P=0.1;
86 float e_n=0;
87 float e_anterior=0;
88 /*===== [ variable de tiempo de inyeccion
      ]=====*/
89 float T_inyeccion=4;// Tiempo de inyeccion en mS
90 uint32_t T_i=4000;// Tiempo de inyeccion en uS
91 uint32_t T_i2=5000;// Tiempo de inyeccion en uS
92 float Ti_FBanterior;
93 uint8_t Estado1, Estado2, Estado3, Estado4;
94 uint8_t Estado_corte=0;
95 float tiempo_us, tiempo;
96
97 static uint8_t x1 = 0;
98 static uint8_t x2 = 0;
99 static uint8_t x3 = 0;
100 static uint8_t x4 = 0;
101
102
103 static uint8_t num1 = 48;
104 static uint8_t num2 = 49;
105 static uint8_t num3 = 50;
106 static uint8_t num4 = 51;
107
108 static uint8_t num21 = 48;
109 static uint8_t num22 = 49;
110 static uint8_t num23 = 50;
111 static uint8_t num24 = 51;
112 char mez[5]={'R','I','C','A',' '};;
113 const char RICA[5]={'R','I','C','A'};
114 const char POBRE[5]={'P','O','B','R','E'};
115 uint8_t alarmFF=0;
116 uint8_t alarmFB =0;
117 float TiFF, TiFB;
118
119 int main(void)
120 {
121     /* Starts the operating system in the Application Mode 1
        */
122     /* This example has only one Application Mode */
123     StartOS(AppModel);
124

```

```
125     /* StartOs shall never returns, but to avoid compiler
126        warnings or errors
127        * 0 is returned */
128     return 0;
129 }
130 /** \brief Error Hook function
131     *
132     * This fucntion is called from the os if an os interface (
133     * API) returns an
134     * error. Is for debugging proposes. If called this
135     * function triggers a
136     * ShutdownOs which ends in a while(1).
137     *
138     * The values:
139     *     OSErrorGetServiceId
140     *     OSErrorGetParam1
141     *     OSErrorGetParam2
142     *     OSErrorGetParam3
143     *     OSErrorGetRet
144     *
145     * will provide you the interface, the input parameters and
146     * the returned value.
147     * For more details see the OSEK specification:
148     * http://portal.osek-vdx.org/files/pdf/specs/os223.pdf
149     *
150     */
151 void ErrorHook(void)
152 {
153     TaskType task;
154     TaskType taskID;
155     GetTaskID(&task);
156     ciaoPOSIX_printf("ErrorHook was called\n");
157     ciaoPOSIX_printf("Service: %d, P1: %d, P2: %d, P3: %d, RET:
158         %d\n", OSErrorGetServiceId(), OSErrorGetParam1(),
159         OSErrorGetParam2(), OSErrorGetParam3(), OSErrorGetRet())
160     ;
161     ShutdownOS(0);
162 }
163
164 /** \brief Application IRQ Handler Callback for GPIO */
165 void appIrqHandler(void)
166 {
```

```

161 Ciclos=*DWT_CYCCNT;
162 *DWT_CTRL |= 1;
163 *DWT_CYCCNT=0;
164 ActivateTask(ContadorTask);
165 }
166
167 /** \brief Initial task
168  *
169  * This task is started automatically in the application
170  mode 1.
171  */
172 TASK(InitTask)
173 {
174     /* init CIAA kernel and devices */
175     ciaak_start();
176     /* init CIAA Timers */
177     T_Inyec1_Tim0Init();
178     T_Inyec2_Tim1Init();
179     T_Inyec3_Tim2Init();
180     T_Inyec4_Tim3Init();
181     /* print message (only on x86) */
182     ciaaPOSIX_printf("Init Task...\n");
183     /* open CIAA digital inputs */
184     fd_in = ciaaPOSIX_open("/dev/dio/in/0", ciaaPOSIX_O_RDONLY)
185     ;
186     /* open CIAA digital outputs */
187     fd_out = ciaaPOSIX_open("/dev/dio/out/0", ciaaPOSIX_O_RDWR)
188     ;
189     /* Enable interrupt with GPIO DI0*/
190     ciaaGpioIntEnable(0, appIrqHandler); //Abilita interrupcion
191     por GPIO de entrada digital 0
192     /* open UART connected to USB bridge (FT2232) */
193     fd_uart1 = ciaaPOSIX_open("/dev/serial/uart/1",
194     ciaaPOSIX_O_RDWR);
195     /* change baud rate for uart usb */
196     ciaaPOSIX_ioctl(fd_uart1, ciaaPOSIX_IOCTL_SET_BAUDRATE, (
197     void *)ciaaBAUDRATE_115200);
198     /* change FIFO TRIGGER LEVEL for uart usb */
199     ciaaPOSIX_ioctl(fd_uart1,
200     ciaaPOSIX_IOCTL_SET_FIFO_TRIGGER_LEVEL, (void *)
201     ciaaFIFO_TRIGGER_LEVEL3);
202     /* open CIAA ADC0 */

```

```

195 fd_adc_0 = ciaoPOSIX_open("/dev/serial/aio/in/0",
    ciaoPOSIX_O_RDONLY);
196 ciaoPOSIX_ioctl(fd_adc_0, ciaoPOSIX_IOCTL_SET_SAMPLE_RATE,
    100000);
197 ciaoPOSIX_ioctl( fd_adc_0 , ciaoPOSIX_IOCTL_SET_RESOLUTION,
    ciaoRESOLUTION_10BITS);
198 ciaoPOSIX_ioctl(fd_adc_0, ciaoPOSIX_IOCTL_SET_CHANNEL,
    ciaoCHANNEL_0);
199 /* open CIAA ADC1 */
200 fd_adc_1 = ciaoPOSIX_open("/dev/serial/aio/in/1",
    ciaoPOSIX_O_RDONLY);
201 ciaoPOSIX_ioctl(fd_adc_1, ciaoPOSIX_IOCTL_SET_SAMPLE_RATE,
    100000);
202 ciaoPOSIX_ioctl( fd_adc_1, ciaoPOSIX_IOCTL_SET_RESOLUTION,
    ciaoRESOLUTION_10BITS);
203 ciaoPOSIX_ioctl(fd_adc_1, ciaoPOSIX_IOCTL_SET_CHANNEL,
    ciaoCHANNEL_3);
204 /*SET Alarms*/
205 SetRelAlarm(ActivateFaseTask, 100, 5);
206 ActivateTask(SerialEchoTask);
207 SetRelAlarm(ActivateControladorFeedforwardTask, 102, 50);
208 alarmFF=1;
209 SetRelAlarm(ActivateControladorFeedbackTask, 1000, 20);
210 alarmFB=1;
211 Ki=K_I*0.02;
212 /* terminate task */
213 TerminateTask();
214 }
215 TASK(SerialEchoTask)
216 {
217 int8_t buf[16],buf2[16]; /* buffer for uart operation
    */
218 uint8_t i_n=0; /* to store outputs status
    */
219 int32_t ret; /* return value variable for posix calls
    */
220 char C_ON[16] = "C_ON\r\n\0";
221 char C_OFF[16] = "C_OFF\r\n\0";
222 char DataON[16] = "DataON\r\n\0";
223 char DataOFF[16] = "DataOFF\r\n\0";
224 float tiempo_us, tiempo;
225 static uint8_t alarmD=0;
226 static uint8_t c_manual;

```

```
227 ciaaPOSIX_printf("SerialEchoTask...\n");
228 /* send a message to the world :) */
229 char message[] = "Hi! :) \nSerialEchoTask: Waiting for
    characters...\n";
230 ciaaPOSIX_write(fd_uart1, message, ciaaPOSIX_strlen(message
    ));
231
232 while(1)
233 {
234 /* wait for any character ... */
235 ret = ciaaPOSIX_read(fd_uart1, buf, 20);
236 if(ret > 0)
237 {
238 GetResource(RES1);
239 for (i_n=0; i_n<=19; i_n++)
240 {
241 buf2[ i_n]=buf[ i_n];
242 }
243 for ( i_n=ret ; i_n<=19; i_n++)
244 {
245 buf2[ i_n]=0;
246 }
247 if(ciaaPOSIX_strcmp(buf2,C_ON) == 0)
248 {
249 if (alarmFF == 1)
250 {
251 CancelAlarm(ActivateControladorFeedforwardTask);
252 alarmFF=0;
253 }
254 if (alarmFB == 1)
255 {
256 CancelAlarm(ActivateControladorFeedbackTask);
257 alarmFB=0;
258 }
259 c_manual=1;
260 }
261 if(ciaaPOSIX_strcmp(buf2,C_OFF) == 0)
262 {
263 if (alarmFF == 0)
264 {
265 SetRelAlarm(ActivateControladorFeedforwardTask, 102, 50);
266 alarmFF=1;
267 }
```

```
268 if (alarmFB == 0){
269   SetRelAlarm(ActivateControladorFeedbackTask, 1000, 20);
270   alarmFB=1;
271 }
272 c_manual=0;
273 }
274 if (c_manual==1)
275 {
276   if ((buf2[0]=='T') && (buf2[1]=='I'))
277   {
278     tiempo_us=(buf2[2]-48)*1000 + (buf2[3]-48)*100 + (buf2
279       [4]-48)*10 + buf2[5]-48;
280     tiempo=tiempo_us/(float)1000;
281     T_i=tiempo_us;
282     T_inyeccion=tiempo;
283   }
284   if ((buf2[0]=='K') && (buf2[1]=='P'))
285   {
286     K_P=(buf2[2]-48)*0.1 + (buf2[3]-48)*0.01;
287   }
288   if ((buf2[0]=='K') && (buf2[1]=='I'))
289   {
290     K_I=(buf2[2]-48)*0.1 + (buf2[3]-48)*0.01;
291     Ki=K_I*0.02;
292   }
293   if((ciaaPOSIX_strcmp(buf2,DataON) == 0)&&(alarmD==0))
294   {
295     SetRelAlarm(ActivateWriteTask, 700, 0);
296     alarmD=1;
297   }
298   if((ciaaPOSIX_strcmp(buf2,DataOFF) == 0)&&(alarmD==1))
299   {
300     CancelAlarm(ActivateWriteTask);
301     alarmD=0;
302   }
303   ReleaseResource (RES1);
304 }
305 }
306 }
307
308 TASK(WriteTask)
309 {
```



```

310 uint8_t n, input, Pos1_mariposal;
311 char TI[3], TAI[2], TAG[3], PM[2],TF[3], TB[3], S[1], KP
    [2], KI[2];
312 float RPM1, Pr_Ad1, T_aire1, TiFF1, TiFB1, T_agual, K_P1,
    K_I1;
313 static uint8_t selec=0;
314 uint32_t T_i1;
315 GetResource (RES1);
316 RPM1=RPM;
317 Pr_Ad1=Pr_Ad;
318 T_i1=T_i;
319 T_aire1=T_aire;
320 TiFF1=TiFF;
321 TiFB1=TiFB;
322 Pos1_mariposal=Pos1_mariposa;
323 T_agual=T_agua;
324 K_P1=K_P;
325 K_I1=K_I;
326 ReleaseResource (RES1);
327     x1 = (RPM1/1000);
328     num1 = x1+48;
329     x2=( (RPM1-x1*1000)/100);
330     num2=x2+48;
331     x3=( (RPM1-x1*1000-x2*100)/10);
332     num3=x3+48;
333     x4=(RPM1-x1*1000-x2*100-x3*10);
334     num4=x4+48;
335     x1 = (Pr_Ad1/1000);
336     num21 = x1+48;
337     x2=( (Pr_Ad1-x1*1000)/100);
338     num22=x2+48;
339     x3=( (Pr_Ad1-x1*1000-x2*100)/10);
340     num23=x3+48;
341     x4=(Pr_Ad1-x1*1000-x2*100-x3*10);
342     num24=x4+48;
343     x1 = (T_i1/1000);
344     TI[0] = x1+48;
345     x2=( (T_i1-x1*1000)/100);
346     TI[1]=x2+48;
347     x3=( (T_i1-x1*1000-x2*100)/10);
348     TI[2]=x3+48;
349

```

```

350     ciaaPOSIX_read(fd_in, &input, 1); // lectura de
        entradas digitales
351     input&=0x02; //Selecciona la entrada de sonda
        lambda
352     switch (input)
353     {
354     case 0x00:// Mezcla pobre
355         for (n=0; n<=5 ; n++)
356         {
357             mez[n]=POBRE[n];
358         }
359     break;
360     case 0x02: //mezcla Rica
361         for (n=0; n<=5 ; n++)
362         {
363             mez[n]=RICA[n];
364         }
365     break;
366     }
367     char dato[] = {'R','P','M',' ','num1,num2,num3,num4,
        ' ','P','_','A',' ',num21,num22,num23,num24,' ',
        'M','e','z',' ',mez[0],mez[1],mez[2],mez[3],mez
        [4],' ','\n'};
368     x1 = (TiFF1/1000);
369     TF[0] = x1+48;
370     x2=((TiFF1-x1*1000)/100);
371     TF[1]=x2+48;
372     x3=((TiFF1-x1*1000-x2*100)/10);
373     TF[2]=x3+48;
374     if (TiFB1<0){
375         S[0]=45;
376         TiFB1=TiFB1*-1;
377     }
378     else
379     {
380         S[0]=43;
381     }
382     x1 = (TiFB1/1000);
383     TB[0] = x1+48;
384     x2=((TiFB1-x1*1000)/100);
385     TB[1]=x2+48;
386     x3=(TiFB1-x1*1000-x2*100)/10;
387     TB[2]=x3+48;

```

```

388     x1 = (Pos1_mariposa1/10);
389     PM[0] = x1+48;
390     x2=((Pos1_mariposa1-x1*10));
391     PM[1]=x2+48;
392     x1 = (T_aire1/10);
393     TAI[0] = x1+48;
394     x2=((T_aire1-x1*10));
395     TAI[1]=x2+48;
396     char dato2[] ={' ','T','I',' ',TI[0],'.',TI[1],TI
        [2],', ','T','F',' ',TF[0],'.',TF[1],TF[2],', ','T
        ','B',' ',S[0],TB[0],'.',TB[1],TB[2],', ','\n'};
397     x1 = (T_agua1/100);
398     TAG[0] = x1+48;
399     x2=((T_agua1-x1*100)/10);
400     TAG[1]=x2+48;
401     x3=((T_agua1-x1*100-x2*10));
402     TAG[2]=x3+48;
403     x1 = (K_P1*10);
404     KP[0] = x1+48;
405     x2=(K_P1*100-x1*10);
406     KP[1]=x2+48;
407     x1 = (K_I1*10);
408     KI[0] = x1+48;
409     x2 = (K_I1*100- x1*10);
410     KI[1] = x2+48;
411     char dato3[] = {' ','P','M',' ',PM[0],PM[1],', ','T','A','I'
        ,', ','TAI[0],TAI[1],', ','T','A','G',', ','TAG[0],TAG[1],TAG
        [2],', ','K','P',', ','0','.',KP[0],KP[1],', ','K','I',', ','
        '0','.',KI[0],KI[1],', ','\n'};
412     ciaaPOSIX_write(fd_uart1, dato, ciaaPOSIX_strlen(dato));
413     ciaaPOSIX_write(fd_uart1, dato2, ciaaPOSIX_strlen(dato2));
414     ciaaPOSIX_write(fd_uart1, dato3, ciaaPOSIX_strlen(dato3));
415     SetRelAlarm(ActivateWriteTask, 700, 0);
416     TerminateTask();
417 }
418
419 /** \brief ..... Task*/
420 TASK(SensoresTask)
421 {
422     static uint16_t CH0adc,CH1adc,CH2adc,CH3adc;
423     static float aux1, Pr_ad_anterior;
424     static uint8_t mux=0;
425     float V_CH0, V_CH1, V_CH2;

```

```
426     switch (mux)
427     {
428         case 0://CHANNEL=0
429         ciaaPOSIX_read(fd_adc_0, &CH0adc, sizeof(
430             CH0adc));
431         V_CH0=CH0adc*10/(float)1024;
432         Pos1_mariposa=20.6*V_CH0;
433
434         ciaaPOSIX_ioctl(fd_adc_0,
435             ciaaPOSIX_IOCTL_SET_CHANNEL,
436             ciaaCHANNEL_1);
437         mux=1;
438         break;
439         case 1: //CHANNEL=1
440         ciaaPOSIX_read(fd_adc_0, &CH1adc, sizeof(
441             CH1adc));
442         V_CH1=CH1adc*10/(float)1024;
443         T_agua=(-40.75*V_CH1)+111;
444         ciaaPOSIX_ioctl( fd_adc_0,
445             ciaaPOSIX_IOCTL_SET_CHANNEL,
446             ciaaCHANNEL_2);
447         mux=2;
448         break;
449         case 2: // CHANNEL=2
450         ciaaPOSIX_read(fd_adc_0, &CH2adc, sizeof(
451             CH2adc));
452         V_CH2=CH2adc*10/(float)1024;
453         GetResource(RES1);
454
455         if (V_CH2<1.24)
456         {
457             T_aire=(-34*V_CH2)
458             +82;
459         }
460         else
461         {
462             T_aire=(-23*V_CH2)
463             +68;
464         }
465
466         ReleaseResource(RES1);
```

```

459         ciaaPOSIX_ioctl( fd_adc_0,
460             ciaaPOSIX_IOCTL_SET_CHANNEL,
461             ciaaCHANNEL_0);
462         mux=0;
463         break;
464         default :
465         mux=0;
466         ciaaPOSIX_ioctl( fd_adc_0,
467             ciaaPOSIX_IOCTL_SET_CHANNEL,
468             ciaaCHANNEL_0);
469         break;
470     }
471     /* Lectura de Presion de admision por canal
472        analogico CHANNEL 3*/
473     ciaaPOSIX_read(fd_adc_1 , &CH3adc, 2);
474     GetResource(RES1);
475     Pr_Ad=(19.06*Vref*CH3adc/NADC)+13.18;//Presion de
476         admision de colector en Kpa
477     if ((Pr_Ad<22) || (Pr_Ad>90))
478     {
479         Pr_Ad=45;
480     }
481     ReleaseResource(RES1);
482     /* terminate task */
483     TerminateTask();
484 }
485
486 TASK(FaseTask)
487 {
488     uint8_t fase1;
489     ciaaPOSIX_read(fd_in, &fase1, 1);
490     fase1&=0x04;
491     if (fase1==0x00)
492     {
493         Fase=0x00;
494         CancelAlarm(ActivateFaseTask);
495     }
496     /* terminate task */
497     TerminateTask();
498 }
499
500 TASK(ContadorTask)
501 {

```

```
496 static uint32_t Ciclos_ant=0;
497 static uint32_t Ciclos_nue=0;
498     if ((Ciclos_ant!=0)&&(Ciclos_nue!=0))
499         {
500             if((2.4*Ciclos_nue<Ciclos)&&(Pr_Ad<50)) {
501                 N_diente=1;
502                 Fase^= 0x01;
503             }
504             else{
505                 N_diente++;
506                 T_diente=Ciclos/F_clok; //Tiempo entre
                    diente y diente [ms] Variable externa
507                 T_vuelta=T_diente*60*0.001;// tiempo de una
                    vuelta [s]
508                 GetResource (RES1);
509                 RPM=60/T_vuelta; //Revoluciones del
                    motor (Variable global)
510                 ReleaseResource (RES1);
511                 Ciclos_ant=Ciclos_nue;
512                 Ciclos_nue=Ciclos;
513                 if (N_diente>58)
514                     {
515                         N_diente=1;
516                         Fase^= 0x01;
517                     }
518                 }
519             }
520     if((Ciclos_ant!=0)&&(Ciclos_nue==0))
521         {
522             if((Ciclos<1.5*Ciclos_ant)&&(Ciclos_ant
                    *0.5<Ciclos))
523                 {
524                     Ciclos_nue=Ciclos;
525                 }
526             else
527                 {
528                     Ciclos_ant=Ciclos;
529                 }
530         }
531
532     if((Ciclos_ant==0)&&(Ciclos<510000))
533         {
534             Ciclos_ant=Ciclos;
```

```

535         }
536     if(Ciclos>999000)
537     {
538         Ciclos_ant=0;
539         Ciclos_nue=0;
540         T_diente=0;
541     }
542     if ((T_diente!=0)&&(Fase<=1))
543     {
544         ActivateTask(AvanceInyeccTask);
545     }
546     /* terminate task */
547     TerminateTask();
548 }
549
550 TASK(AvanceInyeccTask)
551 {
552     TaskStateType TaskState0;
553     static float N_adelanto, N_adelanto_anterior, Diferencia;
554     static uint8_t Fase_1, Fase_2, Fase_3 , Fase_4, In_1_4,
555         In_2_3, In_1_4_anterior, In_2_3_anterior,
556         Fase_1_anterior, Fase_2_anterior, Fase_3_anterior,
557         Fase_4_anterior;
558     N_adelanto_anterior=N_adelanto;
559     N_adelanto=T_inyeccion/T_diente;
560     N_adelanto=(int)N_adelanto;
561     Diferencia=N_adelanto-N_adelanto_anterior;
562     In_1_4_anterior=In_1_4;
563     In_2_3_anterior=In_2_3;
564     Fase_1_anterior=Fase_1;
565     Fase_2_anterior=Fase_2;
566     Fase_3_anterior=Fase_3;
567     Fase_4_anterior=Fase_4;
568     if((In_1_4!=N_diente)&&(In_2_3!=N_diente))
569     {
570         if (N_adelanto<16)
571         {
572             In_1_4=16-N_adelanto;
573             In_2_3=46-N_adelanto;
574             Fase_1=0x00;
575             Fase_2=0x01;
576             Fase_3=0x00;
577             Fase_4=0x01;

```

```
575     }
576     else
577     {
578         if ((N_adelanto>=16) && (N_adelanto
579             <=17))
580             {
581                 In_1_4=58;
582                 Fase_1=0x01;
583                 In_2_3=46-N_adelanto;
584                 Fase_1=0x01;
585                 Fase_2=0x01;
586                 Fase_3=0x00;
587                 Fase_4=0x00;
588             }
589         else
590         {
591             if ((N_adelanto>=18) && (N_adelanto
592                 <46))
593                 {
594                     In_1_4=75-N_adelanto;
595                     In_2_3=46-N_adelanto;
596                     Fase_1=0x01;
597                     Fase_2=0x01;
598                     Fase_3=0x00;
599                     Fase_4=0x00;
600                 }
601             else
602             {
603                 if (N_adelanto>46)
604                     {
605                         In_1_4=75-
606                             N_adelanto;
607                         In_2_3=104-
608                             N_adelanto;
609                         Fase_1=0x01;
610                         Fase_2=0x00;
611                         Fase_3=0x01;
612                         Fase_4=0x00;
613                     }
614             }
615         }
616     }
```



```
614
615     if(Diferencia>2) {
616     if ((Fase_1_anterior==Fase_1) && (In_1_4<=N_diente) && (
        N_diente<=In_1_4_anterior)) {
617     In_1_4=N_diente;
618     }
619     else{
620         if ((Fase_1_anterior!=Fase_1) && ((In_1_4<=
            N_diente) || (N_diente<=In_1_4_anterior)))
        {
621         In_1_4=N_diente;
622         Fase_1=Fase;
623     }
624     }
625     if ((Fase_4_anterior==Fase_4) && (In_1_4<=N_diente) && (
        N_diente<=In_1_4_anterior)) {
626     In_1_4=N_diente;
627     }
628     else{
629         if ((Fase_4_anterior!=Fase_4) && ((In_1_4<=
            N_diente) || (N_diente<=In_1_4_anterior)))
        {
630         In_1_4=N_diente;
631         Fase_4=Fase;
632         }
633     }
634     if ((Fase_2_anterior==Fase_2) && (In_2_3<=N_diente) && (
        N_diente<=In_2_3_anterior)) {
635     In_2_3=N_diente;
636     }
637     else{
638         if ((Fase_2_anterior!=Fase_2) && ((In_2_3<=
            N_diente) || (N_diente<=In_2_3_anterior)))
        {
639         In_2_3=N_diente;
640         Fase_2=Fase;
641         }
642     }
643     if ((Fase_3_anterior==Fase_3) && (In_2_3<=N_diente) && (
        N_diente<=In_2_3_anterior)) {
644     In_2_3=N_diente;
645     }
646     }
```

```
647     else{
648         if((Fase_3_anterior!=Fase_3)&&((In_2_3<=
           N_diente)|| (N_diente<=In_2_3_anterior)))
           {
649             In_2_3=N_diente;
650             Fase_2=Fase;
651         }
652     }
653 }
654
655
656 if ((N_diente==In_1_4) && (Fase==Fase_1) && (T_i>1000))
657 {
658     GetTaskState(Inyeccion_1Task, &TaskState0);
659     if (SUSPENDED == TaskState0)
660     {
661         ActivateTask(Inyeccion_1Task);
662     }
663 }
664
665 if ((N_diente==In_2_3) && (Fase==Fase_2) && (T_i>1000))
666 {
667     GetTaskState(Inyeccion_2Task, &TaskState0);
668     if (SUSPENDED== TaskState0)
669     {
670         ActivateTask(Inyeccion_2Task);
671     }
672 }
673 if ((N_diente==In_2_3) && (Fase==Fase_3) && (T_i>1000))
674 {
675     GetTaskState(Inyeccion_3Task, &TaskState0);
676     if (SUSPENDED == TaskState0)
677     {
678         ActivateTask(Inyeccion_3Task);
679     }
680 }
681 if ((N_diente==In_1_4) && (Fase==Fase_4) && (T_i>1000))
682 {
683     GetTaskState(Inyeccion_4Task, &TaskState0);
684     if (SUSPENDED == TaskState0)
685     {
686         ActivateTask(Inyeccion_4Task);
687     }

```

```
688         }
689     /* terminate task */
690     TerminateTask();
691 }
692
693 TASK(Inyeccion_1Task)
694 {
695     uint16_t Inyector_1;
696     ciaaPOSIX_read(fd_out, &Inyector_1, 1);
697     Inyector_1|=0x10;
698     ciaaPOSIX_write(fd_out, &Inyector_1, 1);
699     T_Inyec1(T_i); // Activacion de timer en us (
700         T_inyeccion)
701     WaitEvent(corte);
702     ClearEvent(corte);
703     ciaaPOSIX_read(fd_out, &Inyector_1, 1);
704     Inyector_1&=0xEF;
705     ciaaPOSIX_write(fd_out, &Inyector_1, 1);
706     /* terminate task */
707     TerminateTask();
708 }
709
710
711 TASK(Inyeccion_2Task)
712 {
713     uint16_t Inyector_2;
714     ciaaPOSIX_read(fd_out, &Inyector_2, 1);
715     Inyector_2|=0x20;
716     ciaaPOSIX_write(fd_out, &Inyector_2, 1);
717     T_Inyec2(T_i); // Activacion de timer en us (T_i)
718     WaitEvent(corte);
719     ClearEvent(corte);
720     ciaaPOSIX_read(fd_out, &Inyector_2, 1);
721     Inyector_2&=0xDF;
722     ciaaPOSIX_write(fd_out, &Inyector_2, 1);
723     /* terminate task */
724     TerminateTask();
725 }
726
727 TASK(Inyeccion_3Task)
728 {
729     uint16_t Inyector_3;
```

```

730     ciaaPOSIX_read(fd_out, &Inyector_3, 1);
731     Inyector_3|=0x40;
732     ciaaPOSIX_write(fd_out, &Inyector_3, 1);
733     T_Inyec3(T_i); // Activacion de timer en us (T_i)
734     WaitEvent(corte);
735     ClearEvent(corte);
736     ciaaPOSIX_read(fd_out, &Inyector_3, 1);
737     Inyector_3&=0xBF;
738     ciaaPOSIX_write(fd_out, &Inyector_3, 1);
739     /* terminate task */
740     TerminateTask();
741 }
742 TASK(Inyeccion_4Task)
743 {
744     uint8_t Inyector_4;
745     ciaaPOSIX_read(fd_out, &Inyector_4, 1);
746     Inyector_4|=0x80;
747     ciaaPOSIX_write(fd_out, &Inyector_4, 1);
748     T_Inyec4(T_i); // Activacion de timer en us (T_i)
749     WaitEvent(corte);
750     ClearEvent(corte);
751     ciaaPOSIX_read(fd_out, &Inyector_4, 1);
752     Inyector_4&=0x7F;
753     ciaaPOSIX_write(fd_out, &Inyector_4, 1);
754     /* terminate task */
755     TerminateTask();
756 }
757
758
759 TASK(Controlador_FeedforwardTask)
760 {
761     float X, Y, Z_x0, Z_x1, Rend_vol, Ti_ff1, aux;
762     uint8_t fila1, fila2, columna1,columna2;
763     uint16_t X_0, X_1, Y_0, Y_1;
764     static uint8_t alarma=1;
765     float min, max, min2, max2;
766     GetResource(RES1);
767     Y=Pr_Ad;
768     X=RPM;
769     ReleaseResource(RES1);
770     // Exploracion de Tabla estatica de rendimiento
       volumetrico:
771     if (750>=X) {

```

```
772         fila1=1;
773         fila2=1;
774         X_0=0;
775         X_1=750;
776     }
777     else {
778     if ((750<X) && (X<1000)) {
779         fila1=1;
780         fila2=2;
781         X_0=750;
782         X_1=1000;
783     }
784     else{
785     if ((1000<=X) && (X<1125)) {
786         fila1=2;
787         fila2=3;
788         X_0=1000;
789         X_1=1125;
790     }
791     else{
792     if ((1125<=X) && (X<1250)) {
793         fila1=3;
794         fila2=4;
795         X_0=1125;
796         X_1=1250;
797     }
798     else{
799     if ((1250<=X) && (X<1500)) {
800         fila1=4;
801         fila2=5;
802         X_0=1250;
803         X_1=1500;
804     }
805     else{
806     if ((1500<=X) && (X<1750)) {
807         fila1=5;
808         fila2=6;
809         X_0=1500;
810         X_1=1750;
811     }
812     else{
813     if ((1750<=X) && (X<2000)) {
814         fila1=6;
```

```
815         fila2=7;
816         X_0=1750;
817         X_1=2000;
818     }
819     else{
820     if ((2000<=X) && (X<2250)) {
821         fila1=7;
822         fila2=8;
823         X_0=2000;
824         X_1=2250;
825     }
826     else{
827     if ((2250<=X) && (X<2500)) {
828         fila1=8;
829         fila2=9;
830         X_0=2250;
831         X_1=2500;
832     }
833     else{
834     if ((2500<=X) && (X<3000)) {
835         fila1=9;
836         fila2=10;
837         X_0=2500;
838         X_1=3000;
839     }
840     else{
841     if ((3000<=X) && (X<3500)) {
842         fila1=10;
843         fila2=11;
844         X_0=3000;
845         X_1=3500;
846     }
847
848     else{
849     if ((3500<=X) && (X<4000)) {
850         fila1=11;
851         fila2=12;
852         X_0=3500;
853         X_1=4000;
854     }
855     else{
856     if ((4000<=X) && (X<4500)) {
857         fila1=12;
```

```
858         fila2=13;
859         X_0=4000;
860         X_1=4500;
861     }
862     else{
863     if ((4500<=X) && (X<5000)) {
864         fila1=13;
865         fila2=14;
866         X_0=4500;
867         X_1=5000;
868     }
869     else{
870     if ((5000<=X) && (X<5500)) {
871         fila1=14;
872         fila2=15;
873         X_0=5000;
874         X_1=5500;
875     }
876     else{
877     if ((5500<=X) && (X<6000)) {
878         fila1=15;
879         fila2=16;
880         X_0=5500;
881         X_1=6000;
882     }
883     else{
884     if ((6000<=X) && (X<6500)) {
885         fila1=16;
886         fila2=17;
887         X_0=6000;
888         X_1=6500;
889     }
890     else{
891     if (6500<=X) {
892         fila1=17;
893         fila2=17;
894         X_0=6500;
895         X_1=7000;
896     }
897     }
898     }
899     }
900     if (Y<=10.3) {
```

```
901         columna1=1;
902         columna2=1;
903         Y_0=0;
904         Y_1=10.3;
905     }
906     else{
907     if ((10.3<Y) && (Y<=19.9)) {
908         columna1=1;
909         columna2=2;
910         Y_0=10.3;
911         Y_1=19.9;
912     }
913     else{
914     if ((19.9<Y) && (Y<=29.9)) {
915         columna1=2;
916         columna2=3;
917         Y_0=19.9;
918         Y_1=29.9;
919     }
920     else{
921     if ((29.9<Y) && (Y<=39.8)) {
922         columna1=3;
923         columna2=4;
924         Y_0=29.9;
925         Y_1=39.8;
926     }
927     else{
928     if ((39.8<Y) && (Y<=50.2)) {
929         columna1=4;
930         columna2=5;
931         Y_0=39.8;
932         Y_1=50.2;
933     }
934     else{
935     if ((50.2<Y) && (Y<=60.1)) {
936         columna1=5;
937         columna2=6;
938         Y_0=50.2;
939         Y_1=60.1;
940     }
941     else{
942     if ((60.1<Y) && (Y<=70.1)) {
943         columna1=6;
```



```

944         columna2=7;
945         Y_0=60.1;
946         Y_1=70.1;
947     }
948     else{
949     if ((70.1<Y) && (Y<=80)) {
950         columna1=7;
951         columna2=8;
952         Y_0=70.1;
953         Y_1=80;
954     }
955     else{
956     if ((80<Y) && (Y<=90)) {
957         columna1=8;
958         columna2=9;
959         Y_0=80;
960         Y_1=90;
961     }
962     }}}}
963 //Interpolacion trapezoidal de rendimiendo
          volumetrico.
964 Z_x0=(X-X_0)*(Rend[filas][columna1]-Rend[filas][
          columna1])/(X_0-X_1)+Rend[filas][columna1];
965 Z_x1=(X-X_0)*(Rend[filas][columna2]-Rend[filas][
          columna2])/(X_0-X_1)+Rend[filas][columna2];
966 Rend_vol=((Y-Y_0)*(Z_x1-Z_x0)/(Y_1-Y_0)+Z_x0)*0.01;
967
968 Ti_ff1=Vol*Rend_vol*Y*1000/(float)(G_i*AFR*R*
          T_aireK*4);/*Ti_ff[ms] (tiempo de inyeccion FF)
          Vol[L](cilindrada), X=P_adm [Kpa](presion de
          multiple), Rend_vol (rendimiento volumetrico),
          G_i [kg/s](ganancia de inyeccion), R constante de
          gases, T_aire emperatura del aire deadmision,
          AFR=14,6 (relacion A/C)*/
969 min=Ti_FF*0.9;
970 max=Ti_FF*1.1;
971 min2=T_inyeccion*0.9;
972 max2=T_inyeccion*1.1;
973 if ((Ti_ff1<min) || (Ti_ff1>max))
974     {
975         if(alarmFB==1)
976             {
977                 alarmFB=0;

```

```
978         CancelAlarm(  
979             ActivateControladorFeedbackTask)  
980             ;  
981         Ti_FB=0;  
982         e_anterior=0;  
983     }  
984  
985     Ti_FF=Ti_ff1;  
986     TiFF= Ti_FF*1000;  
987     if(Ti_FF<3.4)  
988     {  
989         Ti_FF=3.4;  
990     }  
991     if(Ti_FF>10)  
992     {  
993         Ti_FF=9.9;  
994     }  
995     T_inyeccion=Ti_FF;  
996     aux=T_inyeccion*1000;  
997     T_i=(int) aux;  
998     if(alarmFB==0)  
999     {  
1000         alarmFB=1;  
1001         SetRelAlarm(  
1002             ActivateControladorFeedbackTask,  
1003             1000, 20);  
1004     }  
1005     /* terminate task */  
1006     TerminateTask();  
1007 }  
1008  
1009 TASK(Controlador_FeedbackTask)  
1010 {  
1011     uint8_t sonda_lambda;  
1012     float aux2;  
1013     ciaaPOSIX_read(fd_in, &sonda_lambda, 1); // lectura  
1014     de entradas digitales  
1015     sonda_lambda&=0x02; //Selecciona la entrada de  
1016     sonda lambda
```

```
1015     switch (sonda_lambda)
1016     {
1017         case 0x00:// Mezcla pobre
1018         e_n=1;
1019
1020         if(e_n!=e_anterior){
1021             e_anterior=0;
1022
1023             }
1024         if(T_inyeccion<6){
1025         if (Ti_FB<1.2)
1026             {
1027                 Ti_FB= K_P*e_n + Ki*e_n +
1028                 Ti_FBanterior - K_P*e_anterior;
1029             }
1030         e_anterior=e_n;
1031         Ti_FBanterior=Ti_FB;
1032
1033     }
1034
1035
1036     break;
1037     case 0x02: //mezcla Rica
1038     e_n=-1;
1039     if(e_n!=e_anterior){
1040         e_anterior=0;
1041
1042     }
1043     if (T_inyeccion>2){
1044     if (Ti_FB>-1.2)
1045         {
1046             Ti_FB=K_P*e_n + Ki*e_n +
1047             Ti_FBanterior - K_P*e_anterior;
1048         }
1049     e_anterior=e_n;
1050     Ti_FBanterior=Ti_FB;
1051 }
1052     break;
1053     }
1054     GetResource(RES1);
1055     TiFB=Ti_FB*1000;
1056     T_inyeccion=Ti_FF+Ti_FB;
```

```
1056     if ((T_inyeccion<6)&&(T_inyeccion>2.7))
1057         {
1058             aux2=T_inyeccion*1000;
1059             T_i=(int) aux2;
1060         }
1061     else
1062     {
1063         if(T_inyeccion>9)
1064             {
1065                 T_i=9900;
1066                 T_inyeccion=9.9;
1067             }
1068         if(T_inyeccion<=2.3)
1069             {
1070                 T_i=2300;
1071                 T_inyeccion=2.3;
1072             }
1073     }
1074     ReleaseResource (RES1);
1075     /* terminate task */
1076     TerminateTask();
1077 }
1078
1079 TASK(Corte_InyeccionTask)
1080 {
1081     SetRelAlarm(ActivateCorteTask, 5, 0);
1082     if (RPM>RPM_corte)
1083     {
1084         CancelAlarm(ActivateControladorFeedbackTask
1085             );
1086         CancelAlarm(
1087             ActivateControladorFeedforwardTask);
1088         T_i=0;
1089         T_inyeccion=0;
1090         Estado_corte=1;
1091     }
1092     if (Estado_corte==1)
1093     {
1094         if (RPM<=RPM_on)
1095         {
1096             SetRelAlarm(
1097                 ActivateControladorFeedforwardTask
1098                 , 25, 20);
```

```
1095         CancelAlarm(ActivateCorteTask);
1096         Estado_corte=0;
1097     }
1098 }
1099 /* terminate task */
1100 TerminateTask();
1101 }
1102 /*===== [Declaraciones de funciones
1103 ]=====*/
1104 /* Tiempo de inyeccion 1 us */
1105 void T_Inyec1(uint32_t usec1)
1106 {
1107     Chip_TIMER_SetMatch(LPC_TIMER0, 0, usec1);
1108     Chip_TIMER_Reset(LPC_TIMER0);
1109     Chip_TIMER_Enable(LPC_TIMER0);
1110 }
1111 /* Tiempo de inyeccion 2 us */
1112 void T_Inyec2(uint32_t usec2)
1113 {
1114     Chip_TIMER_SetMatch(LPC_TIMER1, 0, usec2);
1115     Chip_TIMER_Reset(LPC_TIMER1);
1116     Chip_TIMER_Enable(LPC_TIMER1);
1117 }
1118 /* Tiempo de inyeccion 3 us */
1119 void T_Inyec3(uint32_t usec3)
1120 {
1121     Chip_TIMER_SetMatch(LPC_TIMER2, 0, usec3);
1122     Chip_TIMER_Reset(LPC_TIMER2);
1123     Chip_TIMER_Enable(LPC_TIMER2);
1124 }
1125 /* Tiempo de inyeccion 4 us */
1126 void T_Inyec4(uint32_t usec4)
1127 {
1128     Chip_TIMER_SetMatch(LPC_TIMER3, 0, usec4);
1129     Chip_TIMER_Reset(LPC_TIMER3);
1130     Chip_TIMER_Enable(LPC_TIMER3);
1131 }
1132 /* Inicializa al Timer 0 utilizado para realizar el Tiempo
1133 de inyeccion us N1 */
1134 void T_Inyec1_Tim0Init(void)
1135 {
1136     Chip_TIMER_Init(LPC_TIMER0);
```

```
1135 Chip_TIMER_PrescaleSet(LPC_TIMER0, Chip_Clock_GetRate(  
    CLK_MX_TIMER0)/1000000 - 1);  
1136 Chip_TIMER_MatchEnableInt(LPC_TIMER0, 0);  
1137 Chip_TIMER_ResetOnMatchEnable(LPC_TIMER0, 0);  
1138 Chip_TIMER_StopOnMatchDisable(LPC_TIMER0, 0);  
1139 Chip_TIMER_SetMatch(LPC_TIMER0, 0, 1000);  
1140 Chip_TIMER_Reset(LPC_TIMER0);  
1141 Chip_TIMER_Enable(LPC_TIMER0);  
1142 NVIC_EnableIRQ(TIMER0_IRQn);  
1143 }  
1144 /* Desactiva al Timer 0 */  
1145 void T_Inyec1_Tim0DeInit(void)  
1146 {  
1147 Chip_TIMER_Disable(LPC_TIMER0);  
1148 NVIC_DisableIRQ(TIMER0_IRQn);  
1149 }  
1150 /* Inicializa al Timer 1 utilizado para realizar el Tiempo  
    de inyeccion us N2 */  
1151 void T_Inyec2_Tim1Init(void)  
1152 {  
1153 Chip_TIMER_Init(LPC_TIMER1);  
1154 Chip_TIMER_PrescaleSet(LPC_TIMER1,  
1155 Chip_Clock_GetRate(CLK_MX_TIMER1)/1000000 - 1);  
1156 Chip_TIMER_MatchEnableInt(LPC_TIMER1, 0);  
1157 Chip_TIMER_ResetOnMatchEnable(LPC_TIMER1, 0);  
1158 Chip_TIMER_StopOnMatchDisable(LPC_TIMER1, 0);  
1159 Chip_TIMER_SetMatch(LPC_TIMER1, 0, 1000);  
1160 Chip_TIMER_Reset(LPC_TIMER1);  
1161 Chip_TIMER_Enable(LPC_TIMER1);  
1162 NVIC_EnableIRQ(TIMER1_IRQn);  
1163 }  
1164 /* Desactiva al Timer 1 */  
1165 void T_Inyec2_Tim1DeInit(void)  
1166 {  
1167 Chip_TIMER_Disable(LPC_TIMER1);  
1168 NVIC_DisableIRQ(TIMER1_IRQn);  
1169 }  
1170 /* Inicializa al Timer 2 utilizado para realizar el Tiempo  
    de inyeccion us N3 */  
1171 void T_Inyec3_Tim2Init(void)  
1172 {  
1173 Chip_TIMER_Init(LPC_TIMER2);  
1174 Chip_TIMER_PrescaleSet(LPC_TIMER2,
```

```

1175 Chip_Clock_GetRate(CLK_MX_TIMER2)/1000000 - 1);
1176 Chip_TIMER_MatchEnableInt(LPC_TIMER2, 0);
1177 Chip_TIMER_ResetOnMatchEnable(LPC_TIMER2, 0);
1178 Chip_TIMER_StopOnMatchDisable(LPC_TIMER2, 0);
1179 Chip_TIMER_SetMatch(LPC_TIMER2, 0, 1000);
1180 Chip_TIMER_Reset(LPC_TIMER2);
1181 Chip_TIMER_Enable(LPC_TIMER2);
1182 NVIC_EnableIRQ(TIMER2_IRQn);
1183 }
1184
1185 /* Desactiva al Timer 2 */
1186 void T_Inyec3_Tim2DeInit(void)
1187 {
1188 Chip_TIMER_Disable(LPC_TIMER2);
1189 NVIC_DisableIRQ(TIMER2_IRQn);
1190 }
1191 /* Inicializa al Timer 3 utilizado para realizar el Tiempo
de inyeccion us N4 */
1192 void T_Inyec4_Tim3Init(void)
1193 {
1194 Chip_TIMER_Init(LPC_TIMER3);
1195 Chip_TIMER_PrescaleSet(LPC_TIMER3,
1196 Chip_Clock_GetRate(CLK_MX_TIMER3)/1000000 - 1);
1197 Chip_TIMER_MatchEnableInt(LPC_TIMER3, 0);
1198 Chip_TIMER_ResetOnMatchEnable(LPC_TIMER3, 0);
1199 Chip_TIMER_StopOnMatchDisable(LPC_TIMER3, 0);
1200 Chip_TIMER_SetMatch(LPC_TIMER3, 0, 1000);
1201 Chip_TIMER_Reset(LPC_TIMER3);
1202 Chip_TIMER_Enable(LPC_TIMER3);
1203 NVIC_EnableIRQ(TIMER3_IRQn);
1204 }
1205 /* Desactiva al Timer 3 */
1206 void T_Inyec4_Tim3DeInit(void)
1207 {
1208 Chip_TIMER_Disable(LPC_TIMER3);
1209 NVIC_DisableIRQ(TIMER3_IRQn);
1210 }
1211 /* Rutina de interrupcion por Timer 0*/
1212 ISR(TIMER0_IRQHandler)
1213 {
1214 if (Chip_TIMER_MatchPending(LPC_TIMER0, 0)) {
1215 Chip_TIMER_ClearMatch(LPC_TIMER0, 0);
1216 GetTaskState(Inyeccion_1Task, &TaskState1);

```

```
1217 if (WAITING == TaskStatel)
1218 {
1219 SetEvent(Inyeccion_1Task, corte);
1220 }
1221 }
1222 }
1223 /* Rutina de interrupcion por Timer 1*/
1224 ISR(TIMER1_IRQHandler)
1225 {
1226 if (Chip_TIMER_MatchPending(LPC_TIMER1, 0))
1227 {
1228 Chip_TIMER_ClearMatch(LPC_TIMER1, 0);
1229 GetTaskState(Inyeccion_2Task, &TaskStatel);
1230 if (WAITING == TaskStatel)
1231 {
1232 SetEvent(Inyeccion_2Task, corte);
1233 }
1234 }
1235 }
1236 /* Rutina de interrupcion por Timer 2*/
1237 ISR(TIMER2_IRQHandler)
1238 {
1239 if (Chip_TIMER_MatchPending(LPC_TIMER2, 0))
1240 {
1241 Chip_TIMER_ClearMatch(LPC_TIMER2, 0);
1242 GetTaskState(Inyeccion_3Task, &TaskStatel);
1243 if (WAITING == TaskStatel)
1244 {
1245 SetEvent(Inyeccion_3Task, corte);
1246 }
1247 }
1248 }
1249 /* Rutina de interrupcion por Timer 3*/
1250 ISR(TIMER3_IRQHandler)
1251 {
1252 if (Chip_TIMER_MatchPending(LPC_TIMER3, 0))
1253 {
1254 Chip_TIMER_ClearMatch(LPC_TIMER3, 0);
1255 GetTaskState(Inyeccion_4Task, &TaskStatel);
1256 if (WAITING == TaskStatel)
1257 {
1258 SetEvent(Inyeccion_4Task, corte);
1259 }
```



```

1260 }
1261 }
1262
1263 /** @} doxygen end group definition */
1264 /** @} doxygen end group definition */
1265 /** @} doxygen end group definition */
1266 /*=====
   ]=====*/

```

A.1.1. Código OIL OSEK Implementation Language

```

1
2 OSEK OSEK {
3
4     OS ExampleOS {
5         STATUS = EXTENDED;
6         ERRORHOOK = TRUE;
7         PRETASKHOOK = FALSE;
8         POSTTASKHOOK = FALSE;
9         STARTUPHOOK = FALSE;
10        SHUTDOWNHOOK = FALSE;
11        USERESSCHEDULER = FALSE;
12        MEMMAP = FALSE;
13    };
14
15
16
17    TASK InitTask {
18        PRIORITY = 2;
19        ACTIVATION = 1;
20        AUTOSTART = TRUE {
21            APPMODE = AppModel;
22        }
23        STACK = 512;
24        TYPE = EXTENDED;
25        SCHEDULE = NON;
26        RESOURCE = POSIXR;
27        EVENT = POSIXE;
28    }
29    TASK SerialEchoTask {
30        PRIORITY = 1;

```

```
31     ACTIVATION = 1;
32     STACK = 1024;
33     TYPE = EXTENDED;
34     SCHEDULE = FULL;
35     EVENT = POSIXE;
36     RESOURCE = POSIXR;
37     RESOURCE = RES1;
38 }
39 TASK WriteTask {
40     PRIORITY = 2;
41     ACTIVATION = 1;
42     STACK = 1024;
43     TYPE = EXTENDED;
44     SCHEDULE = NON;
45     EVENT = POSIXE;
46     EVENT = READY;
47     RESOURCE = POSIXR;
48     RESOURCE = RES1;
49 }
50     TASK SensoresTask {
51         PRIORITY = 7;
52         ACTIVATION = 1;
53         STACK = 1024;
54         TYPE = EXTENDED;
55         SCHEDULE = NON;
56         RESOURCE = POSIXR;
57         RESOURCE = SALIDA;
58         EVENT = POSIXE;
59         RESOURCE = POSIXR;
60         RESOURCE = RES1;
61
62
63     }
64     TASK FaseTask {
65         PRIORITY = 3;
66         ACTIVATION = 1;
67         STACK = 256;
68         TYPE = BASIC;
69         SCHEDULE = NON;
70         RESOURCE = POSIXR;
71         EVENT = POSIXE;
72         RESOURCE = RES1;
73     }
```

```
74
75     TASK ContadorTask {
76         PRIORITY =10;
77         ACTIVATION = 2;
78         STACK = 512;
79         TYPE = BASIC ;
80         SCHEDULE = NON;
81         RESOURCE = POSIXR;
82         EVENT = POSIXE;
83         RESOURCE =RES1;
84
85     }
86     TASK AvanceInyeccTask {
87         PRIORITY = 10;
88         ACTIVATION = 2;
89         STACK = 512;
90         TYPE = BASIC;
91         SCHEDULE = NON;
92         RESOURCE = POSIXR;
93         RESOURCE =RES1;
94     }
95     TASK Inyeccion_1Task {
96         PRIORITY = 9;
97         ACTIVATION = 1;
98         STACK = 1024;
99         TYPE = EXTENDED;
100        SCHEDULE = NON;
101        RESOURCE = POSIXR;
102        EVENT = POSIXE;
103        RESOURCE = SALIDA;
104        EVENT = corte;
105        RESOURCE =RES1;
106    }
107
108    TASK Inyeccion_2Task {
109        PRIORITY = 9;
110        ACTIVATION = 1;
111        STACK = 1024;
112        TYPE = EXTENDED;
113        SCHEDULE = NON;
114        RESOURCE = POSIXR;
115        EVENT = POSIXE;
116        RESOURCE = SALIDA;
```

```
117     EVENT = corte;
118     RESOURCE =RES1;
119 }
120 TASK Inyeccion_3Task {
121     PRIORITY =9;
122     ACTIVATION = 1;
123     STACK = 512;
124     TYPE = EXTENDED;
125     SCHEDULE = NON;
126     RESOURCE = POSIXR;
127     RESOURCE = SALIDA;
128     EVENT = corte;
129     EVENT = POSIXE;
130     RESOURCE =RES1;
131 }
132 TASK Inyeccion_4Task {
133     PRIORITY = 9;
134     ACTIVATION = 1;
135     STACK = 512;
136     TYPE = EXTENDED;
137     SCHEDULE = NON;
138     RESOURCE = POSIXR;
139     RESOURCE = SALIDA;
140     EVENT = corte;
141     EVENT = POSIXE;
142     RESOURCE =RES1;
143 }
144 TASK Controlador_FeedforwardTask {
145     PRIORITY = 5;
146     ACTIVATION = 10;
147     STACK = 512;
148     TYPE = BASIC;
149     SCHEDULE = NON;
150     RESOURCE = POSIXR;
151     EVENT = POSIXE;
152     RESOURCE =RES1;
153 }
154
155 TASK Controlador_FeedbackTask {
156     PRIORITY = 5;
157     ACTIVATION = 10;
158     STACK = 512;
159     TYPE = BASIC;
```

```
160     SCHEDULE = NON;
161     RESOURCE = POSIXR;
162     EVENT = POSIXE;
163     RESOURCE =RES1;
164 }
165
166 TASK Corte_InyeccionTask {
167     PRIORITY = 11;
168     ACTIVATION = 1;
169     STACK = 512;
170     TYPE = BASIC;
171     SCHEDULE = NON;
172     RESOURCE =RES1;
173 }
174
175 ALARM ActivateSensoresTask {
176     COUNTER = HardwareCounter;
177     ACTION = ACTIVATETASK {
178         TASK = SensoresTask;
179     }
180     AUTOSTART = TRUE {
181         APPMODE = AppModel;
182         ALARMTIME = 31;
183         CYCLETIME = 30;
184 }
185 };
186
187 ALARM ActivateFaseTask {
188     COUNTER = HardwareCounter;
189     ACTION = ACTIVATETASK {
190         TASK = FaseTask;
191     }
192 }
193 ALARM ActivateControladorFeedforwardTask{
194     COUNTER = HardwareCounter;
195     ACTION = ACTIVATETASK {
196         TASK = Controlador_FeedforwardTask ;
197     }
198 }
199 ALARM ActivateControladorFeedbackTask {
200     COUNTER = HardwareCounter;
201     ACTION = ACTIVATETASK {
202         TASK = Controlador_FeedbackTask ;
```

```
203     }
204 }
205 ALARM ActivateCorteTask{
206     COUNTER = HardwareCounter;
207     ACTION = ACTIVATETASK {
208         TASK = Corte_InyeccionTask ;
209     }
210 }
211 ALARM ActivateWriteTask {
212     COUNTER = HardwareCounter;
213     ACTION = ACTIVATETASK {
214         TASK = WriteTask;
215     }
216 }
217 RESOURCE = POSIXR;
218 RESOURCE = SALIDA;
219 RESOURCE = RES1;
220 EVENT = POSIXE;
221 EVENT = corte;
222 APPMODE = AppModel;
223
224
225
226     COUNTER HardwareCounter {
227         MAXALLOWEDVALUE = 1000;
228         TICKSPERBASE = 1;
229         MINCYCLE = 1;
230         TYPE = HARDWARE;
231         COUNTER = HWCOUNTER0;
232     };
233 ALARM IncrementsSWCounter {
234     COUNTER = HardwareCounter;
235     ACTION = INCREMENT {
236         COUNTER = SoftwareCounter;
237     };
238     AUTOSTART = TRUE {
239         APPMODE = AppModel;
240         ALARMTIME = 1;
241         CYCLETIME = 1;
242     };
243 };
244
245 COUNTER SoftwareCounter {
```

```
246     MAXALLOWEDVALUE = 1000;
247     TICKSPERBASE = 1;
248     MINCYCLE = 1;
249     TYPE = SOFTWARE;
250 };
251
252 ISR GPIOINTHandler0 {
253     INTERRUPT = GPIO0;
254     CATEGORY = 2;
255     PRIORITY = 0;
256 } ;
257
258 ISR ADC0_IRQHandler {
259     INTERRUPT = ADC0;
260     CATEGORY = 2;
261     PRIORITY = 0;
262 };
263
264 ISR ADC1_IRQHandler {
265     INTERRUPT = ADC1;
266     CATEGORY = 2;
267     PRIORITY = 0;
268 };
269
270 ISR TIMER0_IRQHandler {
271     INTERRUPT = TIMER0;
272     CATEGORY = 2;
273     PRIORITY = 0;
274 };
275
276 ISR TIMER1_IRQHandler {
277     INTERRUPT = TIMER1;
278     CATEGORY = 2;
279     PRIORITY = 0;
280 };
281
282 ISR TIMER2_IRQHandler {
283     INTERRUPT = TIMER2;
284     CATEGORY = 2;
285     PRIORITY = 0;
286 };
287
288 ISR TIMER3_IRQHandler {
289     INTERRUPT = TIMER3;
```

```
289         CATEGORY = 2;
290         PRIORITY = 0;
291     };
292 ISR UART0_IRQHandler {
293     INTERRUPT = UART0;
294     CATEGORY = 2;
295     PRIORITY = 0;
296 };
297
298
299 ISR UART2_IRQHandler {
300     INTERRUPT = UART2;
301     CATEGORY = 2;
302     PRIORITY = 0;
303 };
304
305 ISR UART3_IRQHandler {
306     INTERRUPT = UART3;
307     CATEGORY = 2;
308     PRIORITY = 0;
309 };
310
311
312 };
```


Bibliografía

- [01, 2016] 01, W. (2016). Ciclo otto — wikipedia, la enciclopedia libre. [Internet; descargado 19-diciembre-2016].
- [Aquino, 1981] Aquino, C. F. (1981). Transient a/f control characteristics of the 5 liter central fuel injection engine. Technical report, SAE Technical Paper.
- [Cercós, 2001] Cercós, J. N. (2001). *Diseño de un controlador avanzado basado en redes neuronales para la gestión de la mezcla aire-gasolina en un motor alternativo*. PhD thesis, Universitat Politècnica de Catalunya.
- [Cerdeiro, 2015] Cerdeiro, M. (2015). Introducción a osek-os - el sistema operativo del ciaa-firmware. programación de sistemas embebidos. Technical report.
- [Falk and Mooney, 1980] Falk, C. and Mooney, J. (1980). Three-way conversion catalysts: Effect of closed-loop feed-back control and other parameters on catalyst efficiency. Technical report, SAE Technical Paper.
- [Katashiba et al., 1991] Katashiba, H., Nishida, M., Washino, S., Takahashi, A., Hashimoto, T., and Miyake, M. (1991). Fuel injection control systems that improve three way catalyst conversion efficiency. Technical report, SAE Technical Paper.
- [Medina et al., 2016] Medina, S., Pi Puig, M., Dell’Oso, M., Romero, F., De Giusti, A. E., and Tinetti, F. G. (2016). Comparación de sistemas operativos embebidos sobre la computadora industrial abierta argentina. In *XXII Congreso Argentino de Ciencias de la Computación (CACIC 2016)*.
- [ProyectoCIAA, 2016] ProyectoCIAA (2016). La ciaa una plataforma diferente pensada para la industria. [Internet; descargado 19-diciembre-2016].
- [Taylor, 1966] Taylor, C. F. (1966). The internal combustion engine in theory and practice. volumes i and ii. *revised edition*.
- [Wikipedia, 2016] Wikipedia (2016). Encendido del motor — wikipedia, la enciclopedia libre. [Internet; descargado 4-enero-2017].